

*Προθυμοσίνη α:
ένα πολυπεπτίδιο με διττό ρόλο
εναργή ανοσοδραστικότητα*

*Pávia Tsigiláwnη, MD, PhD
Τομέας Φυσιολογίας Ζώων & Ανθρώπου
Τμήμα Βιολογίας
Πανεπιστήμιο Αθηνών*

Προθυμοσίνη α:

ένα πολυπεπτίδιο με διττό ρόλο
&

εναργή ανοσοδραστικότητα

Προθυμοσίνη α:

ένα πολυπεπτίδιο με διττό ρόλο

&

εναργή ανοσοδραστικότητα

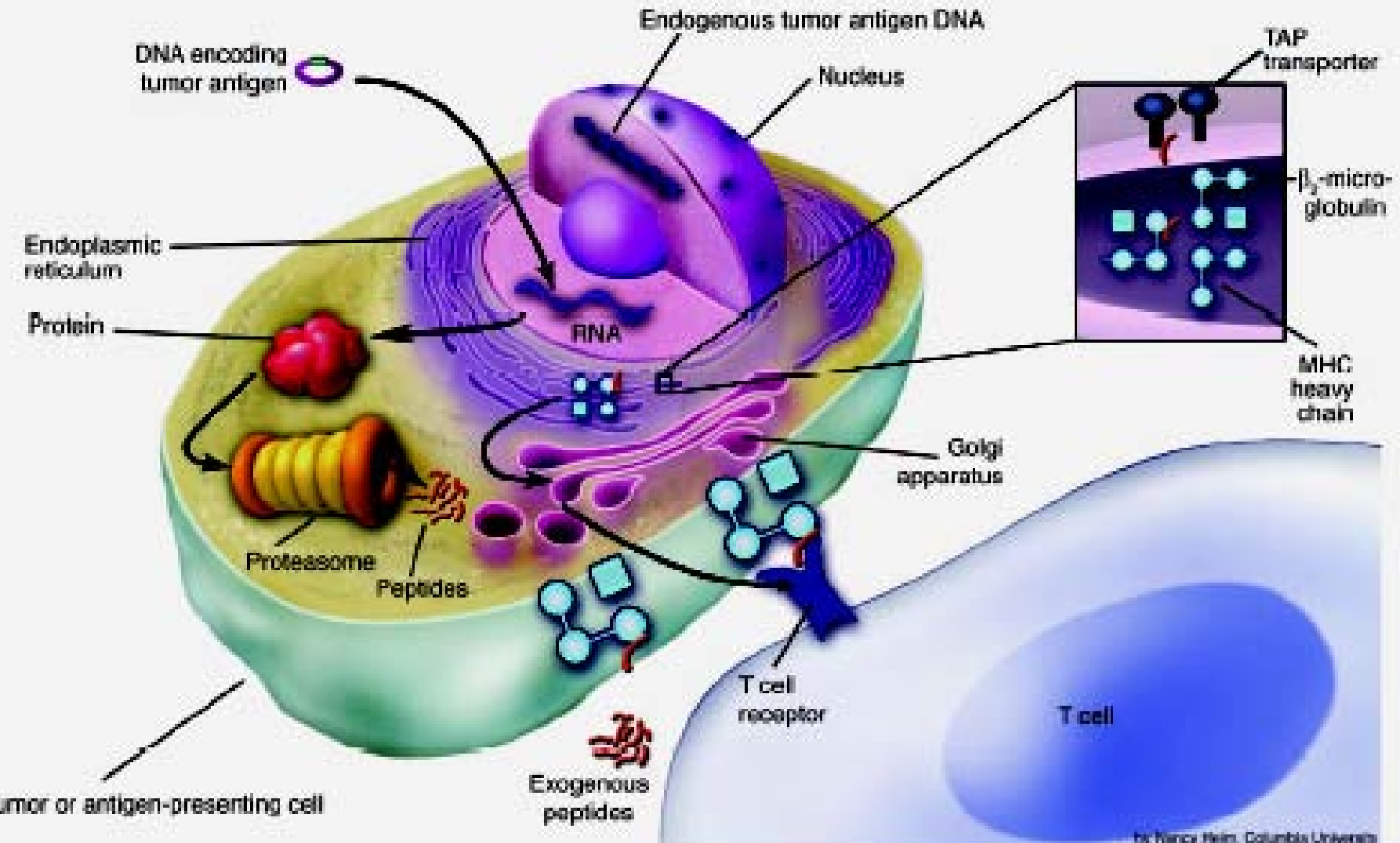
*Προθυμοσίνη α:
ένα πολυπεπτίδιο με διττό ρόλο
&
εναργή ανοσοδραστικότητα*

Cancer Immunotherapy

3 basic concepts

1. Active immunotherapy (vaccination)
2. Adoptive or passive immunotherapy (repeated infusions of ex vivo activated cells and/or cytokines
or BRMs)
3. Gene therapy (arm the cell with impaired molecules or functions)

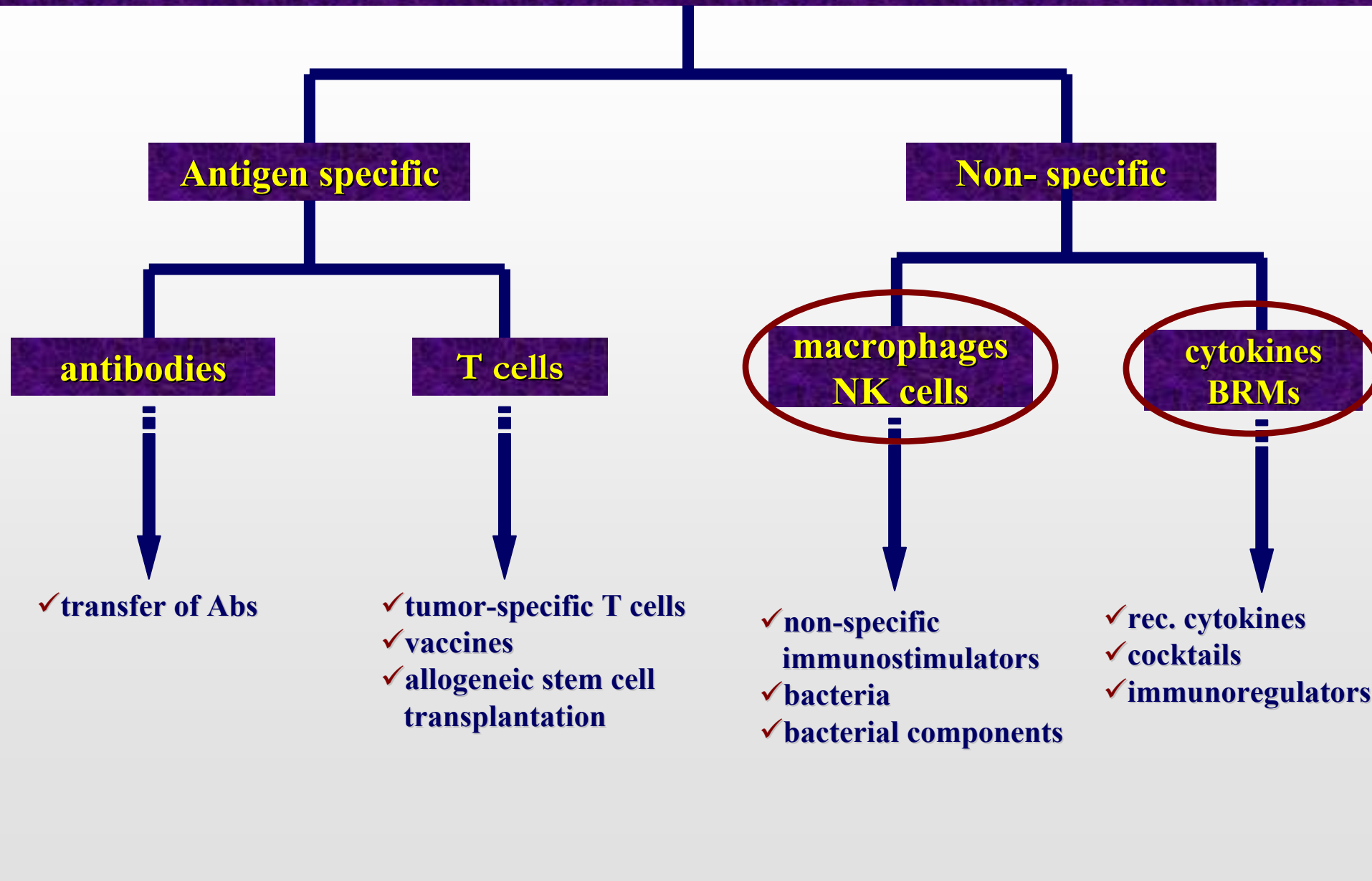
T cells can see inside a cancer cell



by Nancy Heim, Columbia University

Berzofsky et al., 2004

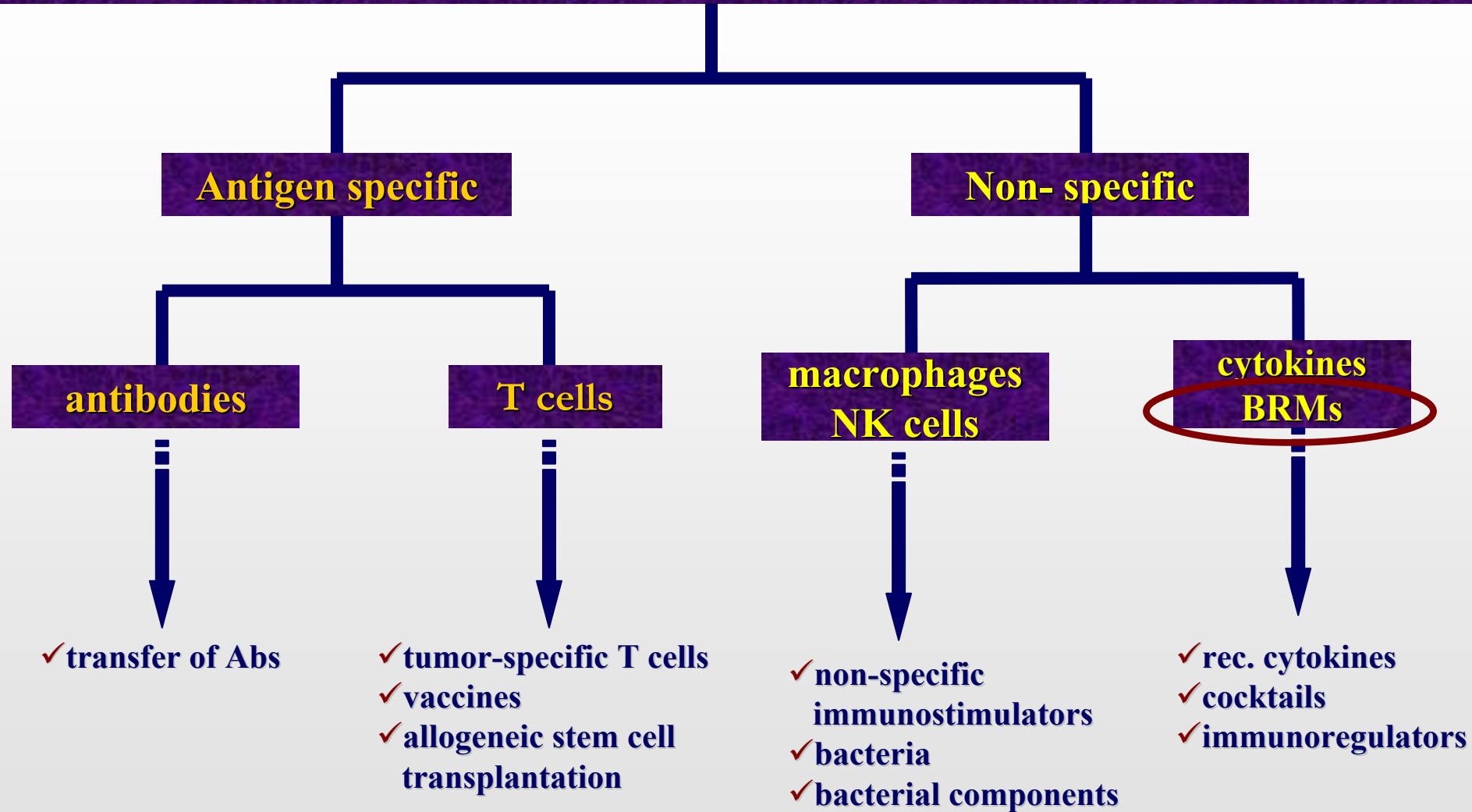
Mediators of Immune Defense



Immunostimulating agents / BRMs

- *Interferon- α* : melanoma, renal carcinoma, hairy cell leukemia, CML
- *Interleukin-2*: melanoma, renal cell carcinoma, ALL, CLL, non-Hodkin's lymphoma
- *GM-CSF*: melanoma
- *TNF- α , IL-3, IL-4, IL-6, IL-12, IFN- β , IFN- γ*
- *BCG, alum, CpG oligos*
- *Thymic peptides*: thymic FV, thymosin $\alpha 1$, prothymosin α

Mediators of Immune Defense



The α -thymosin story (I)

1966 : *Thymosin* (Goldstein et al.)

calf thymus; thermostable protein; 10 kDa
induces lymphocyte proliferation

1975 : *Thymosin Fraction V* (Hooper et al.)

calf thymus; 40 members; 1-15 kDa;
 α -thymosins (pI <5)
 β -thymosins (pI 5-7)
 γ -thymosins (pI >7)

1977 : *Thymosin α 1* (Goldstein et al.)

calf thymus; 3.1 kDa; pI 3.85; 28 amino acids
10-1000 times more active than TF V

1982 : *Thymosin α 11 & des-(25-28) thymosin α 1* (Caldarella et al.,

calf thymus TF V; 35 & 24 amino acids
equally active to thymosin α 1

The α -thymosin story (II)

1

11

21

des-(25-28) thymosin α 1 Ac-SDAAVDTsse ITTKDLKEKK EVVE

Thymosin α 1 Ac-SDAAVDTsse ITTKDLKEKK EVVEEAEN

Thymosin α 11 Ac-SDAAVDTsse ITTKDLKEKK EVVEEAENGR DAPAN

Table 3. Effect of thymosin fraction 5 and thymic peptides on the growth of *C. albicans* in C3H/HeJ mice

| Thymosin fraction 5 | | Thymosin α 1 | | Thymosin α 11 | |
|---------------------|--------------------------------|---------------------|--------------------------------|----------------------|--------------------------------|
| Dose, ng per mouse | <i>C. albicans</i> cell count* | Dose, ng per mouse | <i>C. albicans</i> cell count* | Dose, ng per mouse | <i>C. albicans</i> cell count* |
| None | 5,100 | 80 | 5,870 | 80 | 4,200 |
| 2,560 | 8,500 | 160 | 190 | 160 | 610 |
| 5,120 | 440 | 320 | 780 | 320 | 290 |
| 10,240 | 220 | 640 | 1,410 | 640 | 1,260 |
| 20,480 | 1,600 | | | | |

The α -thymosin story (III)

1966 : *Thymosin (Goldstein et al.)*

calf thymus; thermostable protein; 10 kDa
induces lymphocyte proliferation

1975 : *Thymosin Fraction V (Hooper et al.)*

calf thymus; 40 members; 1-15 kDa;
 α -thymosins ($pI < 5$)
 β -thymosins ($pI 5-7$)
 γ -thymosins ($pI > 7$)

1977 : *Thymosin α 1 (Goldstein et al.)*

calf thymus; 3.1 kDa; $pI 3.85$; 28 amino acids
10-1000 times more active than TF V

1982 : *Thymosin α 11 & des-(25-28) thymosin α 1 (Caldarella et al.,*

calf thymus TF V; 35 & 24 amino acids
equally active to thymosin α 1

1984 : *Prothymosin α (Haritos et al.)*

rat thymus; 111 amino acids
more active than thymosin α 1

Who isolated proTα

Haritos et al., 1984

Proc. Natl. Acad. Sci. USA
Vol. 81, pp. 1008–1011, February 1984
Biochemistry

Prothymosin α : Isolation and properties of the major immunoreactive form of thymosin α_1 in rat thymus

(radioimmunoassay/thymic polypeptide/protection against opportunistic infections)

A. A. HARITOS*, GREGORY J. GOODALL[†], AND B. L. HORECKER

Roche Institute of Molecular Biology, Roche Research Center, Nutley, NJ 07110

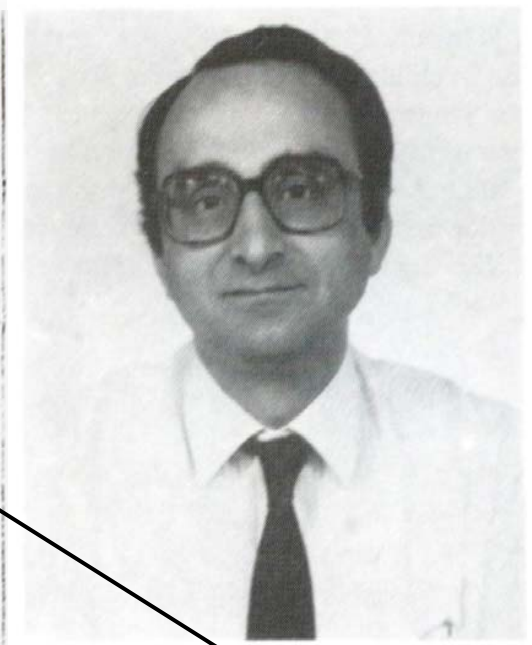
Contributed by B. L. Horecker, October 27, 1983

ABSTRACT A polypeptide containing ≈112 amino acid residues, with the thymosin α_1 sequence at its NH₂ terminus, has been isolated from rat thymus by using a radioimmunoassay with an antibody prepared against synthetic thymosin α_1 . The new polypeptide, named “prothymosin α ,” was found to be the major substance crossreacting with thymosin α_1 anti-serum in rat thymus extracts; peptides corresponding to thy-

terminus. We named this polypeptide prothymosin α because it appears to be the source of the thymosin α_1 -related peptide fragments found in preparations of thymosin fraction 5.

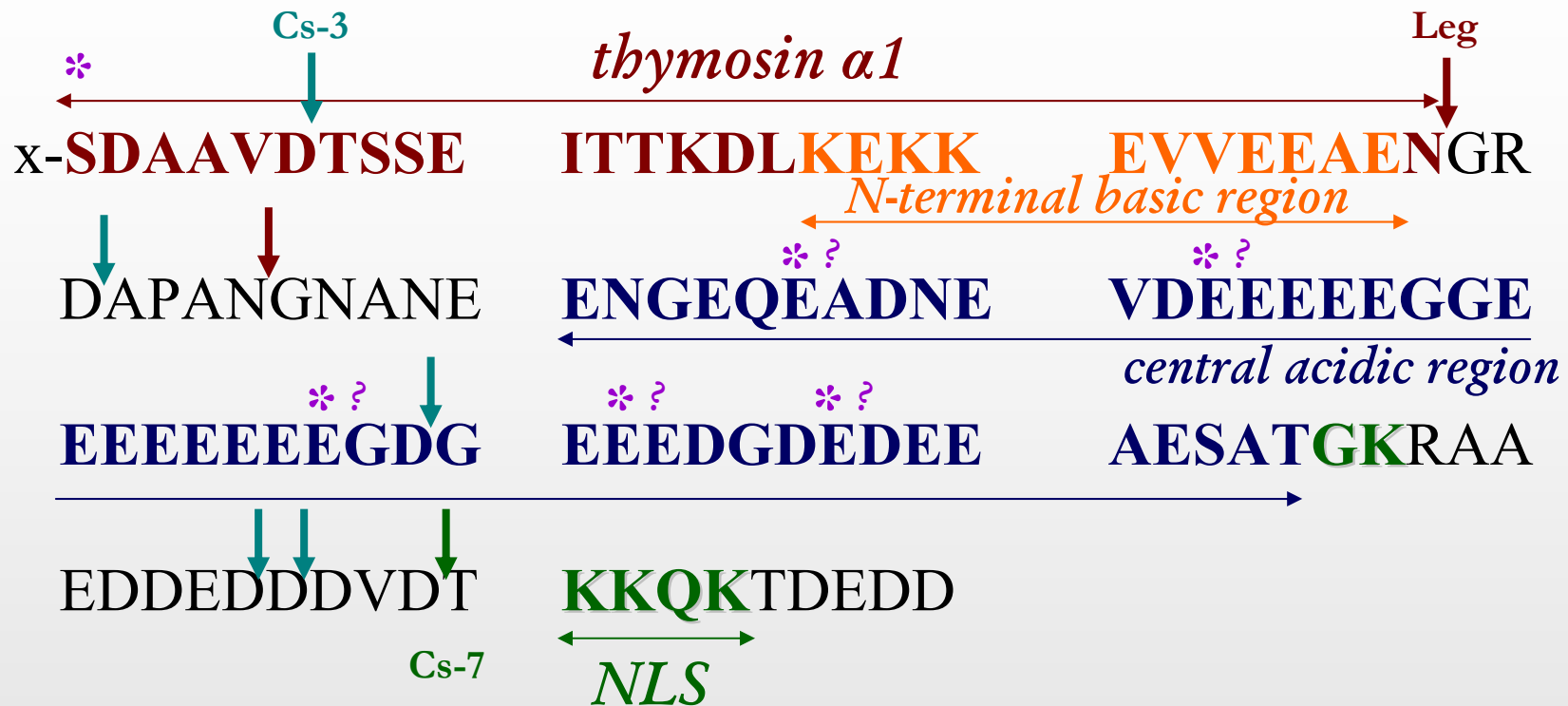
MATERIALS AND METHODS

Rat thymuses from male Charles River CD rats, 5 weeks old



We named this polypeptide *prothymosin α* because it appears to be the source of the thymosin α_1 -related peptide fragments found in preparations of thymosin fraction 5.

Structural properties of proT α



- 109 aa; 39 Glu + 18 Asp
- most acidic polypeptide
- no aromatic; no sulfur
- no absorption at 280 nm

- no signal peptide for secretion
- no secondary structure
- oligo or monomeric nature
- phosphorylated in vivo (aa 48-87)*

What does prothymosin α do?

INTRACELLULAR ROLE
INTRACELLULAR ROLE

Role of ProT α ?

EXTRACELLULAR ROLE
EXTRACELLULAR ROLE
(IMMUNOLOGICAL)

Intracellular role of prothymosin α

➤ *essential for cell survival and cell proliferation*

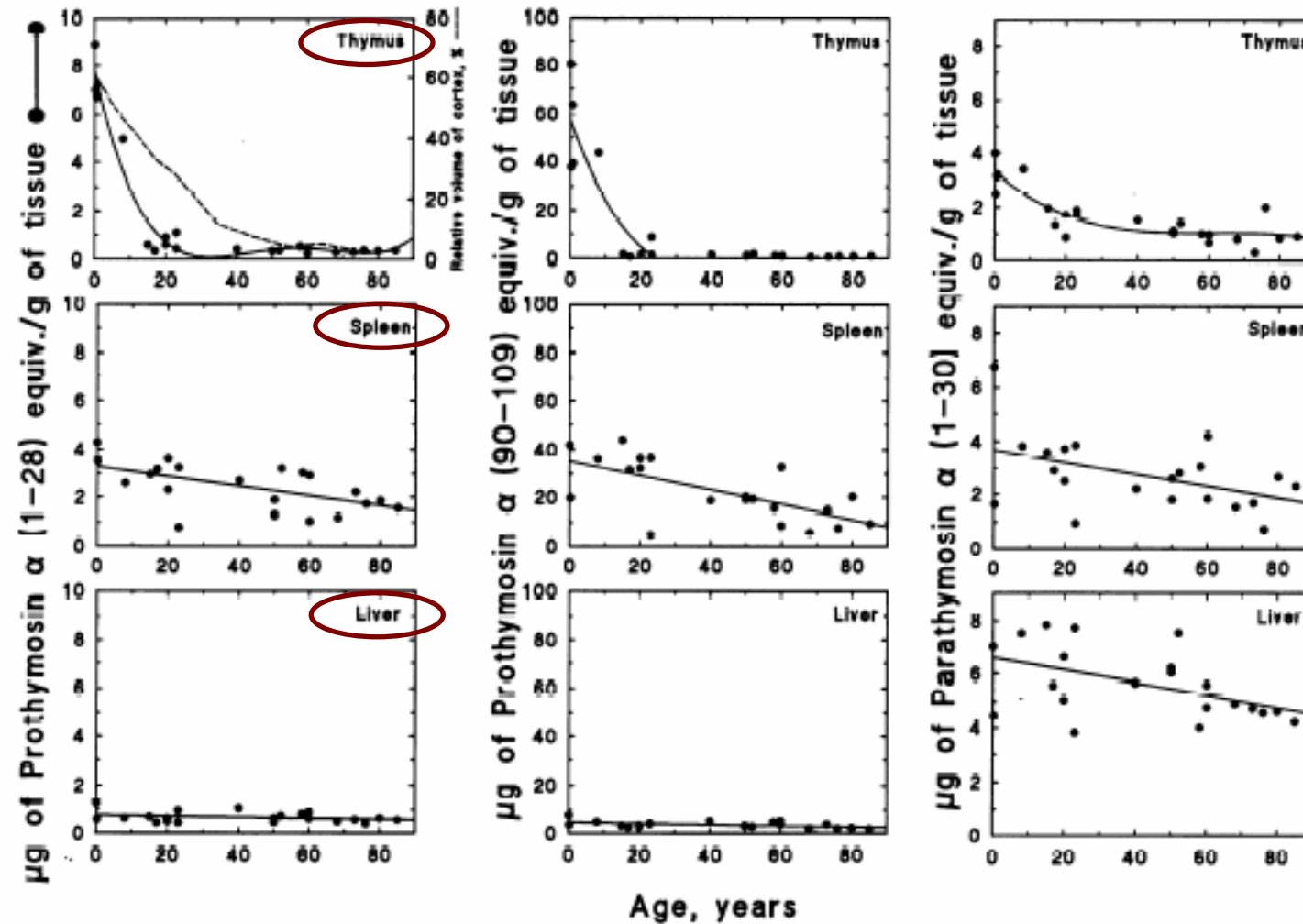
- ❖ cells deficient in ProT α cannot divide (*Sburlati et al., 1991*)
- ❖ is highly upregulated in proliferating cells (*Tsitsiloni et al., 1993*)
- ❖ increases during G1 (*Vareli et al., 1996*)
- ❖ proT α antisense oligos inhibit cell division and siRNA induces apoptosis (*Jiang et al., 2003*)
- ❖ is c-myc regulated throughout the cell cycle (*Orre et al., 2001*)
- ❖ is actively transported in the nucleus, involved in chromatin remodelling via its central acidic region (*Karetsou et al., 2002*)
- ❖ inhibits apoptosome formation (*Enkemann et al., 2000*)

Intracellular role of prothymosin α

➤ *essential for cell survival and cell proliferation*

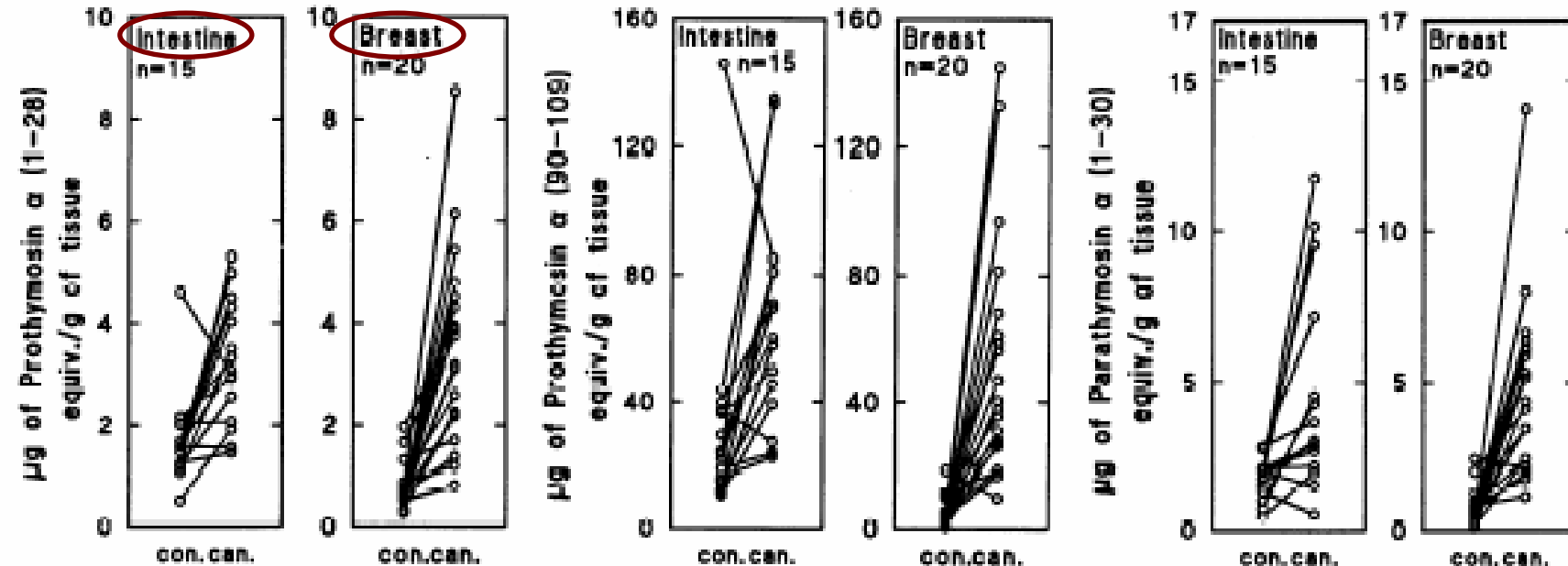
- ❖ cells deficient in ProT α cannot divide (*Sburlati et al., 1991*)
- ❖ **is highly upregulated in proliferating cells (*Tsitsiloni et al., 1993*)**
- ❖ increases during G1 (*Vareli et al., 1996*)
- ❖ proT α antisense oligos inhibit cell division and siRNA induces apoptosis (*Jiang et al., 2003*)
- ❖ is c-myc regulated throughout the cell cycle (*Orre et al., 2001*)
- ❖ is actively transported in the nucleus, involved in chromatin remodelling via its central acidic region (*Karetsou et al., 2002*)
- ❖ inhibits apoptosome formation (*Enkemann et al., 2000*)

Levels of proT α in human tissues during ontogenesis



Tsitsiloni et al., 1993

Levels of proTa in human tissues during abnormal growth



Positive correlation of proTa levels with:

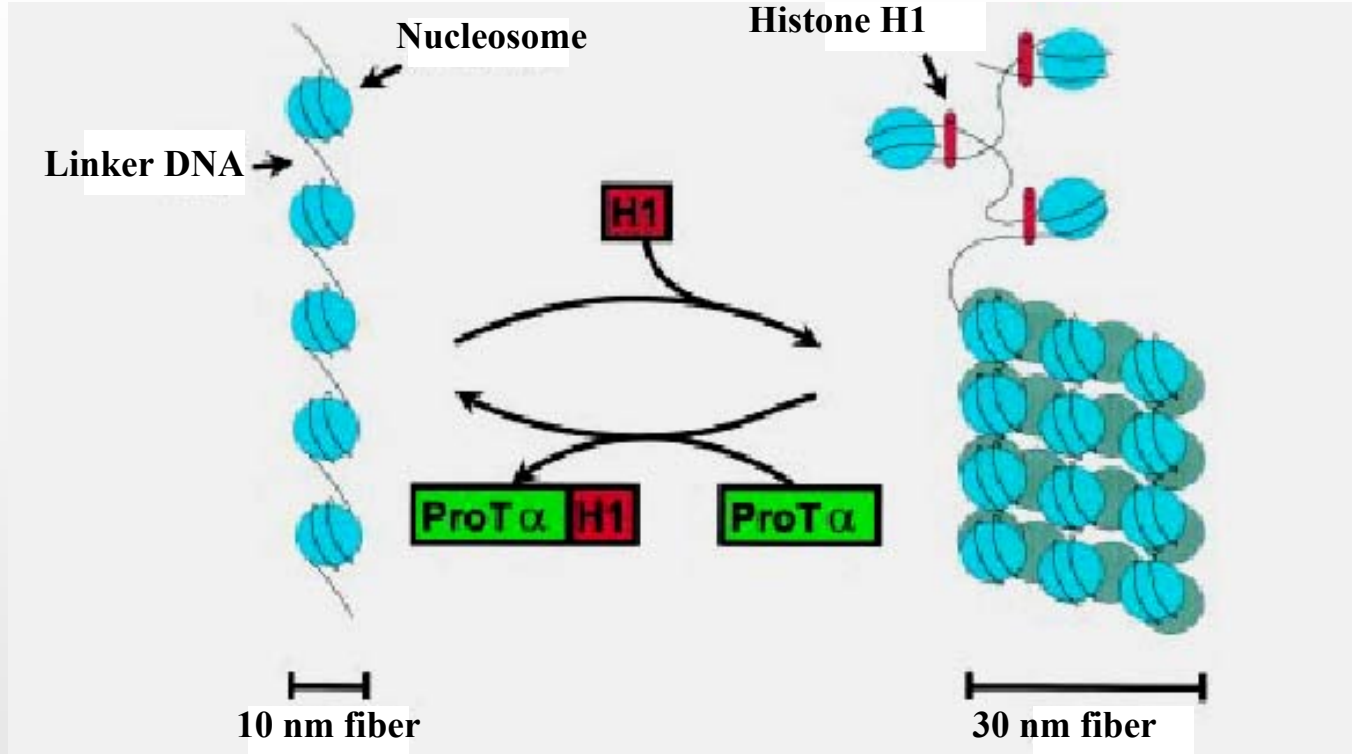
- *the grade of breast cancer*
- *ER status ?*
- *overall patients survival*

Intracellular role of prothymosin α

➤ *essential for cell survival and cell proliferation*

- ❖ cells deficient in ProT α cannot divide (*Sburlati et al., 1991*)
- ❖ is highly upregulated in proliferating cells (*Tsitsiloni et al., 1993*)
- ❖ increases during G1 (*Vareli et al., 1996*)
- ❖ proT α antisense oligos inhibit cell division and siRNA induces apoptosis (*Jiang et al., 2003*)
- ❖ is c-myc regulated throughout the cell cycle (*Orre et al., 2001*)
- ❖ **is actively transported in the nucleus, involved in chromatin remodelling via its central acidic region (*Karetsou et al., 2002*)**
- ❖ inhibits apoptosome formation (*Enkemann et al., 2000*)

ProT α in chromatin decondensation



acidic region of ProT α + H1 = unfolding of the 30 nm chromatin fibres

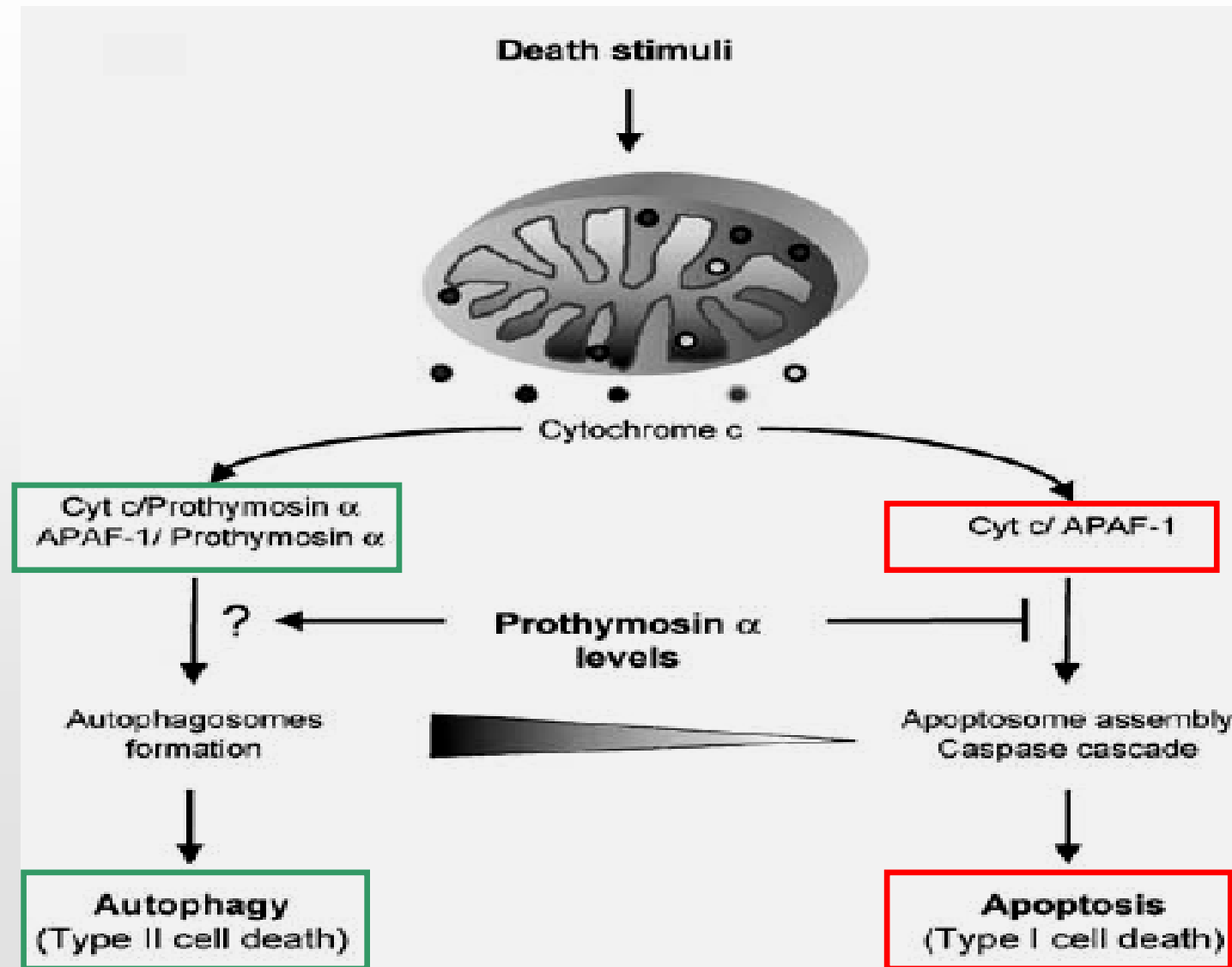
Segade & Gomez-Marquez, 1999; Karetou et al., 2002

Intracellular role of prothymosin α

➤ *essential for cell survival and cell proliferation*

- ❖ cells deficient in ProT α cannot divide (*Sburlati et al., 1991*)
- ❖ is highly upregulated in proliferating cells (*Tsitsiloni et al., 1993*)
- ❖ increases during G1 (*Vareli et al., 1996*)
- ❖ proT α antisense oligos inhibit cell division and siRNA induces apoptosis (*Jiang et al., 2003*)
- ❖ is c-myc regulated throughout the cell cycle (*Orre et al., 2001*)
- ❖ is actively transported in the nucleus, involved in chromatin remodelling via its central acidic region (*Karetsou et al., 2002*)
- ❖ **inhibits apoptosome formation (*Enkemann et al., 2000*)**

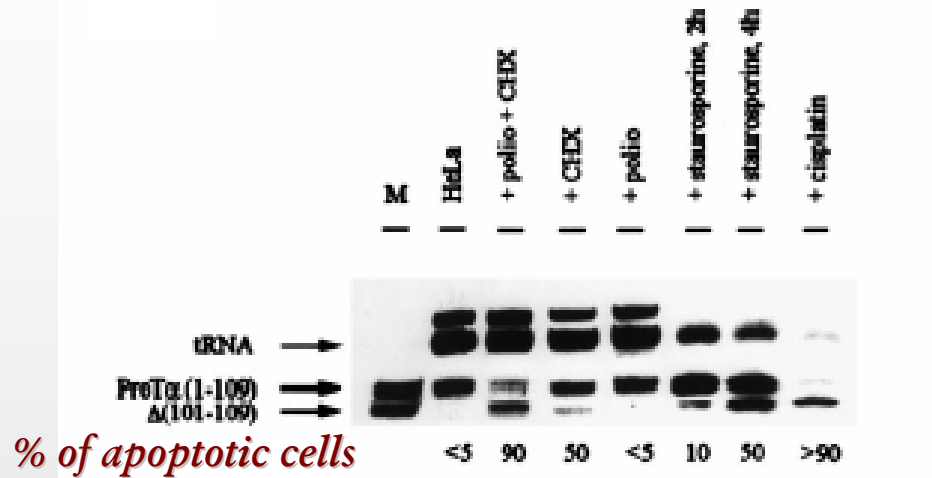
Pro τ a as a molecular “switch”



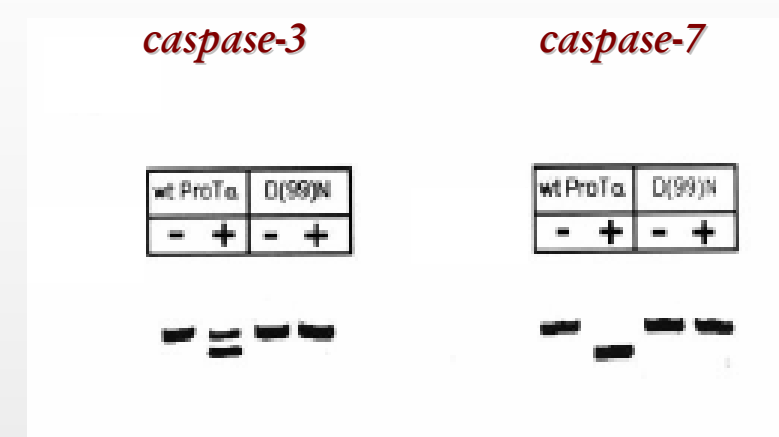
Piacentini et al., 2003

ProTa in apoptosis

HeLa cells



In vitro cleavage of proTa



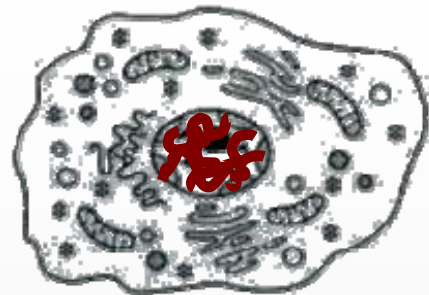
x-SDAAVDTSSE
DAPANGNANE
EEEEEEEGDG
EDDEDDDVDT

ITTKDLKEKK
ENGEQEADNE
EEEDGDEDEE
KKQKTDEDD

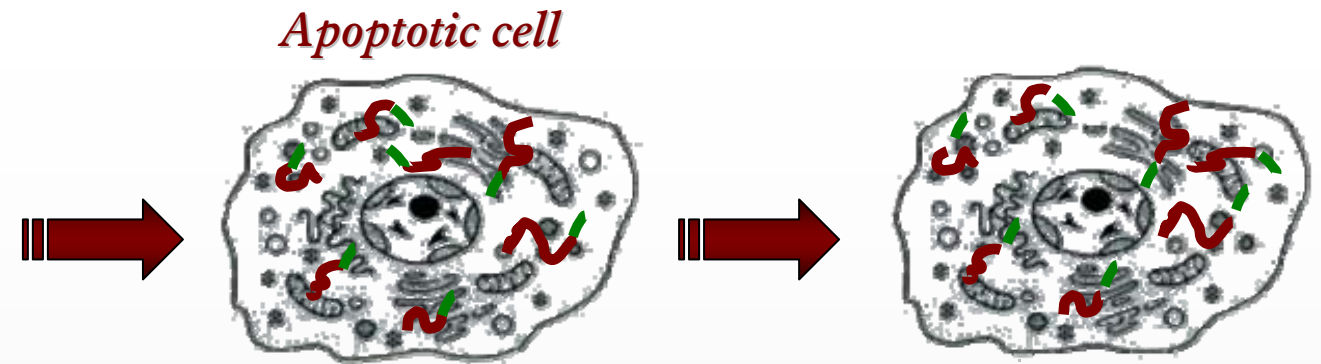
EVVEEAENGR
VDEEEEGGE
AESATGKRAA

Evstafieva et al., 2000

Normal cell



Apoptotic cell



Extracellular role of prothymosin α

➤ *immunoenhancing activity*

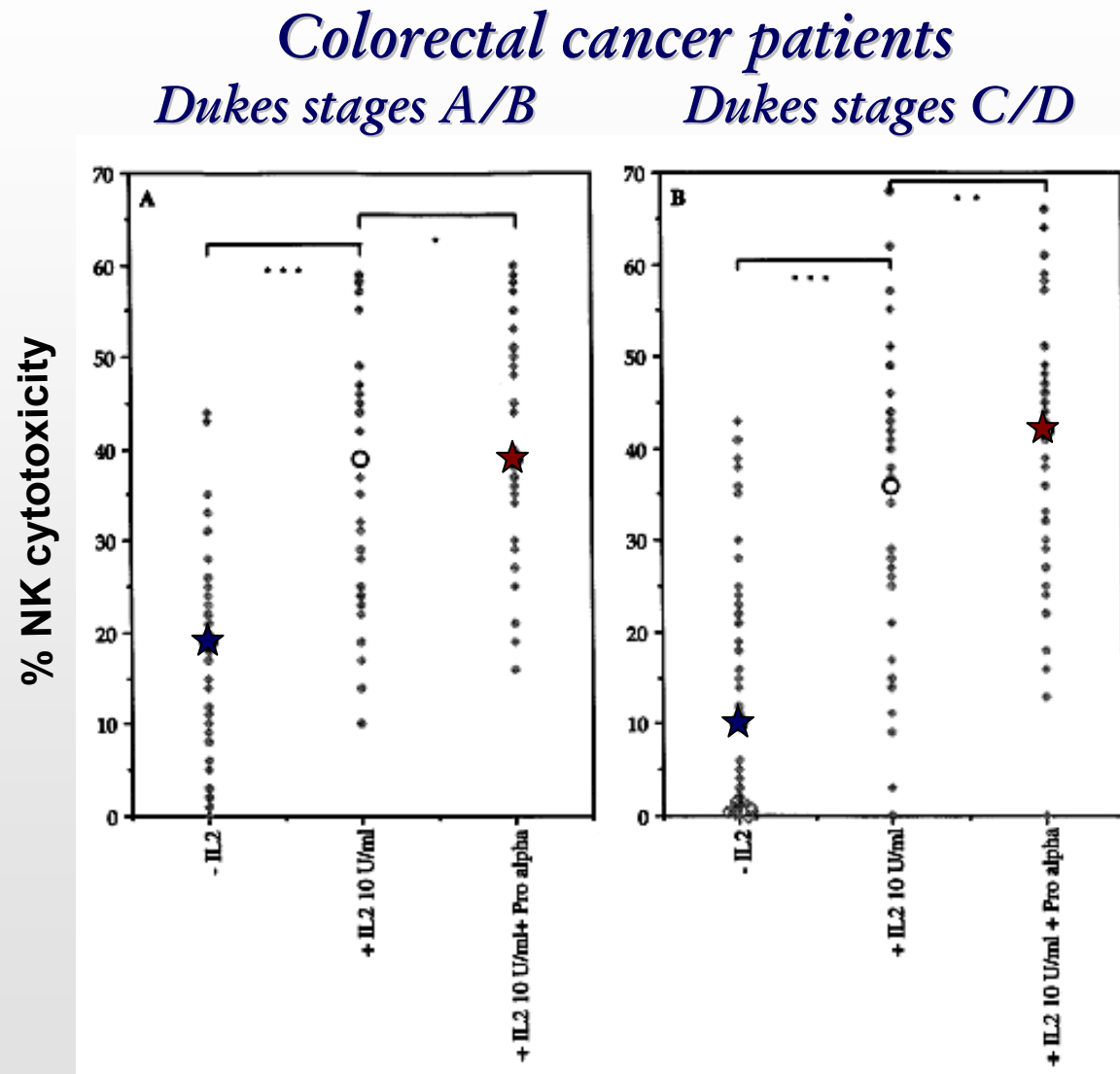
- ❖ induces T cell maturation and proliferation (*Baxevanis et al., 1990*)
- ❖ regulates IL-2 & PGE2 production, IL-2R expression, IFN- γ secretion (*Garbin et al., 1997*)
- ❖ upregulates MHC II gene expression and mRNA accumulation (*Baxevanis et al., 1992*)
- ❖ restores T, NK, LAK cell cytotoxicity (*Eckert et al., 1997; Baxevanis et al., 1999; Voutsas et al., 2000*)
- ❖ in vivo protects mice against opportunistic infections (*Haritos 1987*)
- ❖ in vivo antitumor activity in mice inoculated with leukemic cells (*Baxevanis et al., 1995*)
- ❖ stimulates chemotactic activity and function of PMN (*Heidecke et al., 1997*)

Extracellular role of prothymosin α

➤ immunoenhancing activity

- ❖ induces T cell maturation and proliferation (*Baxevanis et al., 1990*)
- ❖ regulates IL-2 & PGE2 production, IL-2R expression, IFN- γ secretion (*Garbin et al., 1997*)
- ❖ upregulates MHC II gene expression and mRNA accumulation (*Baxevanis et al., 1992*)
- ❖ restores T, NK, LAK cell cytotoxicity (*Eckert et al., 1997; Baxevanis et al., 1999; Voutsas et al., 2000*)
- ❖ in vivo protects mice against opportunistic infections (*Haritos 1987*)
- ❖ in vivo antitumor activity in mice inoculated with leukemic cells (*Baxevanis et al., 1995*)
- ❖ stimulates chemotactic activity and function of PMN (*Heidecke et al., 1997*)

ProTa restores NK cell activity *in vitro*



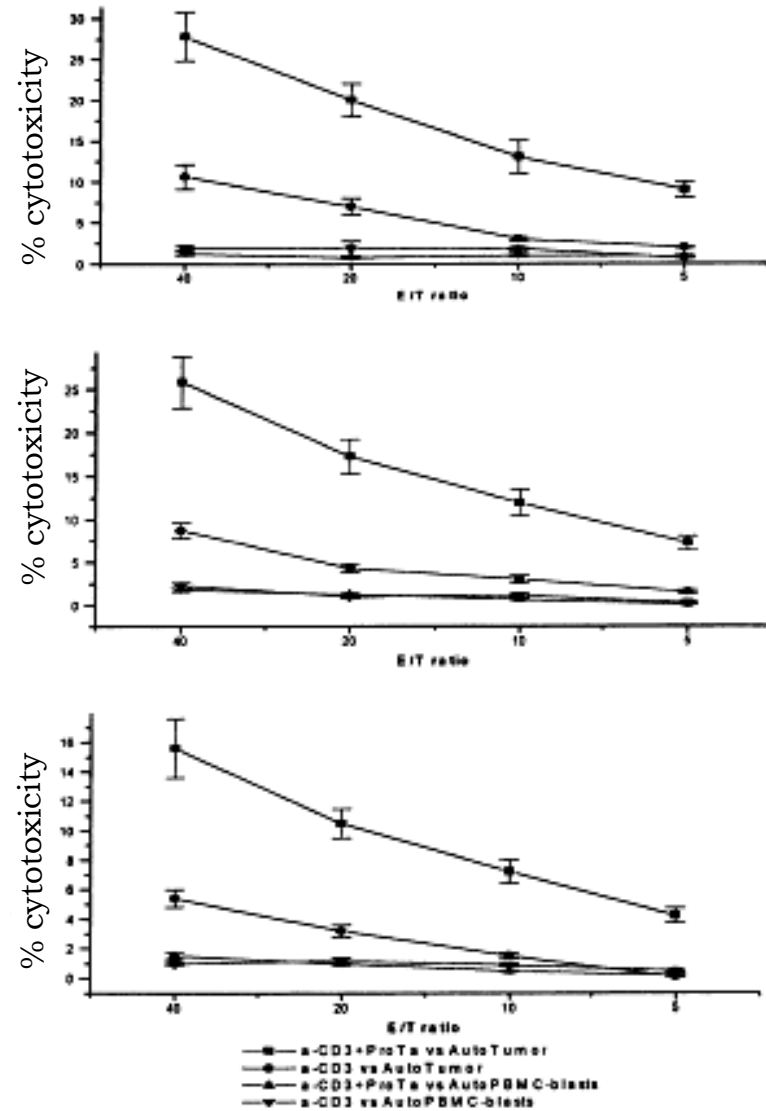
Eckert *et al.*, 1997

ProTa restores LAK cell activity *in vitro*

Assayed in synergy with anti-CD3

| Donors | Cytotoxicity (%) | | | | | |
|---|------------------|---------|--------------|-------------|---------|--------------|
| | Raji cells | | | Daudi cells | | |
| | - | + | Increase (%) | - | + | Increase (%) |
| Melanoma (<i>n</i> = 2) | 22 ± 6 | 53 ± 12 | 141 | 10 ± 3 | 27 ± 6 | 170 |
| Colorectal cancer (<i>n</i> = 6) | 17 ± 5 | 52 ± 13 | 206 | 11 ± 2 | 31 ± 7 | 182 |
| Lung cancer (<i>n</i> = 9) | 12 ± 3 | 39 ± 7 | 225 | 9 ± 3 | 20 ± 6 | 122 |
| Breast cancer (<i>n</i> = 12) | 19 ± 5 | 35 ± 11 | 84 | 13 ± 5 | 29 ± 5 | 123 |
| Ovarian cancer (<i>n</i> = 10) | 18 ± 5 | 30 ± 10 | 67 | 7 ± 2 | 19 ± 6 | 171 |
| Mean values for cancer (<i>n</i> = 39) | 17 ± 3 | 42 ± 9 | 147 | 10 ± 2 | 25 ± 5 | 150 |
| Healthy donors (<i>n</i> = 20) | 42 ± 10 | 61 ± 9 | 45 | 25 ± 7 | 42 ± 10 | 68 |

ProTa enhances cytotoxicity against autologous tumor targets *in vitro*



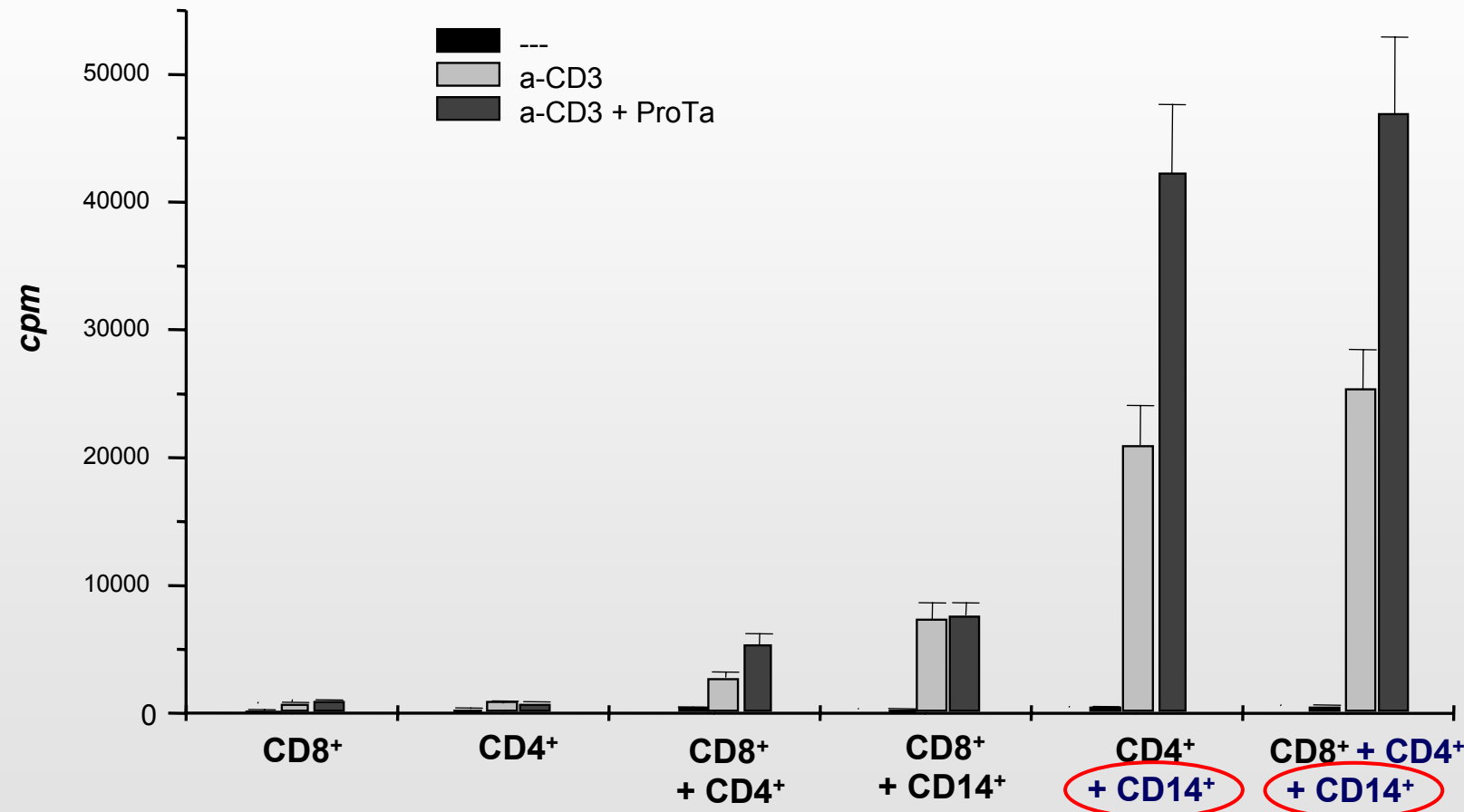
Lung cancer

Ovarian cancer

Breast cancer

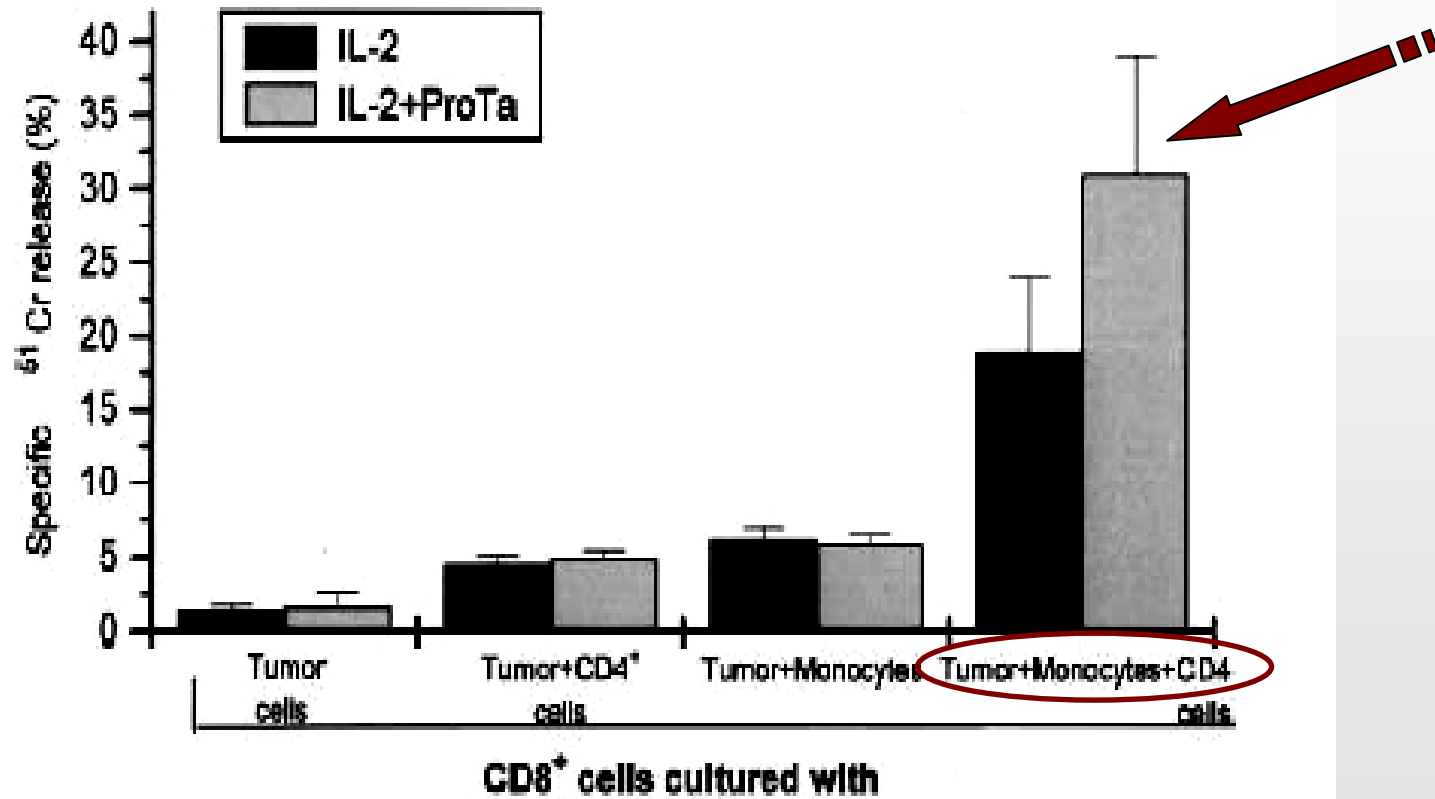
Baxevanis et al, 1999

Requirement of CD4+ T cells and monocytes for optimal induction of proliferation with prothymosin α



Baxevanis et al, 1999

ProTa-induced cytotoxicity is monocyte-dependent

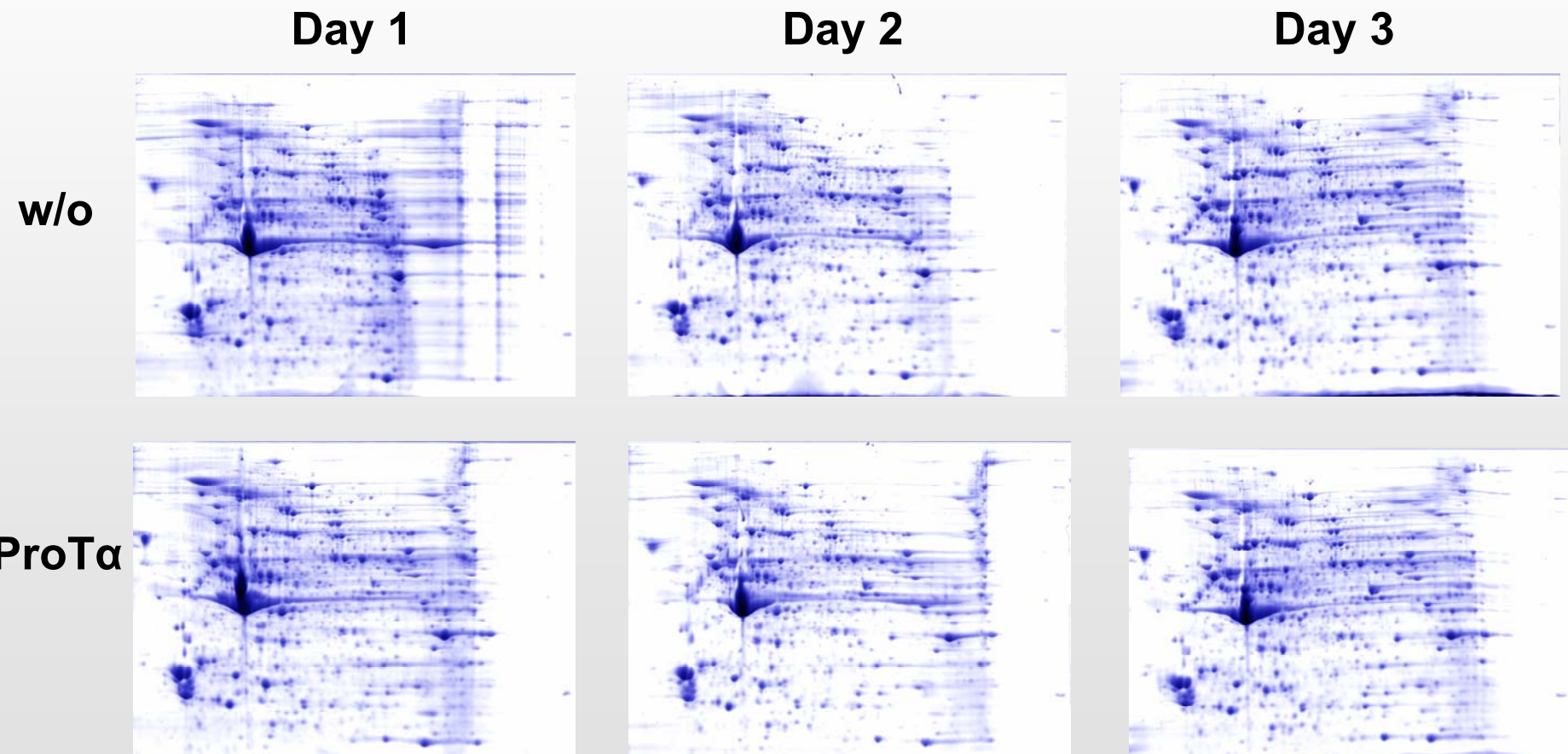


Voutsas et al., 2000

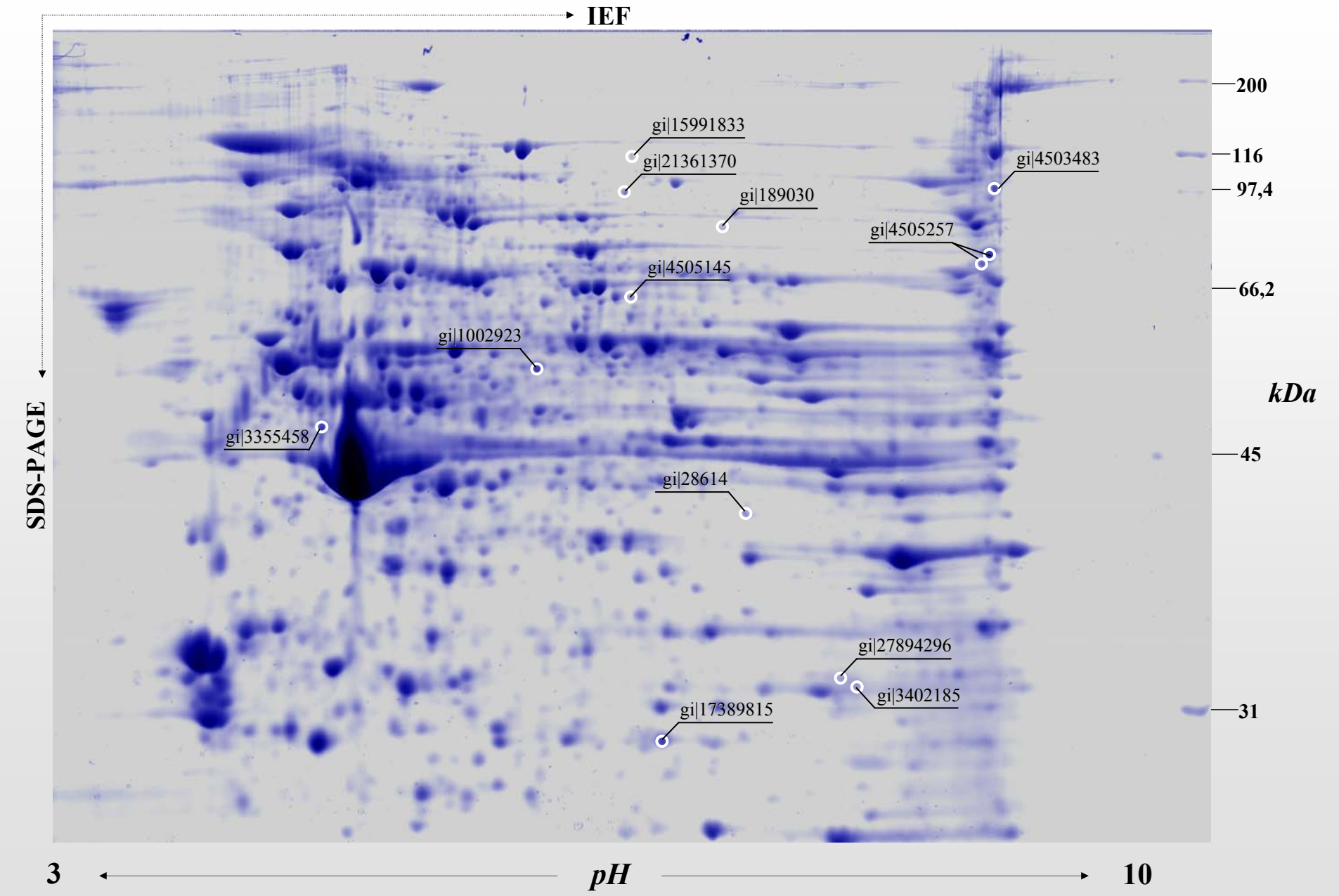
Summary on ProTa's mode of action

- ❖ is monocyte-dependent
- ❖ is CD4 T cell-dependent
- ❖ is IL-2-dependent
- ❖ exerted optimally after 3 days
- ❖ in principle on NK cells (cytotoxicity)

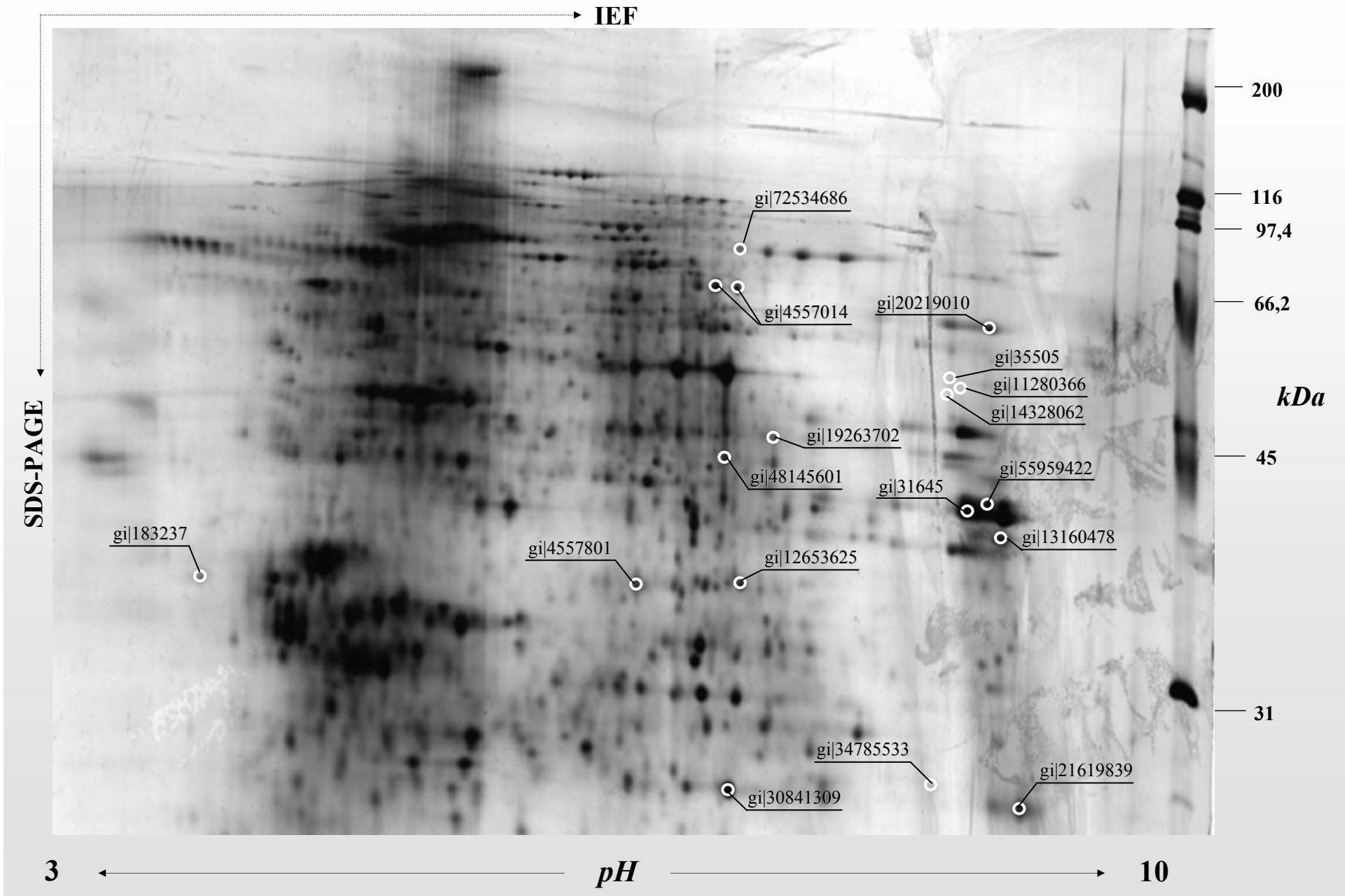
Proteomic analysis of proT α -stimulated PBMC extracts



Normal donor-derived PBMC extracts



Cancer patient-derived PBMC extracts



Healthy donor-derived PBMC

| αριθμός κηλίδας | Όνομα πρωτεΐνης κατά NCBI | NCBI gi number | Κάλυψη αλληλουχίας | Περιγραφή λειτουργίας |
|----------------------------------|---|-----------------|--------------------|---|
| ημέρα -1 αυξημένη έκφραση | | | | |
| 1 | Vinculin | gi 24657579 | 10% | μόριο του κυτταροσκελετού |
| 2 | Vinculin | gi 24657579 | 14% | μόριο του κυτταροσκελετού |
| 3 | Heat-shock 90 kDa protein 1 (HSP90) | gi 40254816 | 21% | μόριο με ιδιότητες πρόσδεσης άλλων μορίων |
| 4 | alpha-(1,3)-fucosyltransferase | gi 520464 | 13% | μόριο ενζυμικής/καταλυτικής δραστικότητας |
| 5 | Tropomyosin 3 | gi 88926 | 20% | μόριο του κυτταροσκελετού |
| 6 | Tropomyosin 3 | gi 88926 | 30% | μόριο του κυτταροσκελετού |
| 7 | FLJ00035 | gi 10440404 | 10% | άγγωστη λειτουργία |
| ημέρα -2 αυξημένη έκφραση | | | | |
| 8 | Eukaryotic translation elongation factor 2 (eEF2) | gi 4503483 | 8% | μόριο ρυθμιστής της μετάφρασης πρωτεΐνων |
| 9 | Moesin | gi 4505257 | 20% | μόριο του κυτταροσκελετού |
| 10 | Moesin | gi 4505257 | 15% | μόριο του κυτταροσκελετού |
| 11 | Triosephosphate isomerase 1 (TPI) | gi 17389815 | 33% | μόριο ενζυμικής/καταλυτικής δραστικότητας |
| 12 | Interleukin 1 family, member 7, (IL-1) | gi 27894296 | 19% | μόριο με χημειοτακτικές ιδιότητες |
| 13 | Protein tyrosine phosphatase sigma, partial CDS | gi 3355458 | 5% | μόριο ενζυμικής/καταλυτικής δραστικότητας |
| μειωμένη έκφραση | | | | |
| 14 | Hexokinase 1, isoform HKI-td | gi 15991833 | 14% | μόριο ενζυμικής/καταλυτικής δραστικότητας |
| 15 | Glycogen phosphorylase | gi 21361370 | 22% | μόριο ενζυμικής/καταλυτικής δραστικότητας |
| 16 | Myosin heavy chain-A, non-muscle | gi 189030 | 20% | μόριο του κυτταροσκελετού |
| 17 | Malic enzyme 2 | gi 4505145 | 20% | μόριο ενζυμικής/καταλυτικής δραστικότητας |
| 18 | Galectin-3 | gi 3402185 | 18% | μόριο με ιδιότητες πρόσδεσης άλλων μορίων |
| 19 | Aldolase A | gi 28614 | 27% | μόριο ενζυμικής/καταλυτικής δραστικότητας |
| 20 | Coronin-like protein | gi 1002923 | 9% | άγγωστη λειτουργία |
| ημέρα -3 αυξημένη έκφραση | | | | |
| 21 | LIM protein SLIMMER | gi 3859849 | 14% | μόριο με ιδιότητες πρόσδεσης άλλων μορίων |
| 22 | L-plastin polypeptide | gi 4504965 | 25% | μόριο με ιδιότητες πρόσδεσης άλλων μορίων |
| 23 | L-plastin polypeptide | gi 4504965 | 27% | μόριο με ιδιότητες πρόσδεσης άλλων μορίων |
| 24 | MX2 | gi 2996644 | 11% | μόριο ενζυμικής/καταλυτικής δραστικότητας |
| μειωμένη έκφραση | | | | |
| 25 | SRC protein | gi 15079460 | 13% | μόριο ενζυμικής/καταλυτικής δραστικότητας |
| 26 | WD-repeat protein | gi 47606182 | 4% | άγγωστη λειτουργία |
| 27 | Macrophage migration inhibitory factor | gi 4505185 | 9% | μόριο με χημειοτακτικές ιδιότητες |

Cancer patient-derived PBMC

| αριθμός κηλίδας | Όνομα πρωτεΐνης κατά NCBI | NCBI gi number | Κάλυψη αλληλουχίας | Περιγραφή λειτουργίας |
|---|--|--------------------|-----------------------|---|
| ημέρα-1 μειωμένη έκφραση | | | | |
| 28 | Catalase | gi 4557014 | 21% | μόριο με αντιοξειδωτική δράση |
| 29 | Catalase | gi 4557014 | 33% | μόριο με αντιοξειδωτική δράση |
| 30 | Glyceraldehyde-3-phosphate dehydrogenase | gi 31645 | 34% | μόριο ενζυμικής/καταλυτικής δραστικότητας |
| 31 | Purine nucleoside phosphorylase | gi 4557801 | 49% | μόριο ενζυμικής/καταλυτικής δραστικότητας |
| 32 | Actin-related protein 2/3 complex subunit 2 | gi 12653625 | 37% | μόριο με ιδιότητες πρόσδεσης άλλων μορίων |
| 33 | Manganese-containing superoxide dismutase, chain B | gi 30841309 | 55% | μόριο με αντιοξειδωτική δράση |
| 34 | Lipocalin 2 (LPN2) | gi 21619839 | 32% | μόριο με ιδιότητες πρόσδεσης άλλων μορίων |
| 35 | Pyruvate kinase | gi 35505 | 26% | μόριο ενζυμικής/καταλυτικής δραστικότητας |
| 36 | Interleukin-1 receptor associated kinase 4 (IRAK4) | gi 20219010 | 9% | μόριο κυτταρικής σηματοδότησης |
| 37 | GTP-binding protein PTD004 | gi 11280366 | 54% | μόριο ενζυμικής/καταλυτικής δραστικότητας |
| 38 | Isocitrate dehydrogenase 2, mitochondrial variant | gi 14328062 | 46% | μόριο ενζυμικής/καταλυτικής δραστικότητας |
| 39 | Cisplatin resistance related protein CPP9p | gi 19263702 | 7% | μόριο με ιδιότητες πρόσδεσης άλλων μορίων |
| 40 | N-acetylglucosaminyltransferase I | gi 183237 | 14% | μόριο ενζυμικής/καταλυτικής δραστικότητας |
| 41 | Ribophorin 1 (RPN1) | gi 48145601 | 12% | μόριο με ιδιότητες πρόσδεσης άλλων μορίων |
| 42 | Galactoside binding, soluble 8 galectin-8 | gi 55959422 | 35% | μόριο με ιδιότητες πρόσδεσης άλλων μορίων |
| 43 | Inositol polyphosphate-5-phosphatase (INPP5) | gi 13160478 | 22% | μόριο ενζυμικής/καταλυτικής δραστικότητας |
| 44 | Huntingtin interacting protein C, isoform 1 | gi 72534686 | 17% | μόριο με ιδιότητες πρόσδεσης άλλων μορίων |
| μειωμένη έκφραση | | | | |
| 45 | Profilin 1 | gi 34785533 | 64% | μόριο με ιδιότητες πρόσδεσης άλλων μορίων |
| ημέρα-2 μειωμένη έκφραση | | | | |
| 46 | Hemoglobin subunit alpha | gi 57013850 | 47% | μόριο δέσμευσης θρεπτικών συστατικών |
| 47 | Hemoglobin subunit alpha | gi 57013850 | 55% | μόριο δέσμευσης θρεπτικών συστατικών |
| 48 | 14-3-3 protein | gi 33872677 | 32% | μόριο κυτταρικής σηματοδότησης |
| 49 | Vimentin | gi 62414289 | 6% | μόριο του κυτταροσκελετού |
| ημέρα-3 μειωμένη έκφραση | | | | |
| 50 | Galectin-3 | gi 4504983 | 27% | μόριο με ιδιότητες πρόσδεσης άλλων μορίων |
| 51 | Peroxiredoxin 1 | gi 32455266 | 56% | μόριο με αντιοξειδωτική δράση |
| 52 | Transgelin 2 | gi 55960375 | 55% | άγνωστη λειτουργία |
| 53 | Cofilin 1 | gi 1177471 | 58% | μόριο με ιδιότητες πρόσδεσης άλλων μορίων |

GoMiner: a resource for biological interpretation of genomic and proteomic data

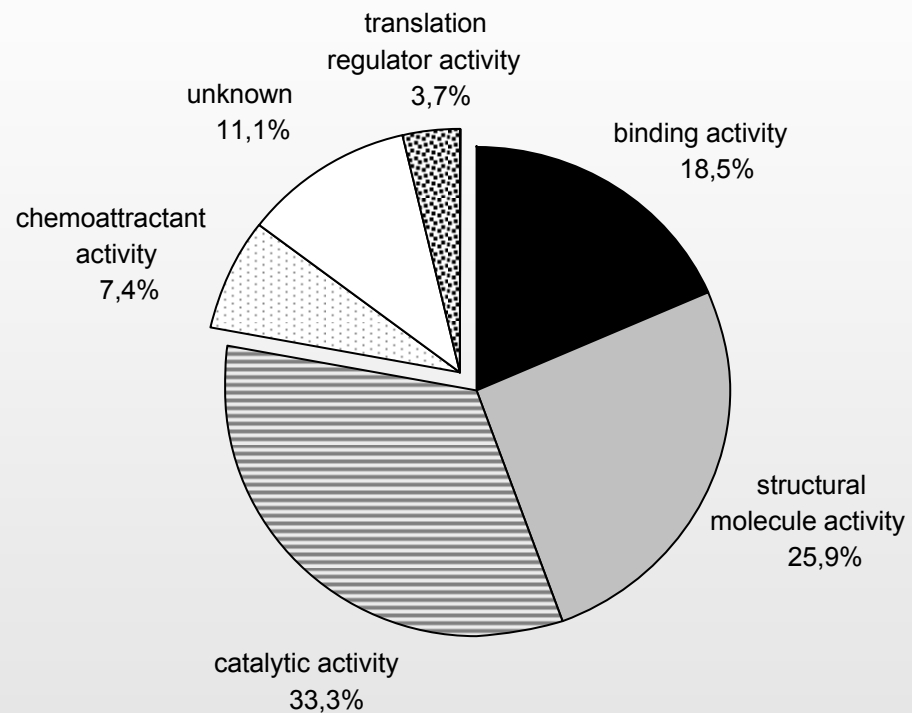
We have developed GoMiner, a program package that organizes lists of 'interesting' genes (for example, under- and overexpressed genes from a microarray experiment) for biological interpretation in the context of the Gene Ontology. GoMiner provides quantitative and statistical output files and two useful visualizations. The first is a tree-like structure analogous to that in the AmiGO browser and the second is a compact, dynamically interactive 'directed acyclic graph'. Genes displayed in GoMiner are linked to major public bioinformatics resources.

- **biological process**
- **cellular component**
- **molecular function**

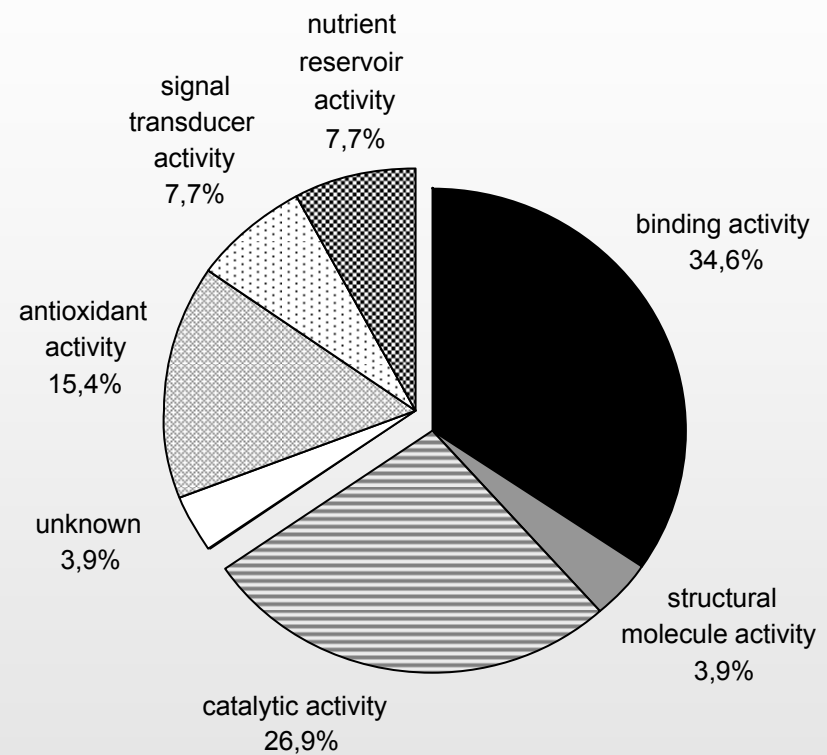
1. *binding activity*
2. *catalytic activity*
3. *structural activity*
4. *translation regulator activity*
5. *chemoattractant activity*
6. *nutrient reservoir activity*
7. *antioxidant activity*
8. *signal transducer activity*
9. *enzyme regulator activity*
10. *transporter activity*
11. *triplet-codon-amino acid adaptor activity*
12. *motor activity*
13. *chaperone regulator activity*
14. *chemorepellant activity*
15. *energy transducer activity*
16. *protein tagging activity*
17. *obsolete molecular function*
18. *unknown*

Protein organization according to GO

A. Normal donors



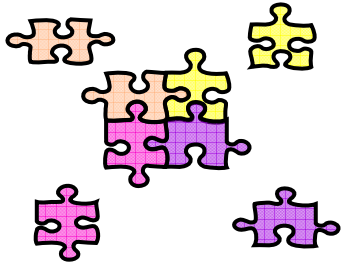
B. Cancer patients



77,7 %

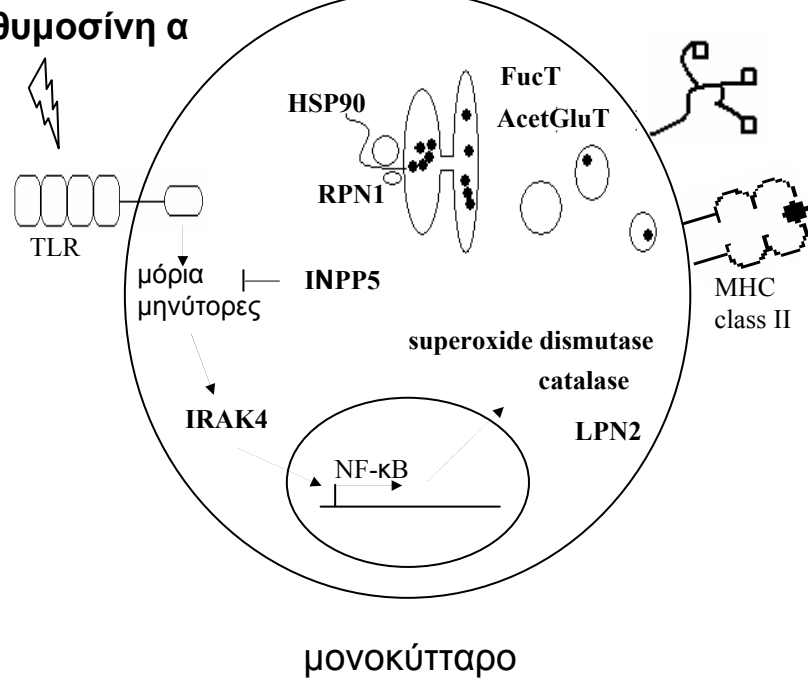
65,4 %

Skopeliti et al., 2007

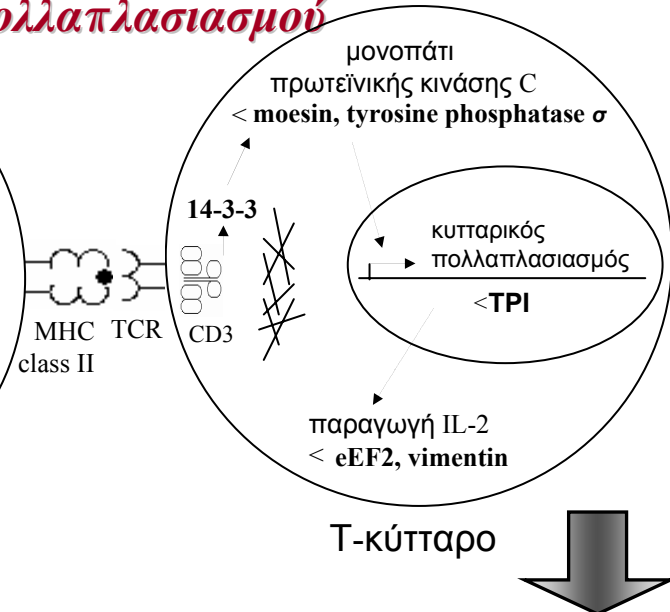
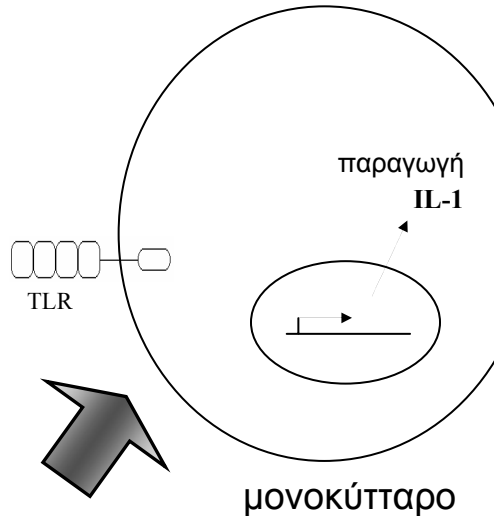


1η ημέρα: διέγερση μονοκυττάρων

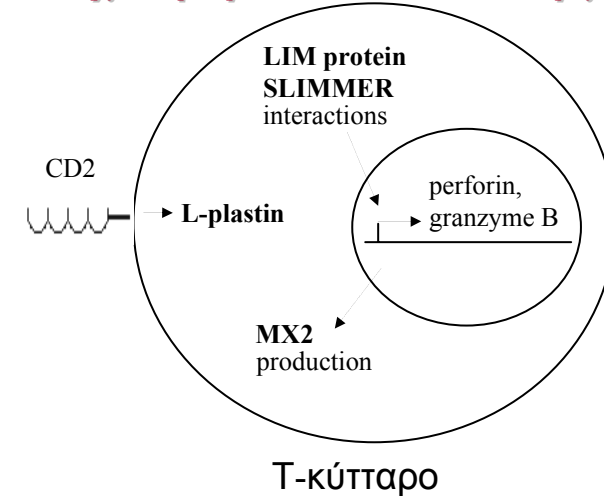
Προθυμοσίνη α



2η ημέρα: σταθεροποίηση ανοσολογικής σύναψης - διέγερση T-κυτταρικού πολλαπλασιασμού

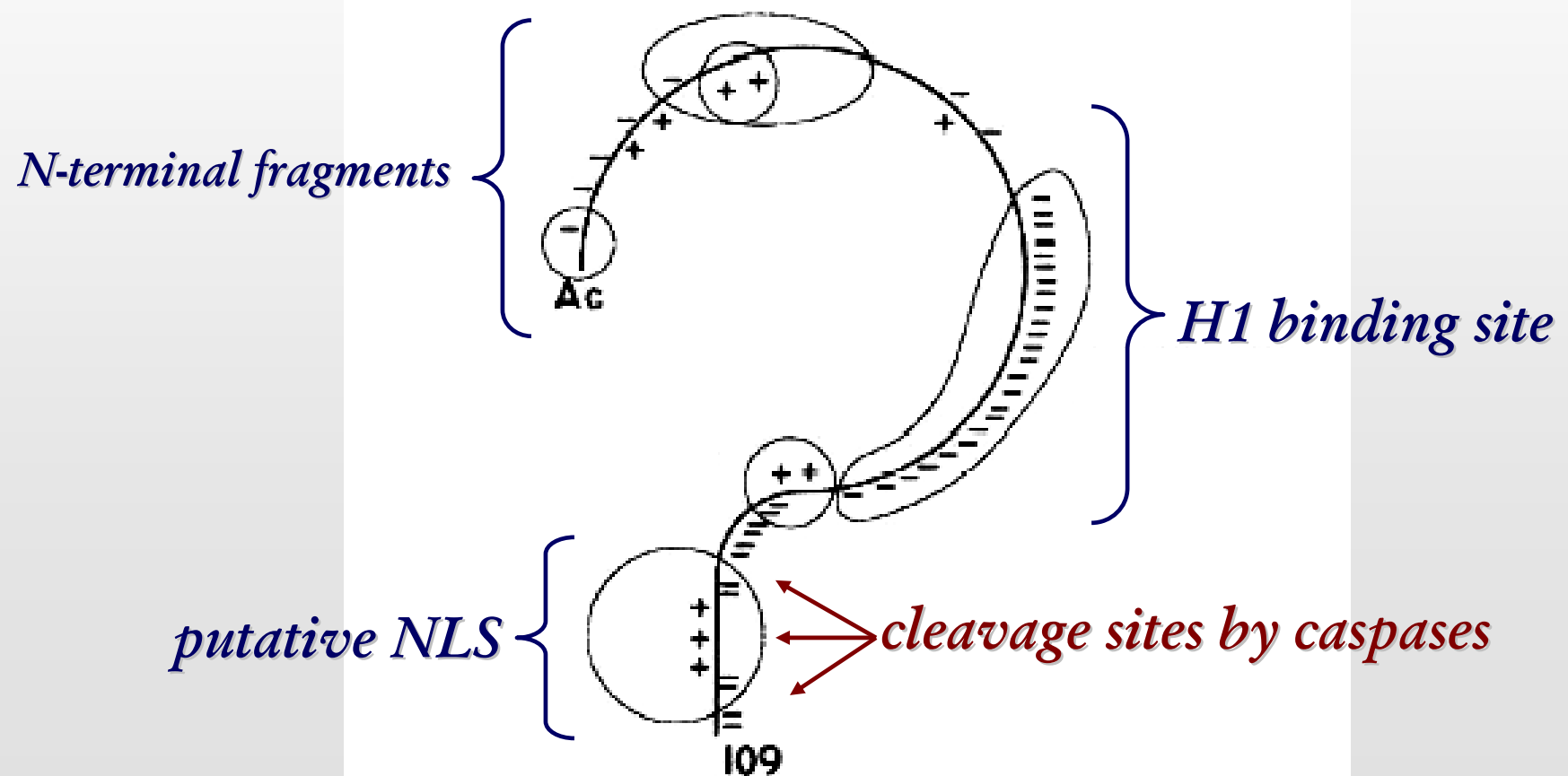


3η μέρα: ενίσχυση δραστικών λειτουργιών

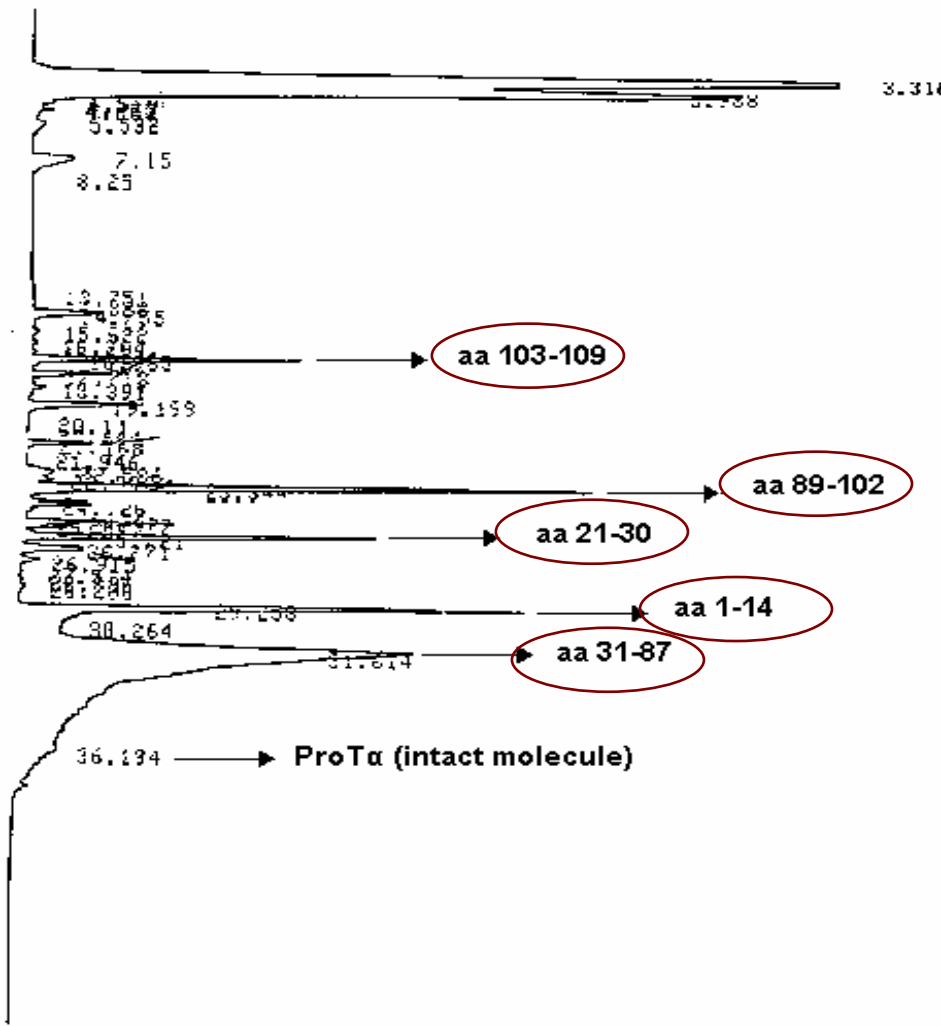


Skopeliti et al., 2007

Determining the immunologically active site of prothymosin α



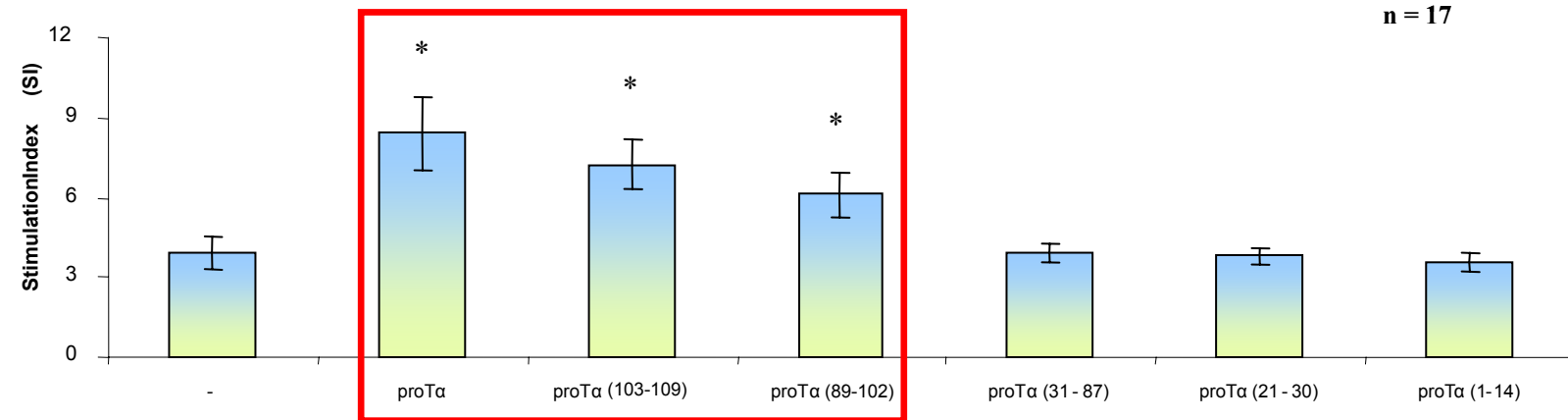
Tryptic digestion of prothymosin α



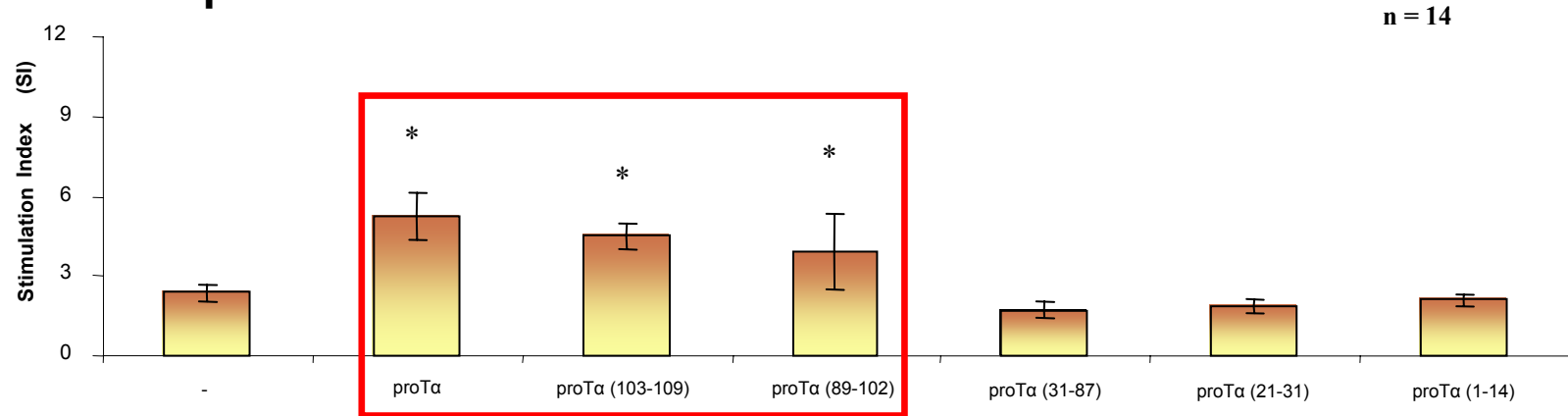
| | |
|-------------------|---|
| aa 1-14 | SDAAVDTSSEITIK |
| aa 21-30 | EVVEEAENGR |
| aa 31-87 | DAPANGNANE ENGQEADSE VDEEEESEGGE EEEEEEEGDG EEEDGDEDEE AESPTGK |
| aa 89-102 | AAEDDEDVDVTKK |
| aa 103-109 | QKTDEDD |

Prothymosin α fragments in AMLR

A .normal donors

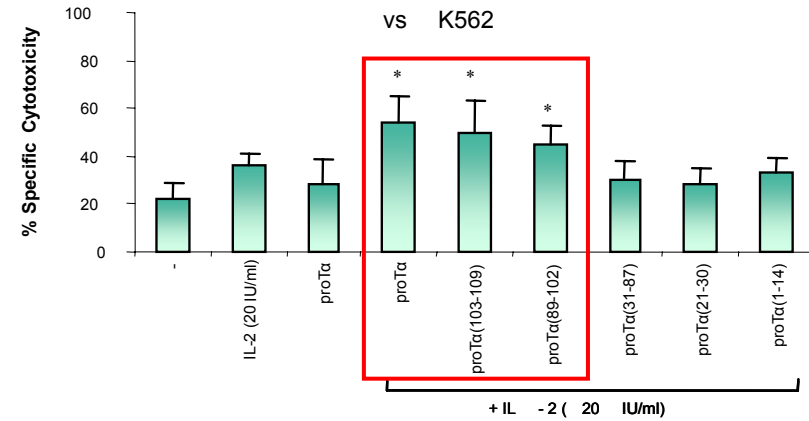


B . cancer patients

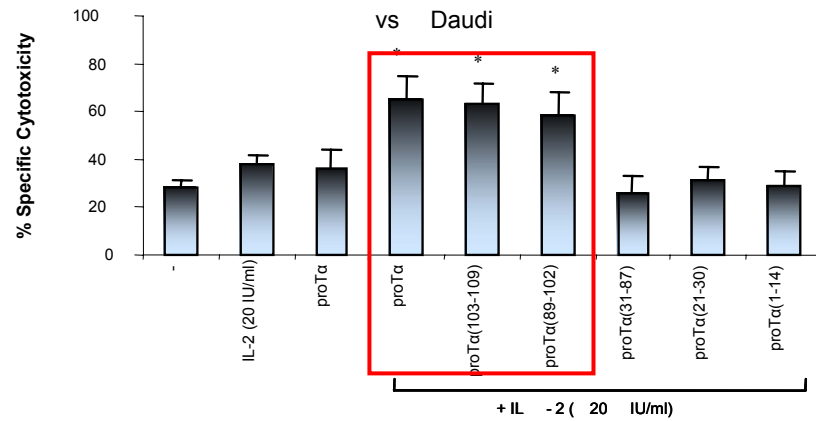


Prothymosin α fragments in cytotoxic assays

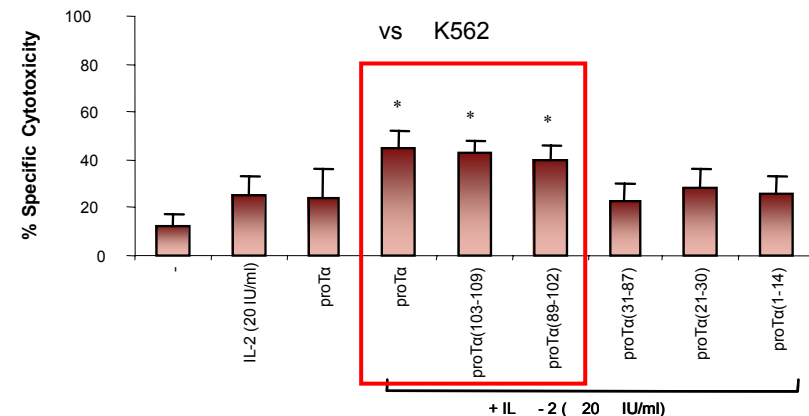
A . normal donors



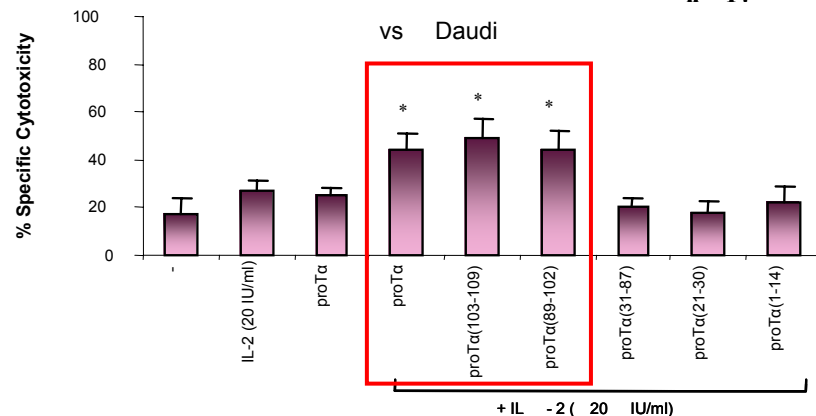
n = 17



B . cancer patients

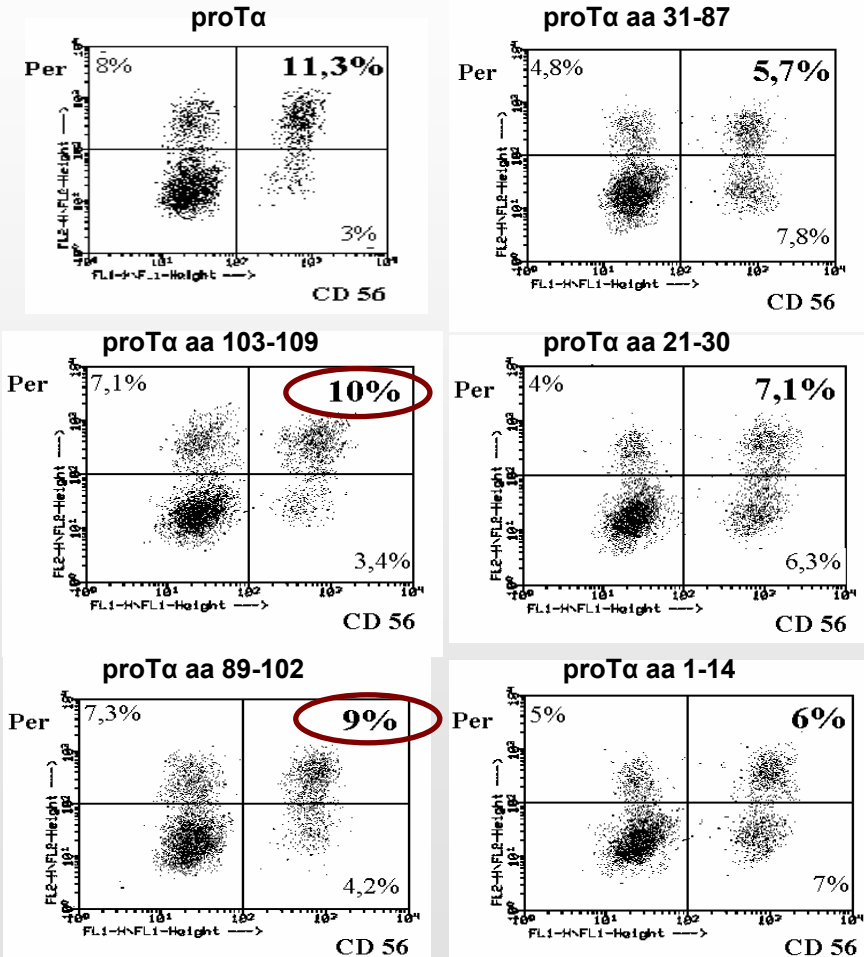


n = 14

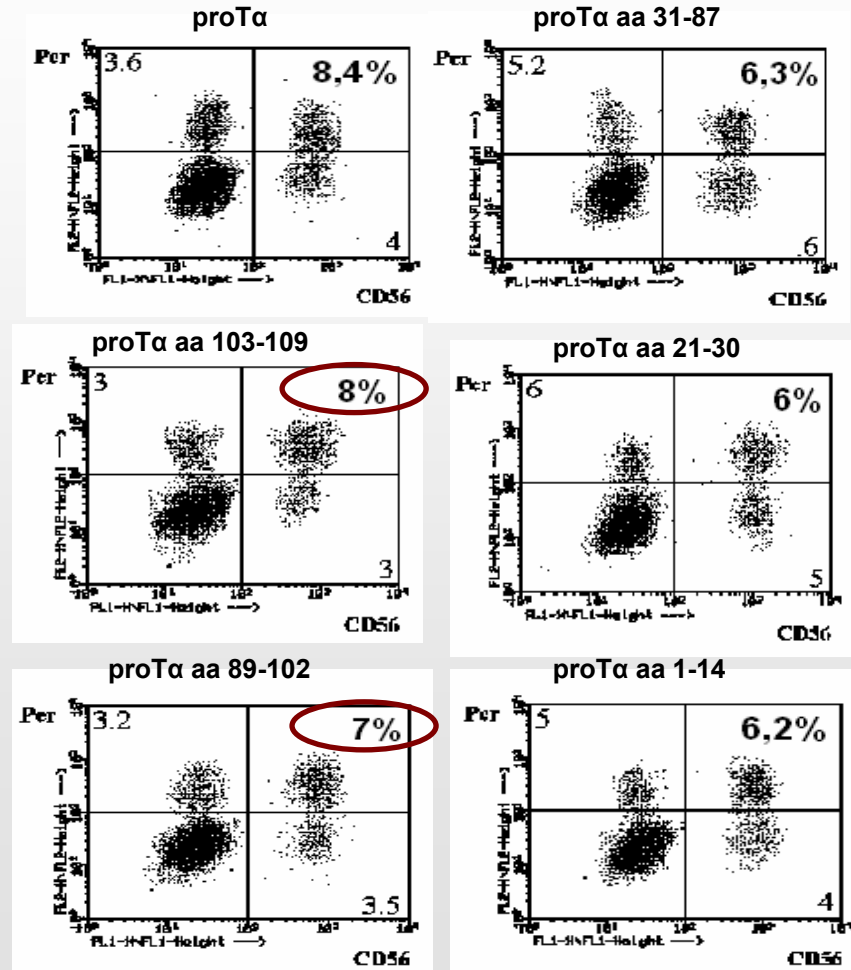


C-terminal proT α fragments induce perforin production by NK cells

A. normal donor

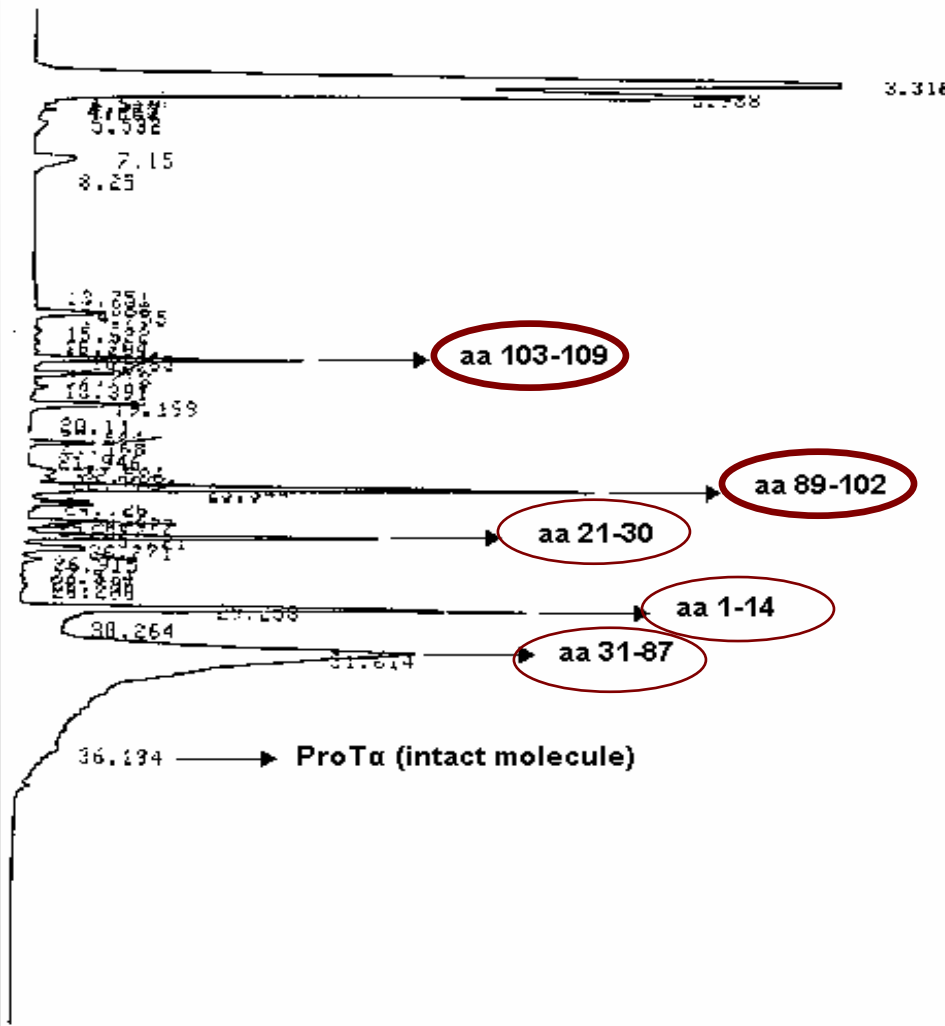


B. cancer patient



Skopeliti et al., 2006

Tryptic digestion of prothymosin α



| | |
|-------------------|---|
| aa 1-14 | SDAAVDTSSEITIK |
| aa 21-30 | EVVEEAENGR |
| aa 31-87 | DAPANGNANE ENGQEADSE VDEEEESEGGE EEEEEEEGDG EEEDGDEDEE AESPTGK |
| aa 89-102 | AAEDDEDVDVTKK |
| aa 103-109 | QKTDEDD |

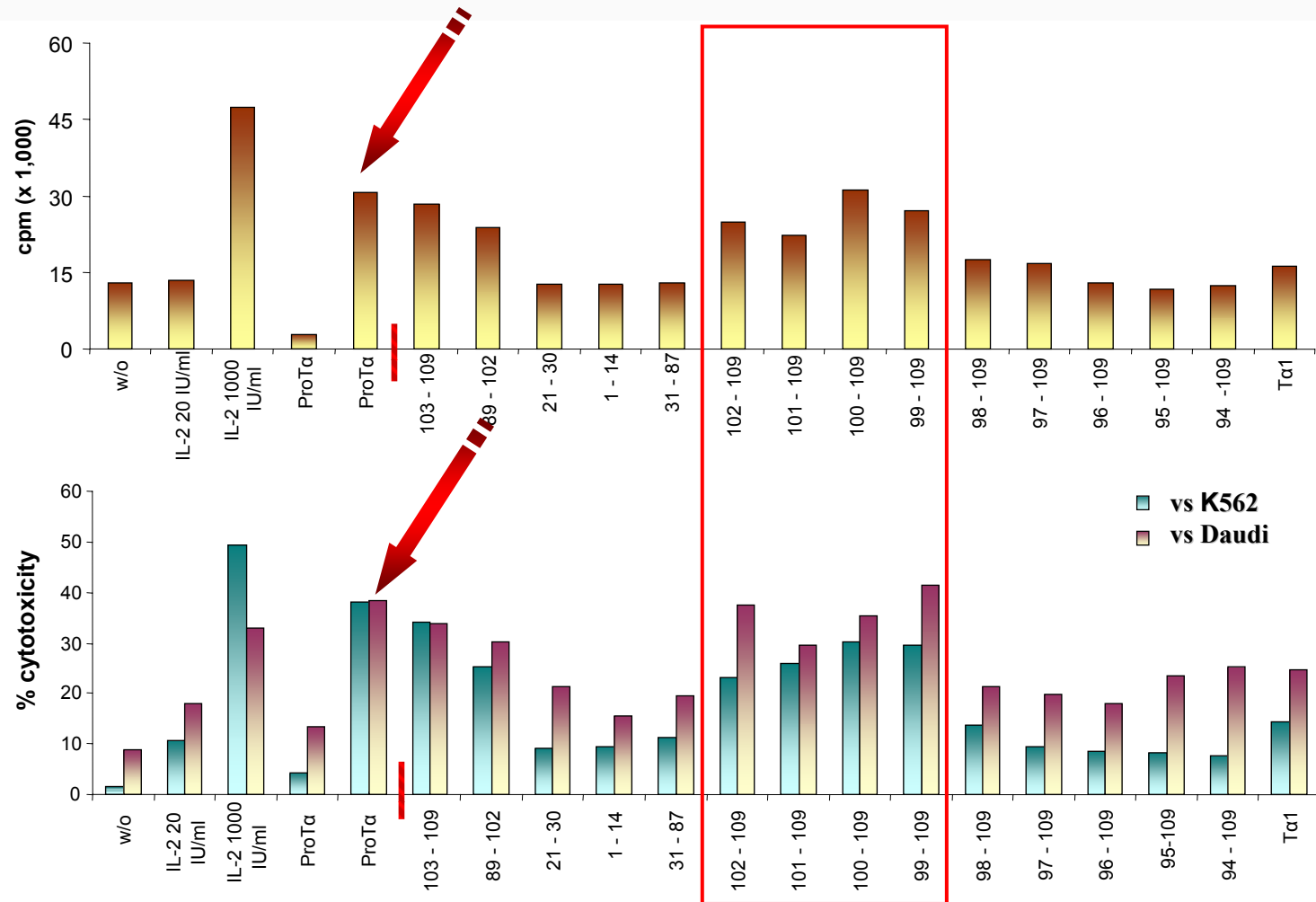
Synthesis of C-terminal proTa fragments

94 **102** **109**
AAE DDE DDD VDT KKQ KT D E DD

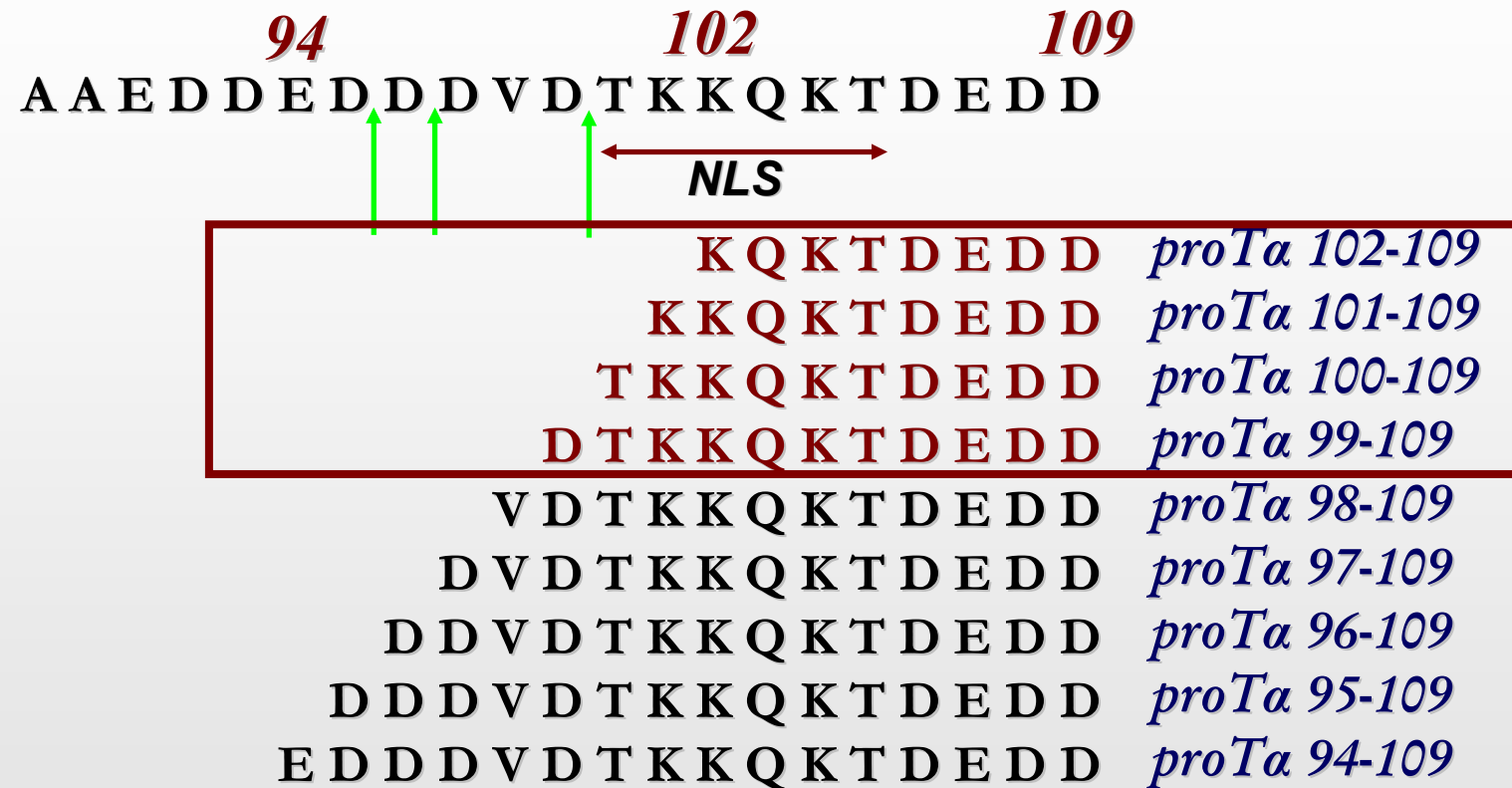
| | |
|-----------------------------|----------------------|
| K Q K T D E D D | <i>proTa 102-109</i> |
| KKQ K T D E D D | <i>proTa 101-109</i> |
| T KK Q K T D E D D | <i>proTa 100-109</i> |
| D T KK Q K T D E D D | <i>proTa 99-109</i> |
| V D T KK Q K T D E D D | <i>proTa 98-109</i> |
| D V D T KK Q K T D E D D | <i>proTa 97-109</i> |
| D D V D T KK Q K T D E D D | <i>proTa 96-109</i> |
| DDD V D T KK Q K T D E D D | <i>proTa 95-109</i> |
| EDD DV D T KK Q K T D E D D | <i>proTa 94-109</i> |

Immunological evaluation of C-terminal pro $\text{T}\alpha$ fragments' effects

proliferation assay



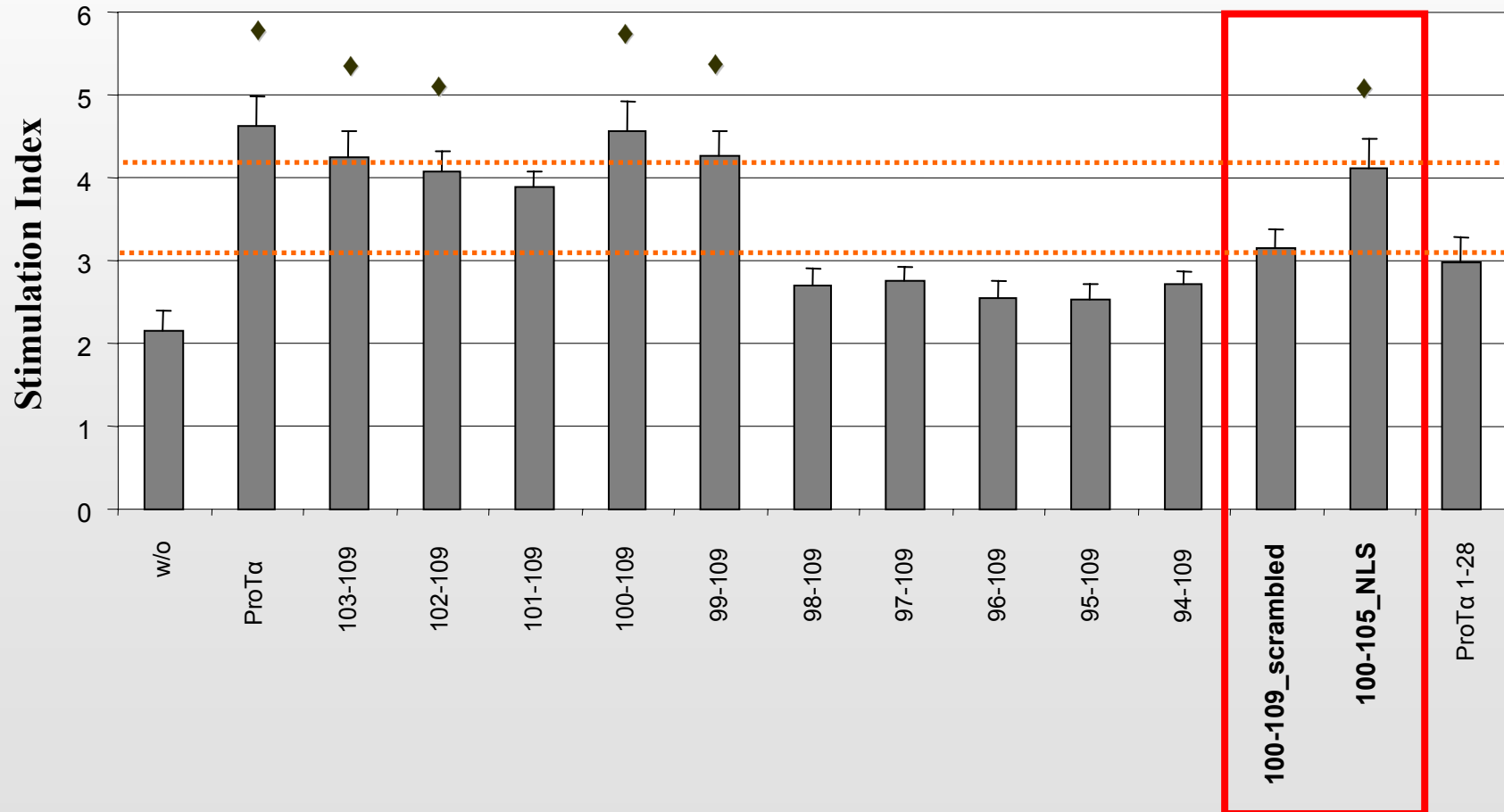
The peptide proT α (99/100-109) is equally active to intact proT α



| | |
|-----------------------------------|-------------------------------|
| proT α (100-109)_scrambled | K E T D K D K T D Q |
| proT α (100-105)_NLS | T K K Q K T |
| proT α (1-28)_T α 1 | SDAAVDT SSEITTKDLKEKKEVVEEAEN |

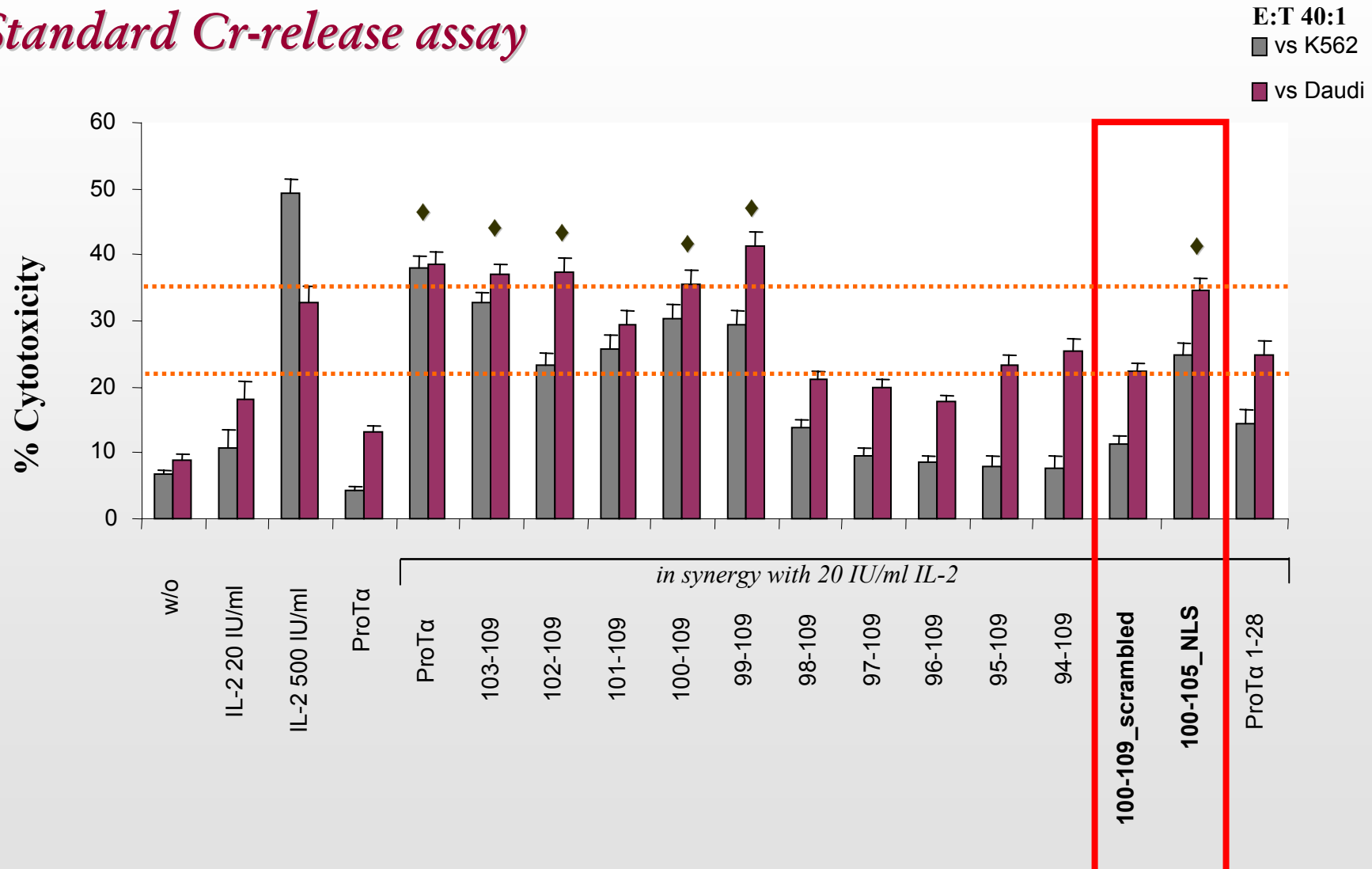
Sequence specificity of pro $\text{T}\alpha$ (100-109)

Proliferation assay



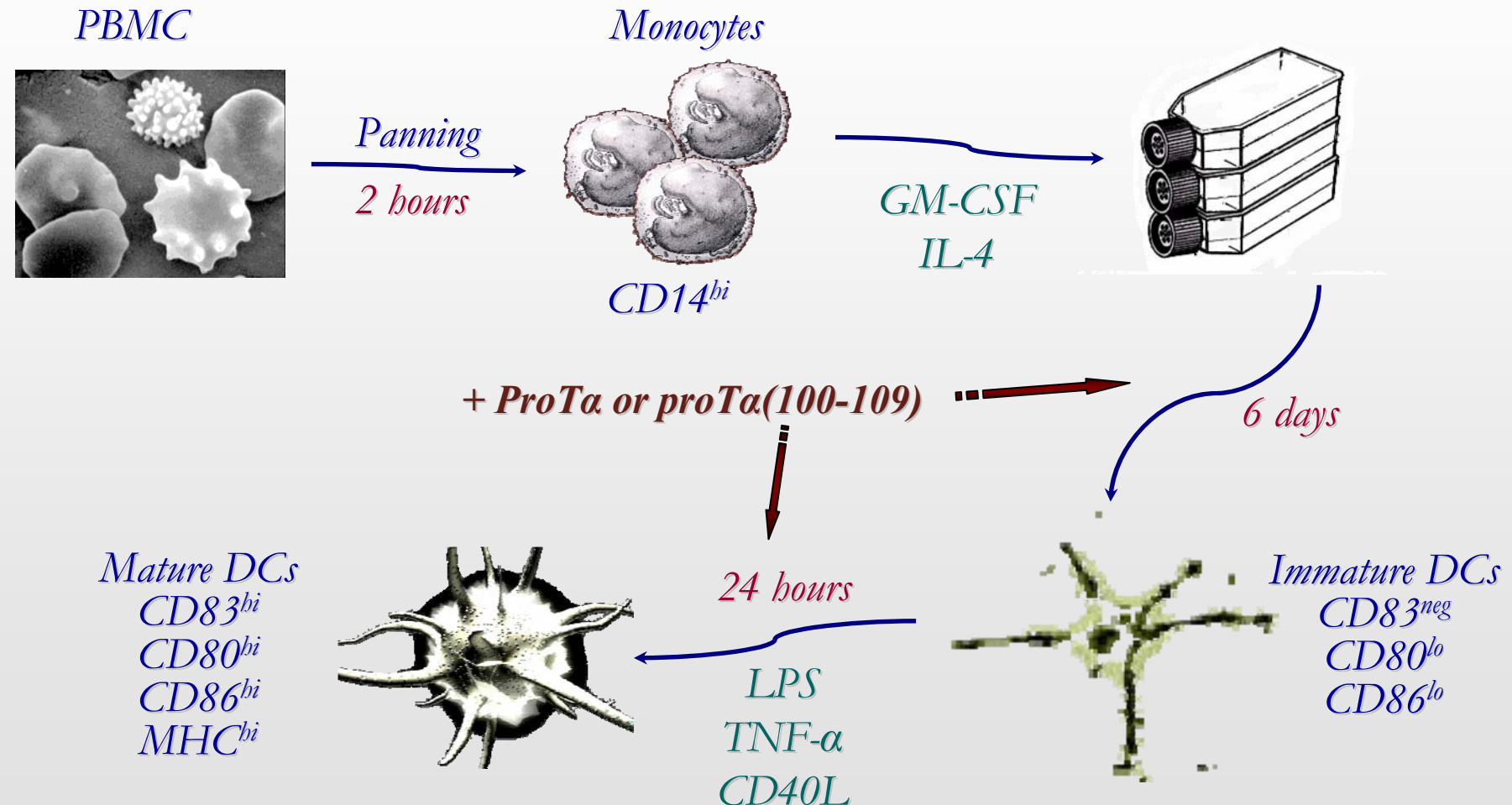
Sequence specificity of proT α (100-109)

Standard Cr-release assay

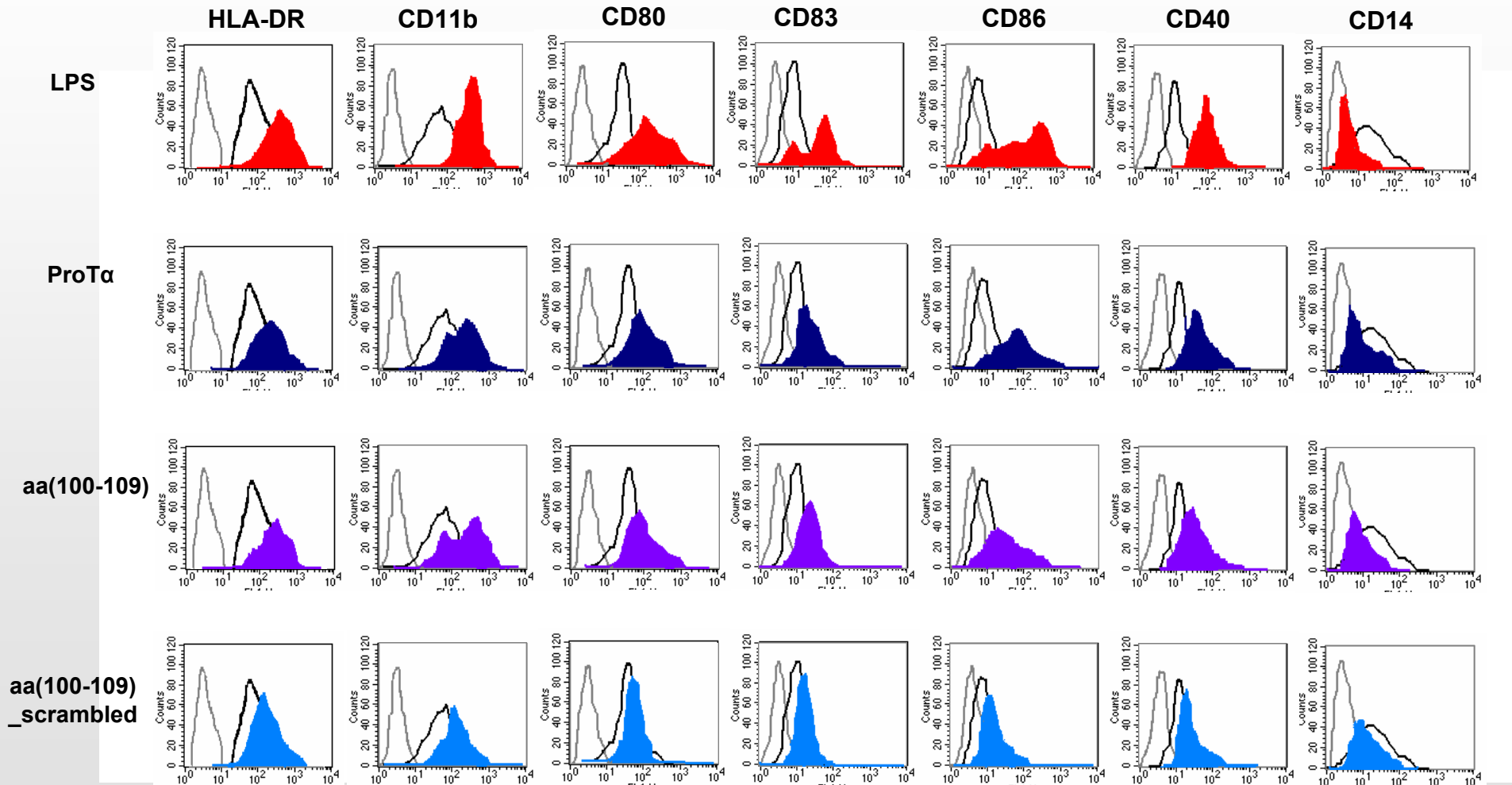


Skopeliti et al., 2008

Does proTa and/or proTa(100-109) activate innate immunity cells?



ProTa and proTa(100-109) on DC maturation



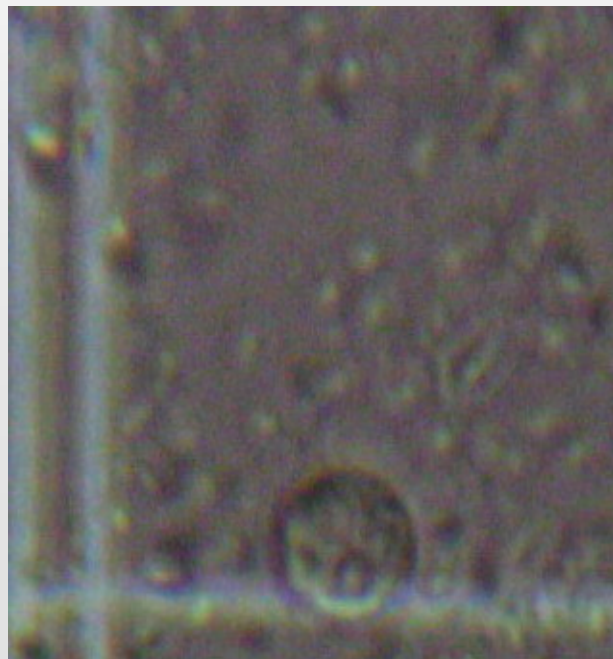
ProTa and proTa(100-109) on DC maturation

| | HLA-DR | CD80 | CD83 | CD86 | CD11b | CD40 | CD14 |
|--|---------------|-------------|-------------|-------------|--------------|-------------|-------------|
| isotype control | 3,2 | 2,1 | 2,8 | 3,8 | 2,5 | 4,1 | 2,7 |
| immature dendritic cells | 156,4 | 36,1 | 12,3 | 7,8 | 73,7 | 18,2 | 22,3 |
| LPS-matured dendritic cells | 533,2 | 225,6 | 67,7 | 115,6 | 556,5 | 103,4 | 4,8 |
| proTa-matured dendritic cells | 339,4 | 159,9 | 27,1 | 75,9 | 229,8 | 41,3 | 7,4 |
| proTa(100-109)-matured dendritic cells | 369,9 | 146,8 | 22,1 | 28,3 | 354,3 | 35,2 | 7,9 |
| proTa(100-109)_scrambled-matured dendritic cells | 215,1 | 85,7 | 16,3 | 14,1 | 115,8 | 23,5 | 10,3 |

ProTa (100-109) activates neutrophils

*Zymosan assay
(phagocytosis)*

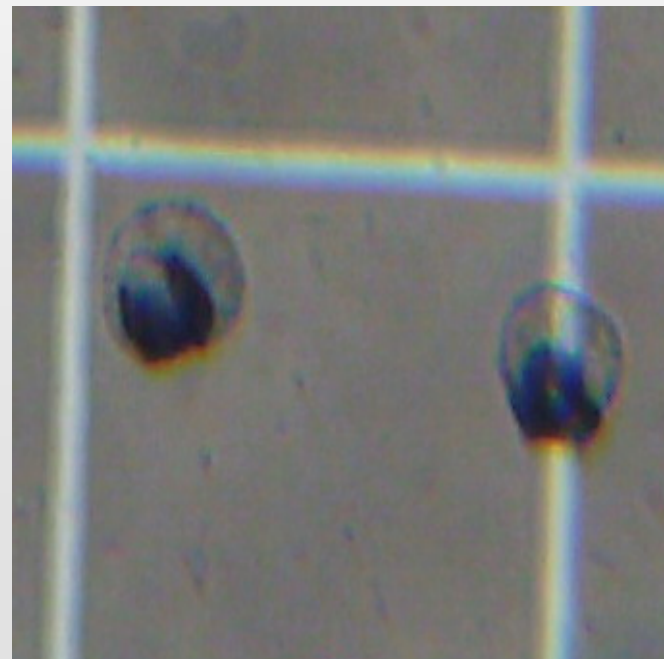
(90 min)



*Nitro Blue
Tetrazolium (NBT)
reduction assay
(intracellular ROS
production)*

(20 min)

•*Photonic microscope*



*Cytochrome C
assay
(extracellular
ROS release)*

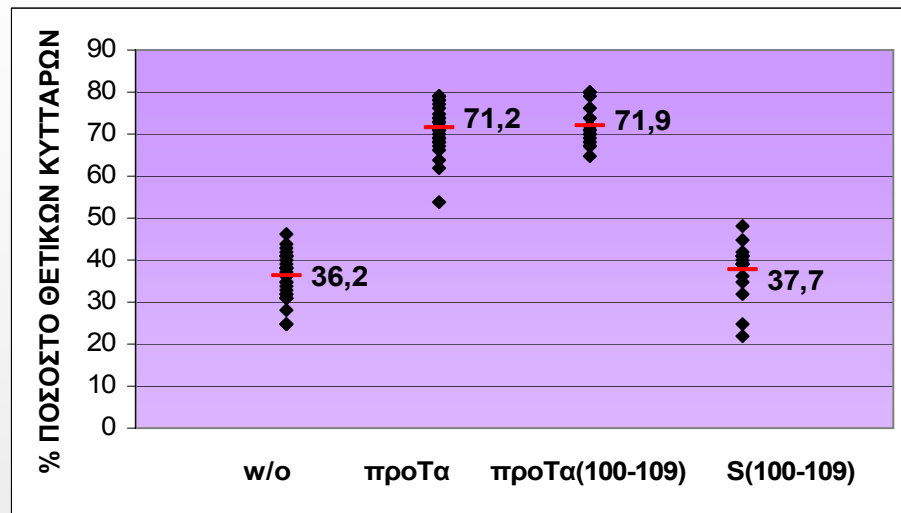
(20 min)

•*Photometer
(535 & 550 nm)*

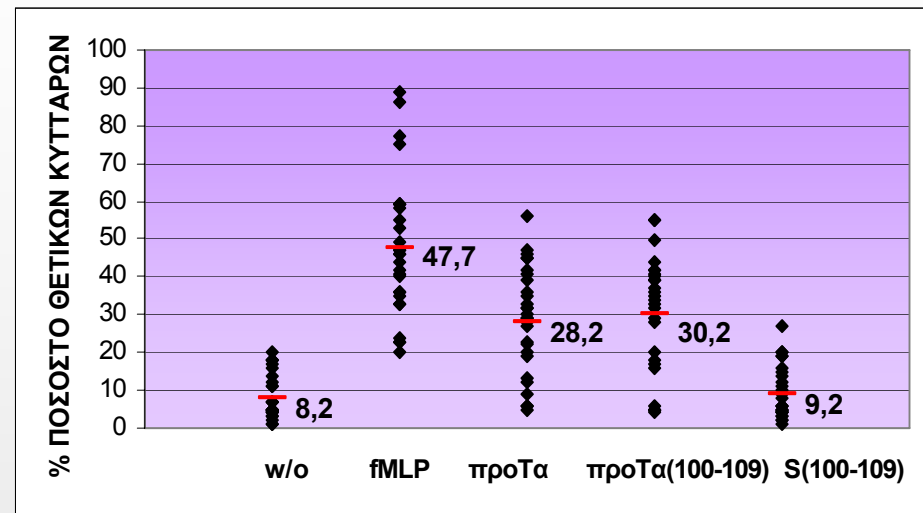


ProTa & proTa(100-109) ενεργοποιούν τα ουδετερόφιλα υγιών δοτών

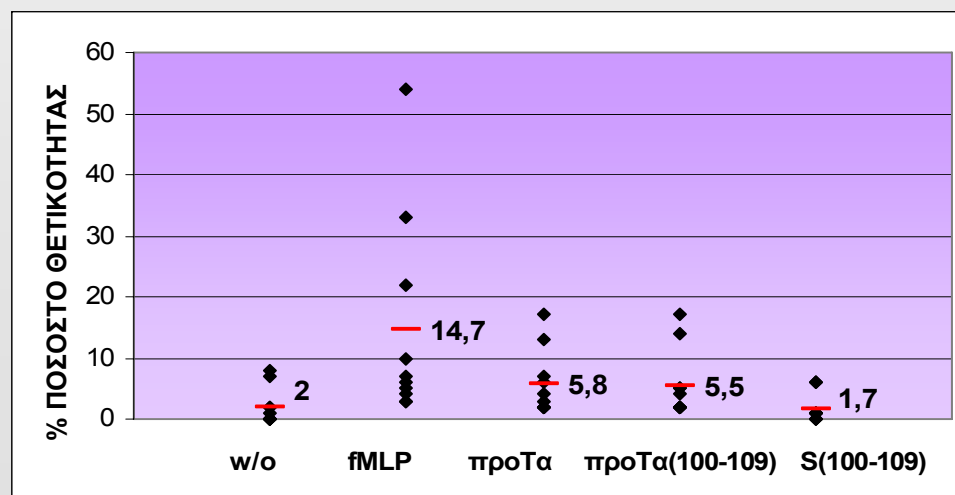
ΦΑΓΟΚΥΤΤΑΡΙΚΗ ΙΚΑΝΟΤΗΤΑ



ΕΝΔΟΚΥΤΤΑΡΙΚΗ ΠΑΡΑΓΩΓΗ O_2^-

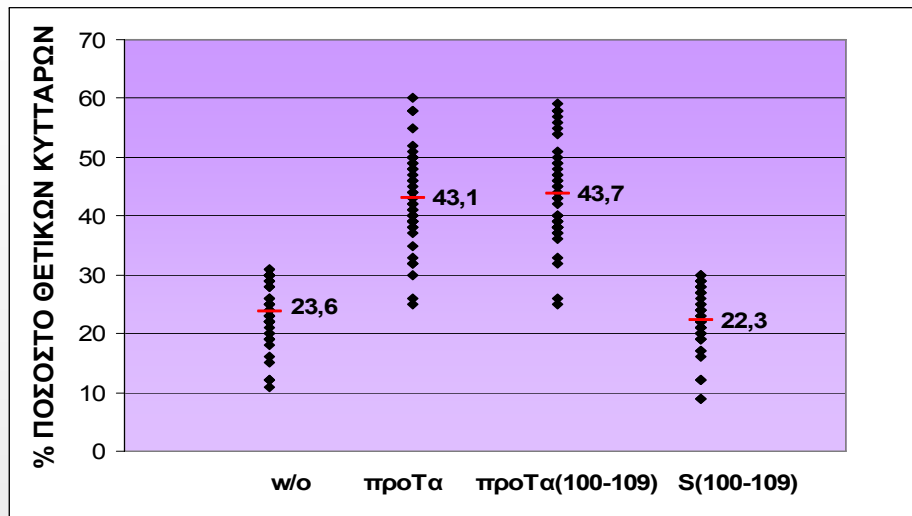


ΕΞΩΚΥΤΤΑΡΙΚΗ ΑΠΕΛΕΥΘΕΡΩΣΗ O_2^-

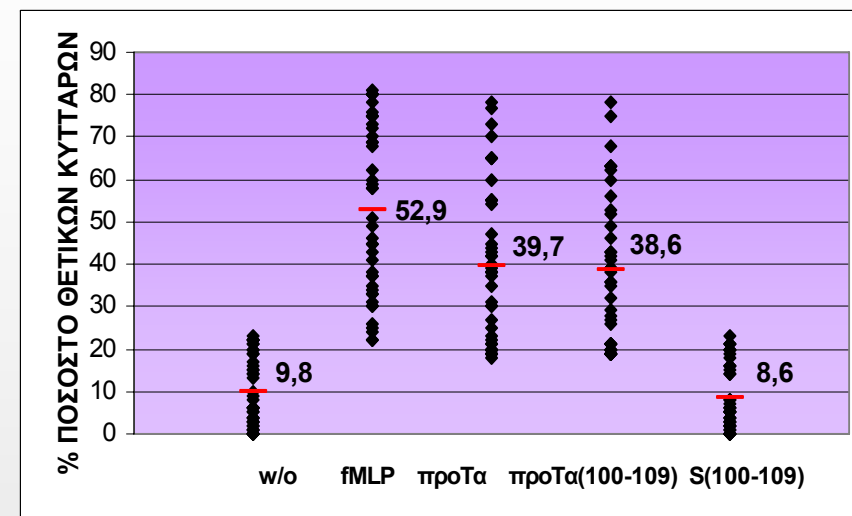


ProTa & proTa(100-109) ενεργοποιούν τα ουδετερόφιλα καρκινοπαθών

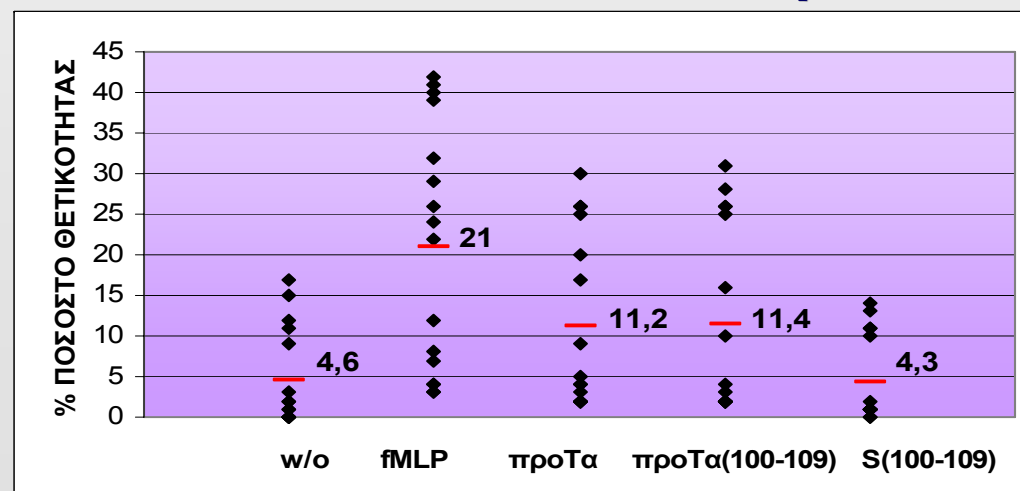
ΦΑΓΟΚΥΤΤΑΡΙΚΗ ΙΚΑΝΟΤΗΤΑ



ΕΝΔΟΚΥΤΤΑΡΙΚΗ ΠΑΡΑΓΩΓΗ O_2^-

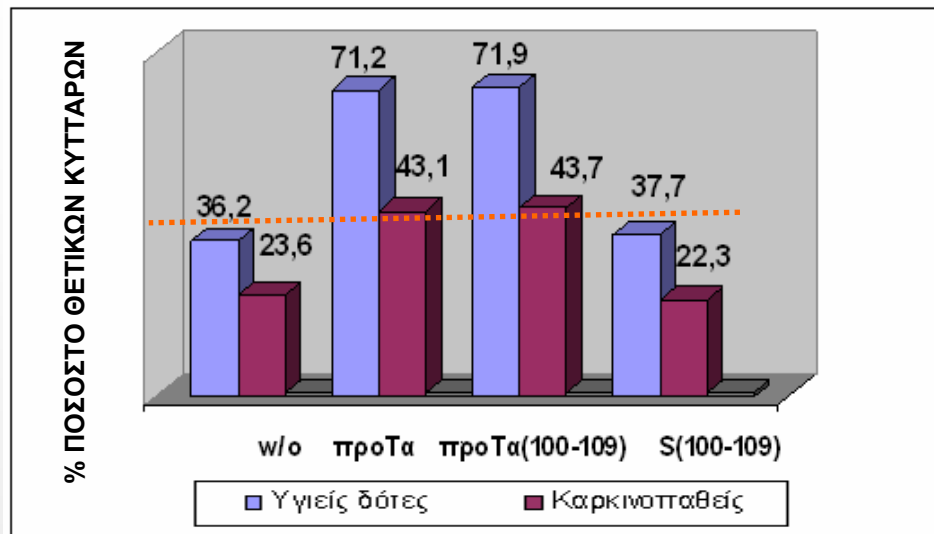


ΕΞΩΚΥΤΤΑΡΙΚΗ ΑΠΕΛΕΥΘΕΡΩΣΗ O_2^-

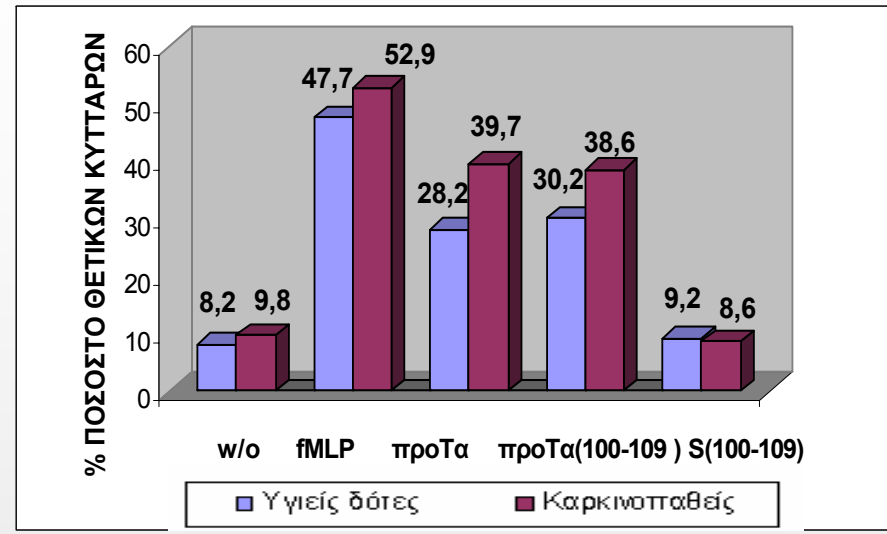


Συγκριτικά αποτελέσματα υγιών-καρκινοπαθών

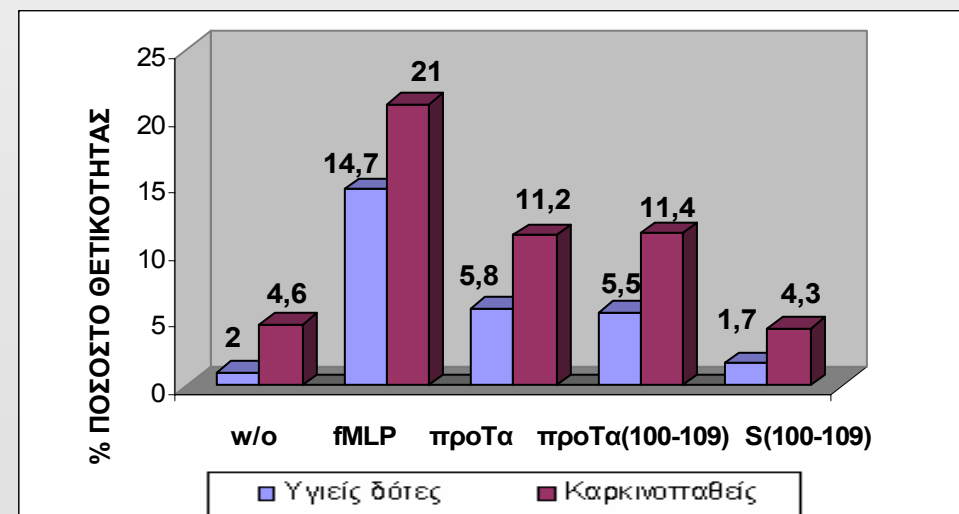
ΦΑΓΟΚΥΤΤΑΡΙΚΗ ΙΚΑΝΟΤΗΤΑ



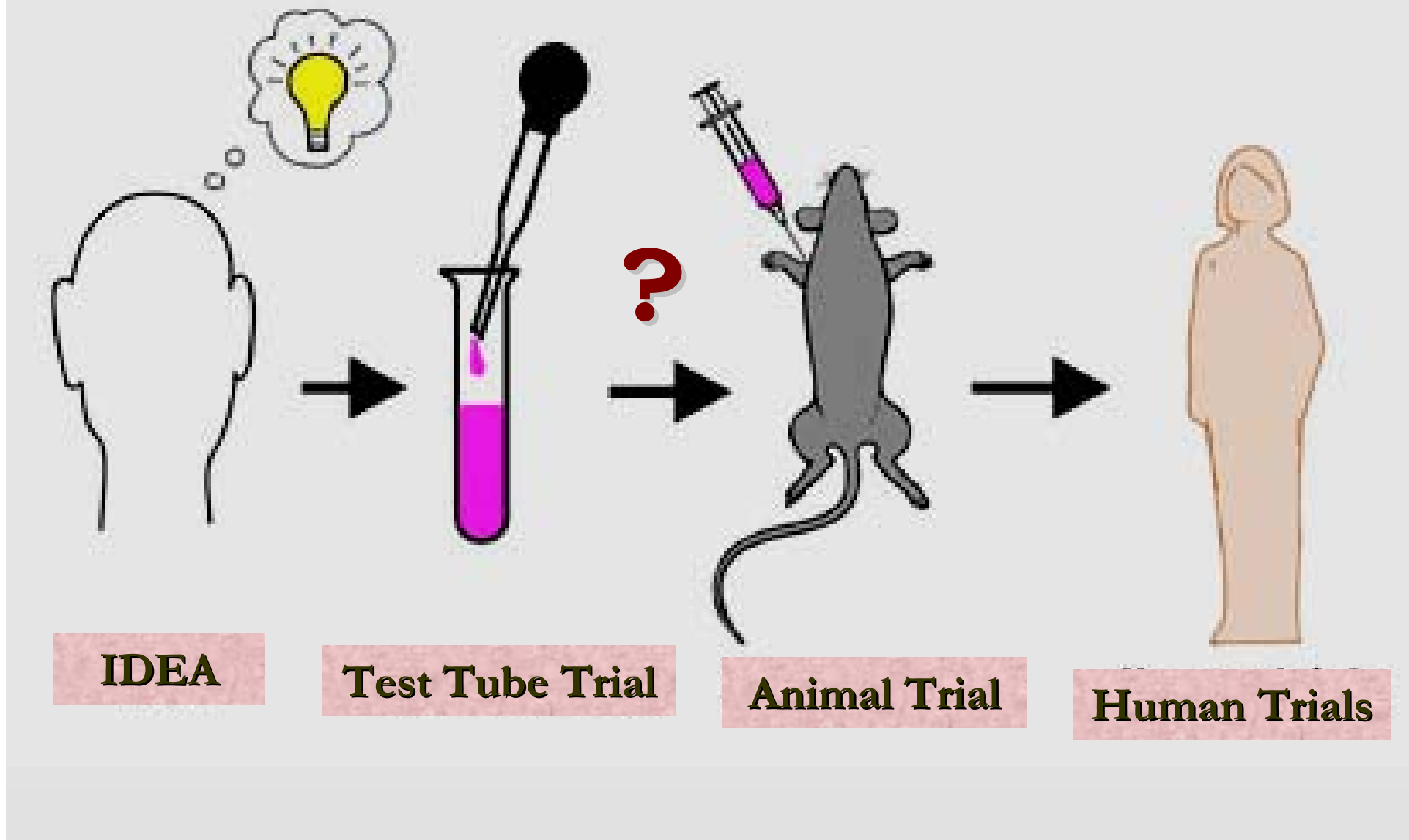
ΕΝΔΟΚΥΤΤΑΡΙΚΗ ΠΑΡΑΓΩΓΗ O_2 -

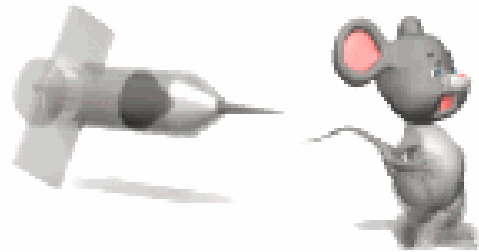


ΕΞΩΚΥΤΤΑΡΙΚΗ ΑΠΕΛΕΥΘΕΡΩΣΗ O_2 -



The design of cancer immunotherapeutic protocols



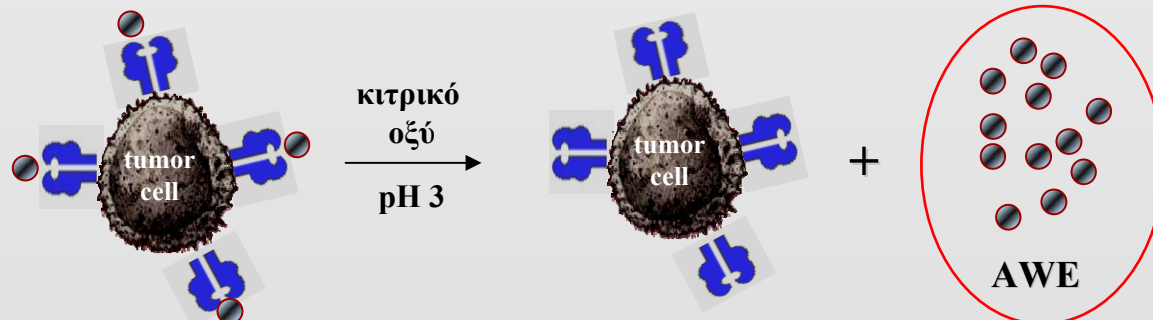


In vivo θεραπευτικό μοντέλο όγκου σε ποντίκια

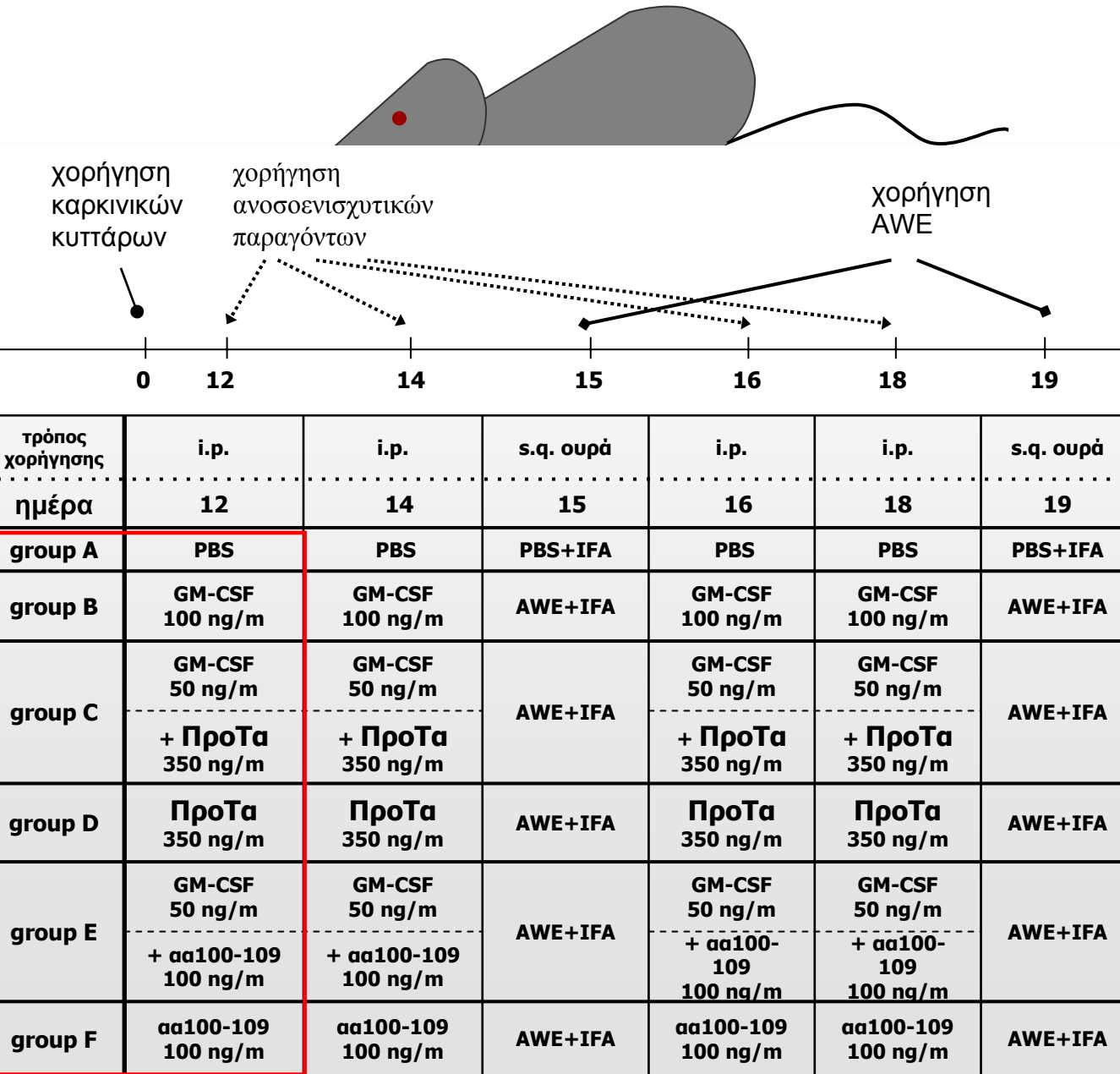
- ποντίκια C57BL/6 ♂, 7 εβδομάδων
- 5,000 κύτταρα της συγγενής σειράς B16 (κύτταρα μελανώματος)

➤ η ΠροΤα δρα στα μονοκύτταρα, αυξάνοντας την αντιγονοπαρουσίαση και ωριμάζοντας προς DCs, μπορεί η ΠροΤα και το ΠροΤα αα100-109 να κατευθύνει την έκπτυξη ογκο-ειδικών T-κυτταρικών κλώνων άρα και την αναστολή ανάπτυξης του ογκου?

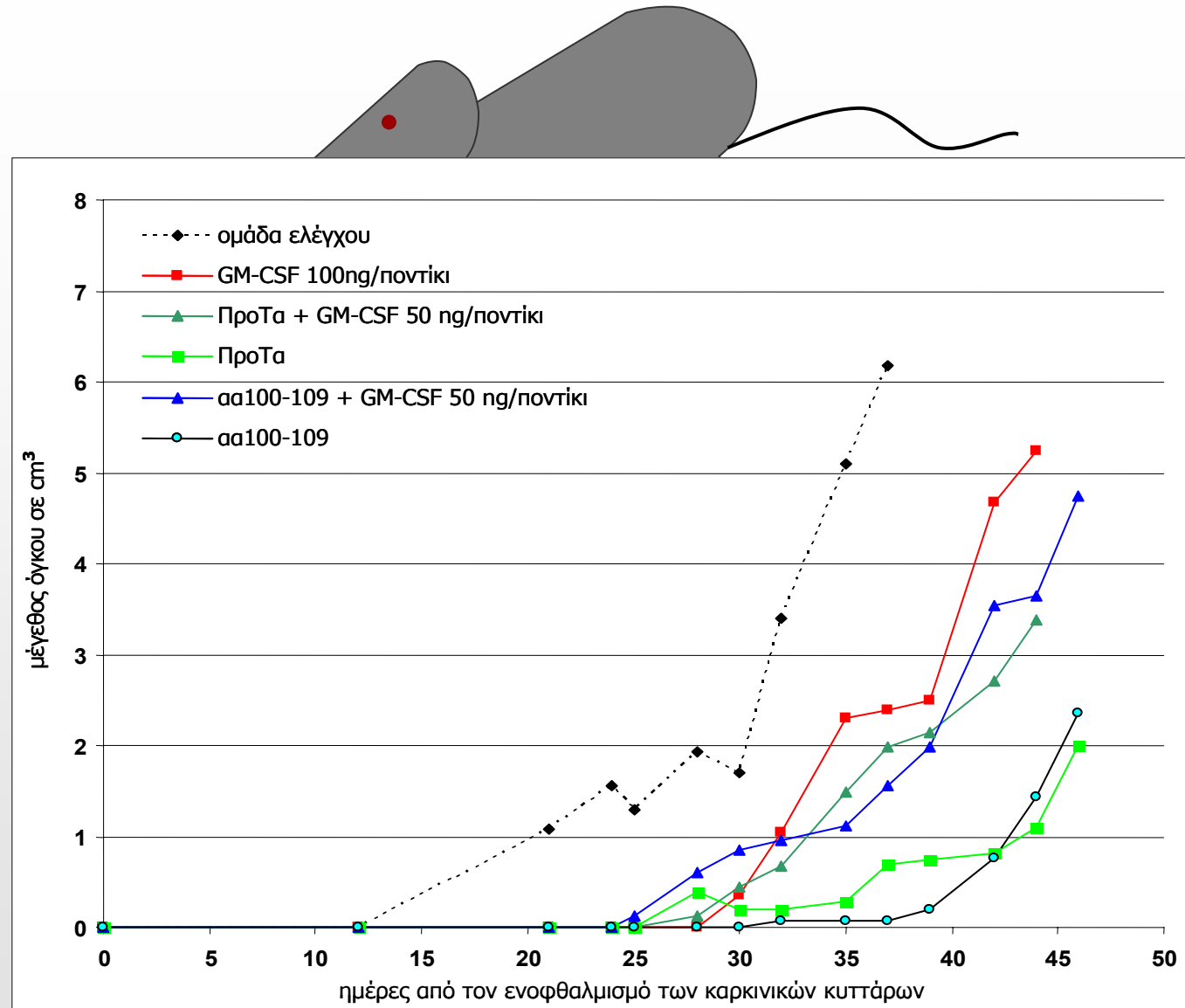
- αντιγονοπαρουσιαστικό είδος καρκίνου
 - ✓ μελανωματικά κύτταρα για την ανάπτυξη συμπαγών ογκων
- διάλυμα ογκο-ειδικών πεπτιδίων
 - ✓ πεπτιδικό παρασκεύασμα AWE (Acid Wash Extract)



in vivo
θεραπευτικό
μοντέλο
καρκίνου

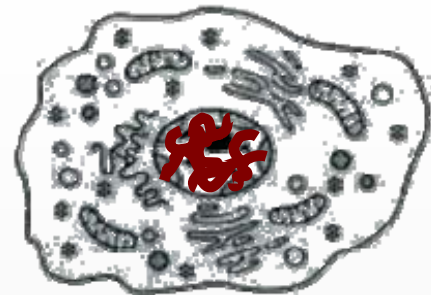


in vivo
θεραπευτικό
μοντέλο
καρκίνου

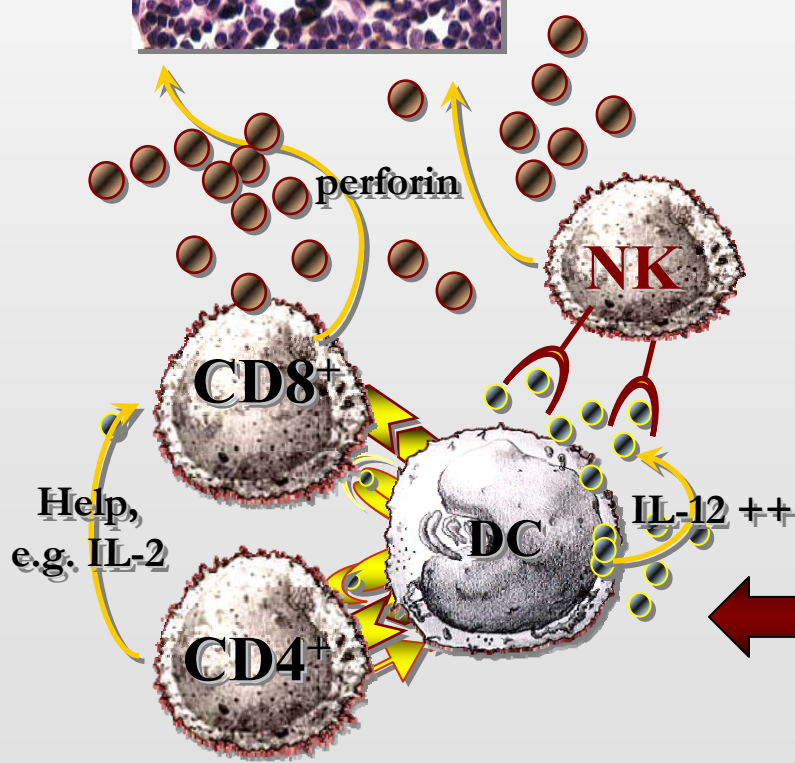
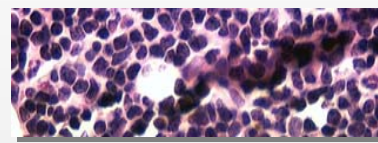
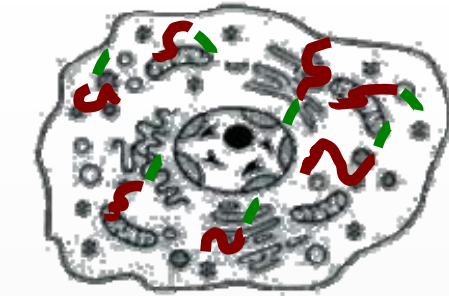
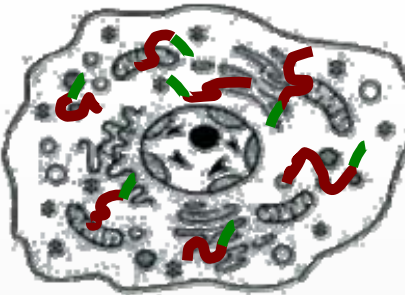


Μέγεθος όγκου (cm^3) = $(\alpha \times \beta^2) / 2$, όπου α =μεγάλη, β =μικρή διάμετρος του όγκου

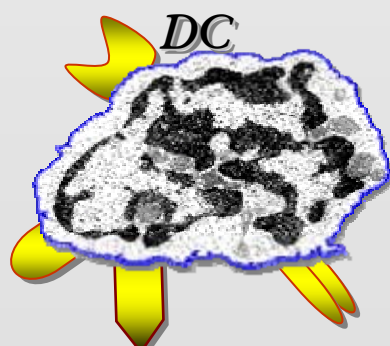
Normal cell



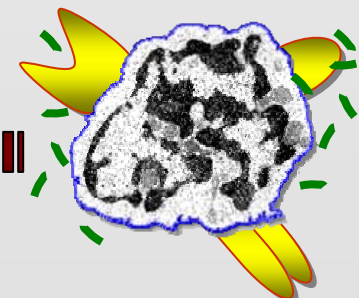
Apoptotic cell



Activated mature DC

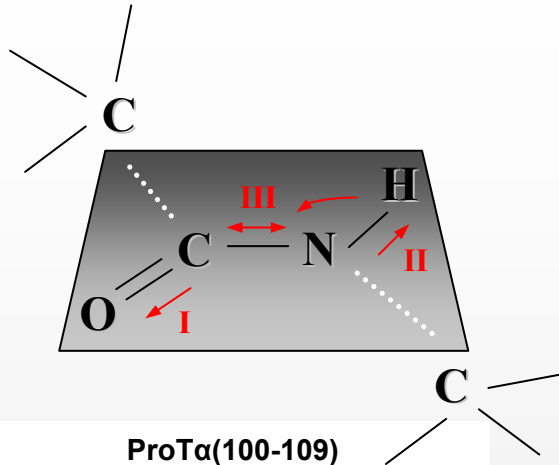


Immature DC

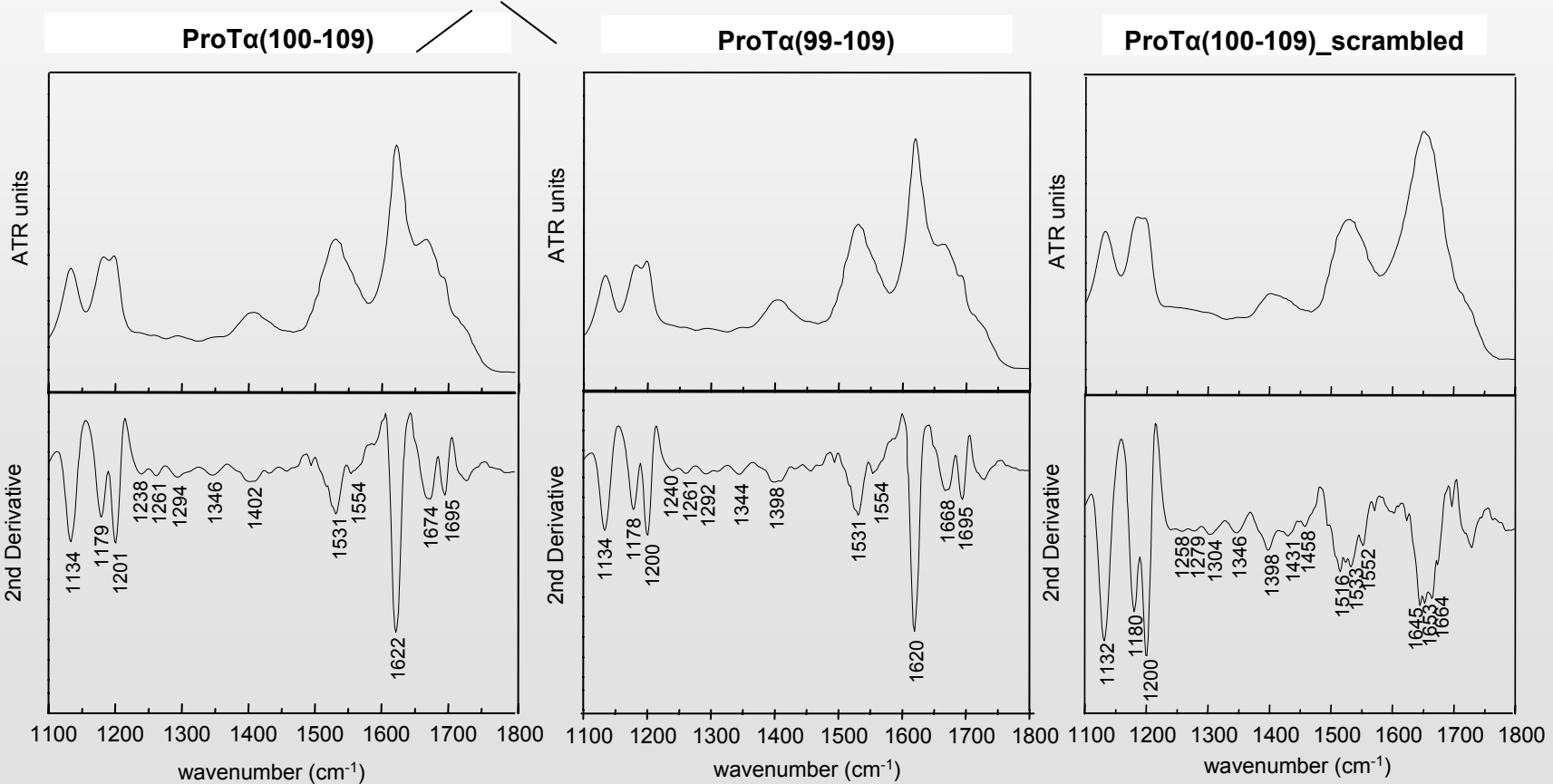


?

ATR FT-IR



Η φασματοσκοπία ταλάντωσης υπερερύθρου
βρίσκει εφαρμογή σε διαλύματα πρωτεΐνων
βασιζόμενη στην απορρόφηση ενέργειας από
χαρακτηριστικές ομάδες που προκύπτουν της
δημιουργίας πεπτιδικού δεσμού.



ATR FT-IR

Δευτερογείς δομές

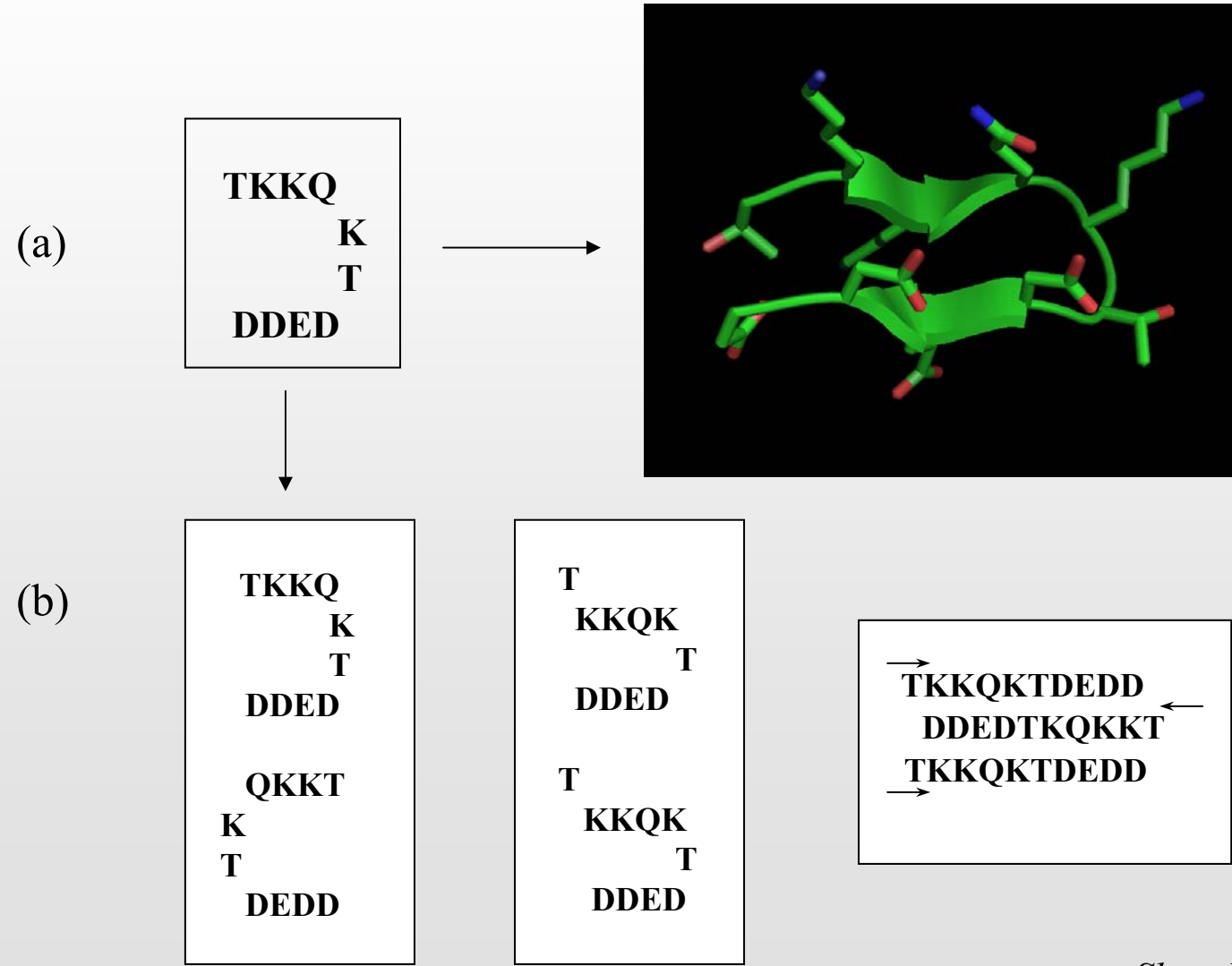
Καρβοξυτελικά πεπτίδια της ΠροΤα

| ταινία | α-έλικα | β -πτυχωτή επιφάνεια | β -στροφή | τυχαία / ακανόνιστη | ΠροΤα (100-109) | ΠροΤα (99-109) | ΠροΤα (100-109)_scrambled |
|--------------------|---|--|------------------------------|---|---|---|------------------------------|
| Αμιδική I | 1644-1649 ^a ή 1653-1660 ^b | 1691-1699^a or 1610-1640^{a,b} | 1662-1695^d | 1650-1654 ^a ή 1640-1650 ^b | 1695 1674 1622 | 1695 1668 1620 | 1664 1653 1645 |
| Αμιδική II | 1548-1553 ^a ή 1519-1521 ^a | 1563 ^a ή 1530-1535^a | | 1546-1553 ^a | 1554 1531 | 1554 1531 | 1552 1533 1516 |
| Αμιδική III | 1280-1317 ^c | | 1230-1245^c | 1245-1270 ^c | 1346 1294 1261 1238 | 1344 1292 1261 1240 | 1346 1304 1279 1258 |

Το πεπτίδιο ΠροΤα(100-109) παρουσιάζει δομή αντιπαράλληλων β -πτυχωτών επιφανειών

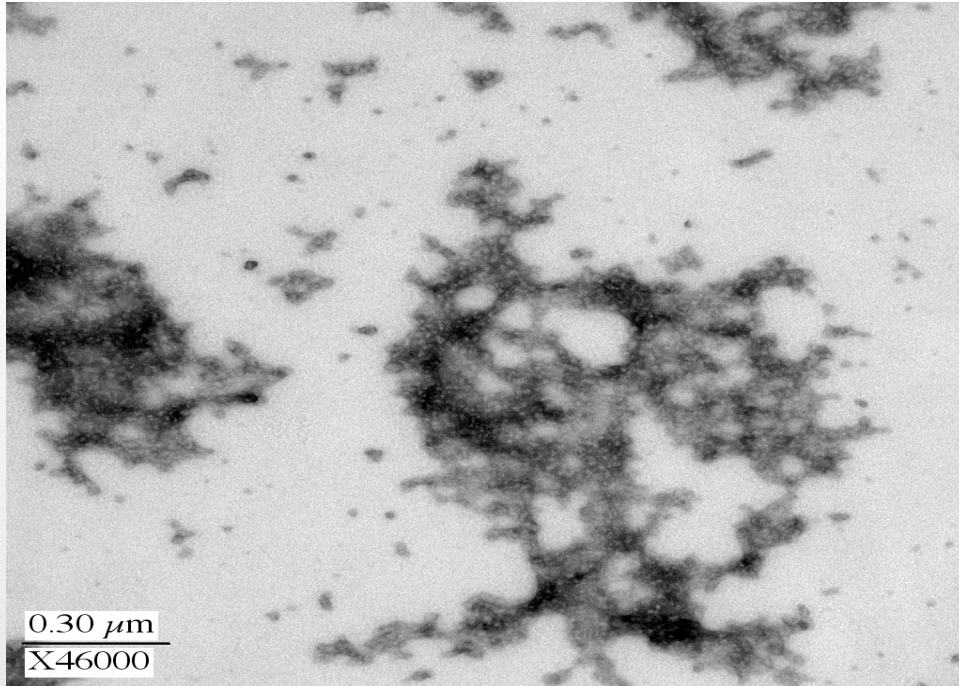
^aVenyaminov and Kalnin, 1990; ^bGriebenow et al., 1999; ^cSingh et al., 1990; ^dOrfanidou et al., 1995

Modeling and ribbon diagram of proTa(100-109)

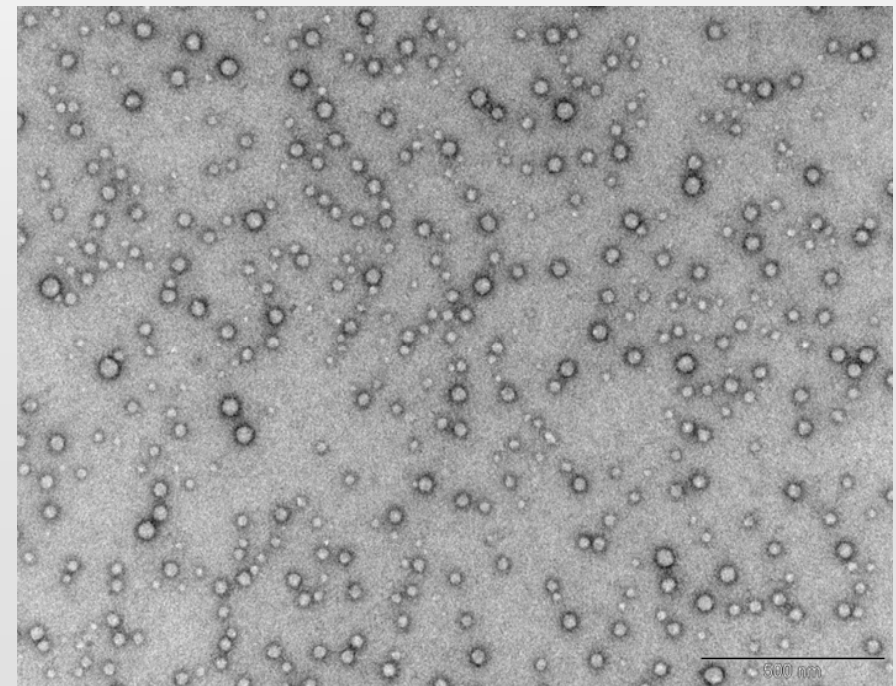


Skopeliti et al., 2008

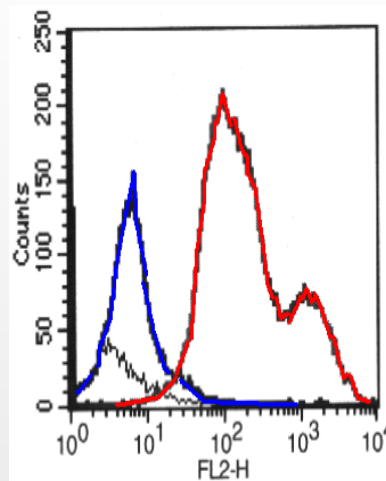
Transmission electron microscopy (negative stain)



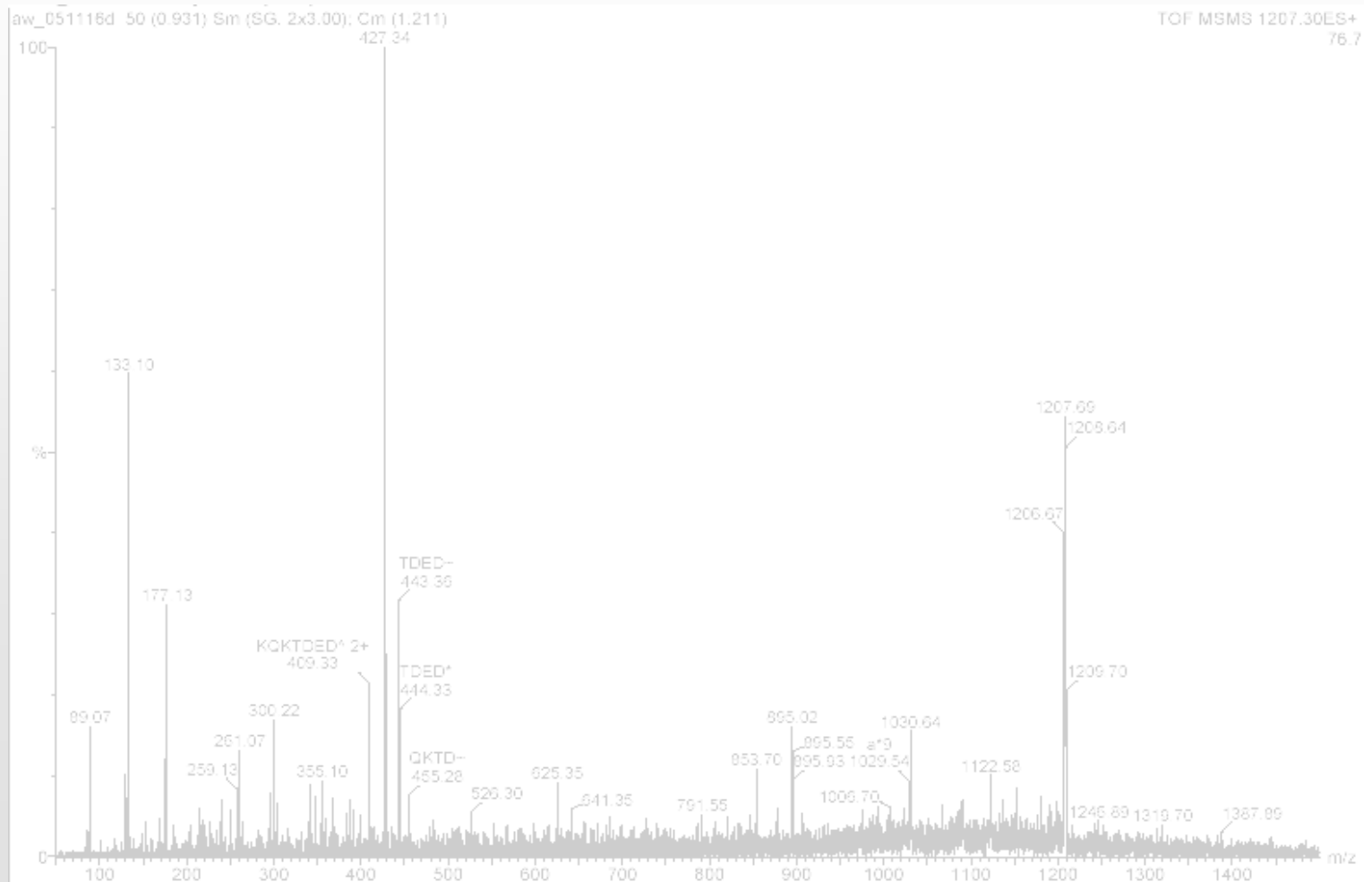
- 5 mg/ml
- pH 5.5
- 1% uranyl acetate



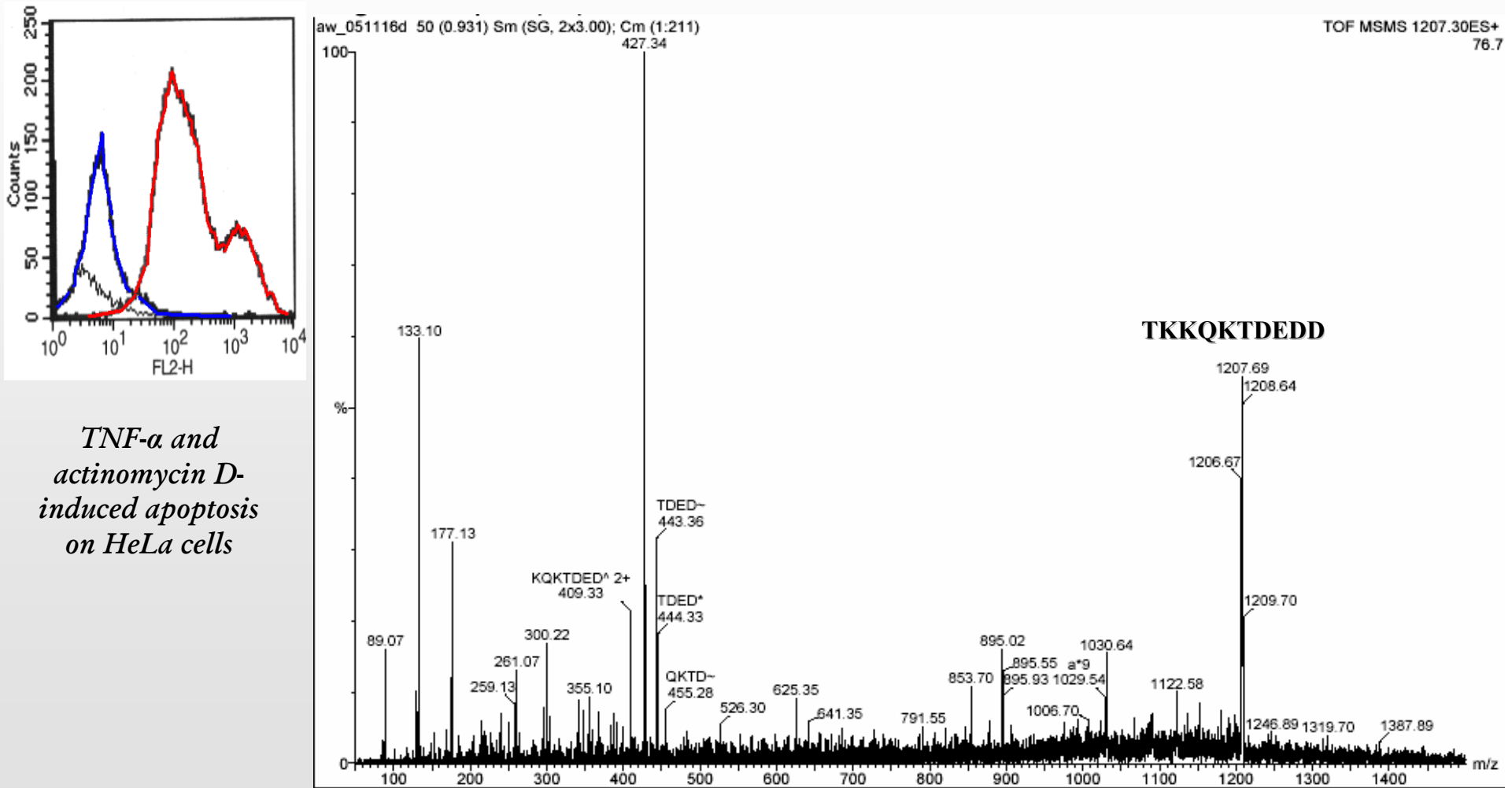
Extracellular localization of pro $\text{T}\alpha$ (100-109) during apoptosis



*TNF- α and
actinomycin D-
induced apoptosis
on HeLa cells*



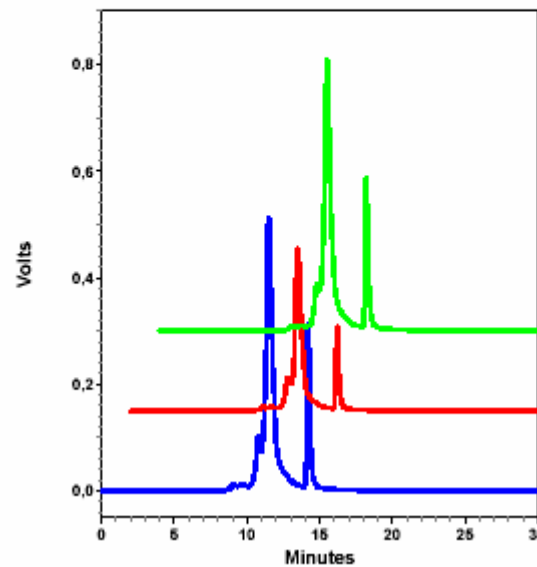
Extracellular localization of pro $\text{T}\alpha$ (100-109) during apoptosis



HPLC of apoptotic supernatants

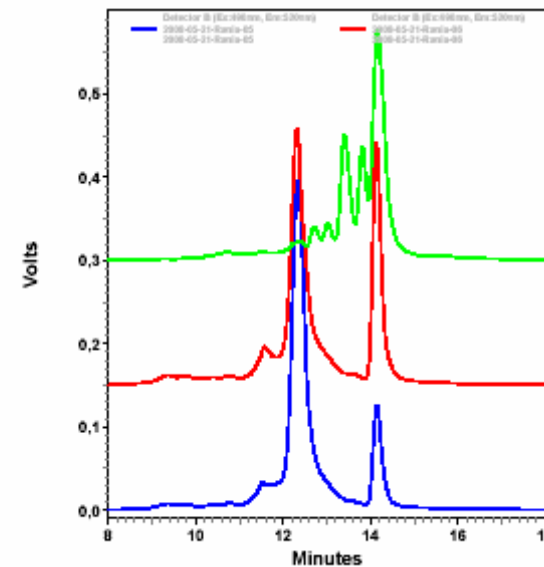
HPLC Run Report
Rania peptides #2 - #4

Sample ID: 2008-05-21-Rania-01
Run time: 21.05.2008 13:32:15
File name: C:\CLASS-VP\DATA\Kalbacher\Andreas Dittmar\2008-05-21-Rania-01
Vial number: 0
Injection volume: 20 µl
column: C 18; 125 X 2 mm; 5 µm; Wicomb; 0.35 ml/min
Sample: Rania peptides #2-#4



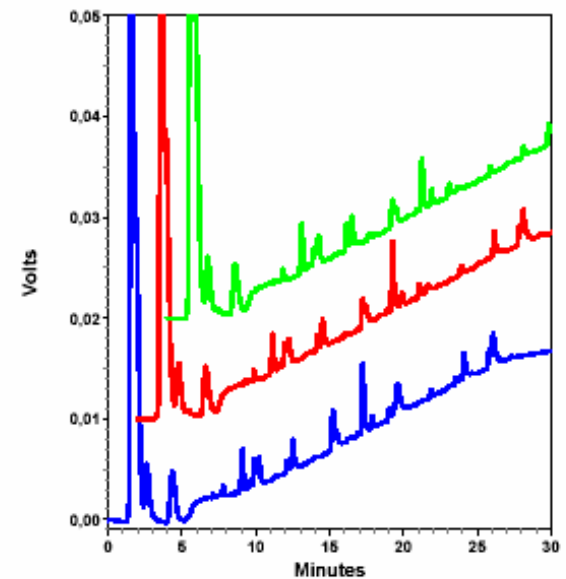
HPLC Run Report
Rania peptides #5 - #7

Sample ID: 2008-05-21-Rania-05
Run time: 21.05.2008 17:52:45
File name: C:\CLASS-VP\DATA\Kalbacher\Andreas Dittmar\2008-05-21-Rania-05
Vial number: 4
Injection volume: 5 µl
column: C 18; 125 X 2 mm; 5 µm; Wicomb; 0.35 ml/min
Sample: Rania peptides #5 - #7, Fluorescence Ex:492nm, Em: 520nm



HPLC Run Report
Rania peptides #8 - #10 (UV 214nm)

Sample ID: 2008-05-21-Rania-08
Run time: 21.05.2008 20:28:16
File name: C:\CLASS-VP\DATA\Kalbacher\Andreas Dittmar\2008-05-21-Rania-08
Vial number: 7
Injection volume: 5 µl
column: C 18; 125 X 2 mm; 5 µm; Wicomb; 0.35 ml/min
Sample: Rania peptides #8 - #10 , UV 214nm

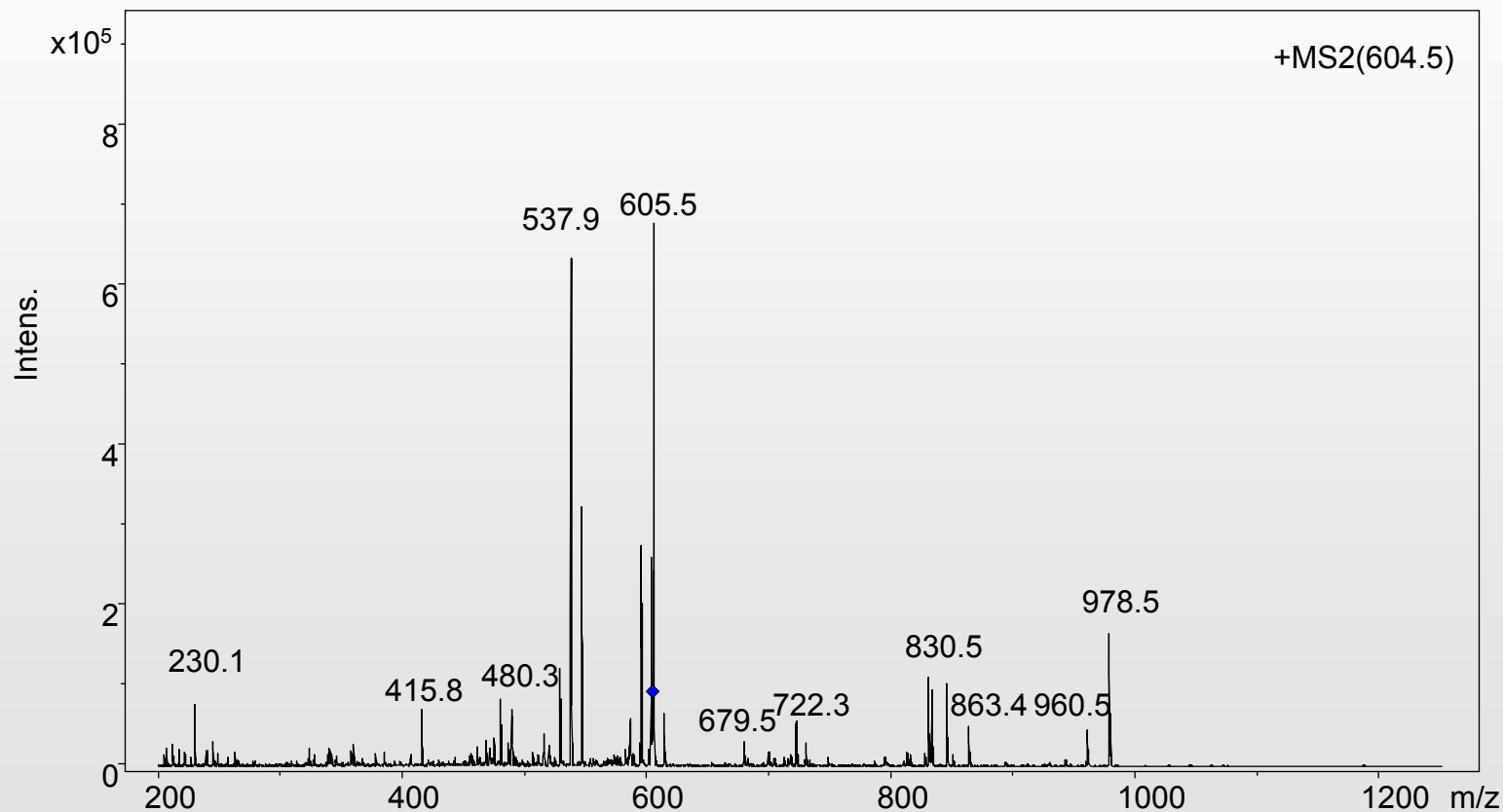


Significant fragmentation of proTα(100-109)

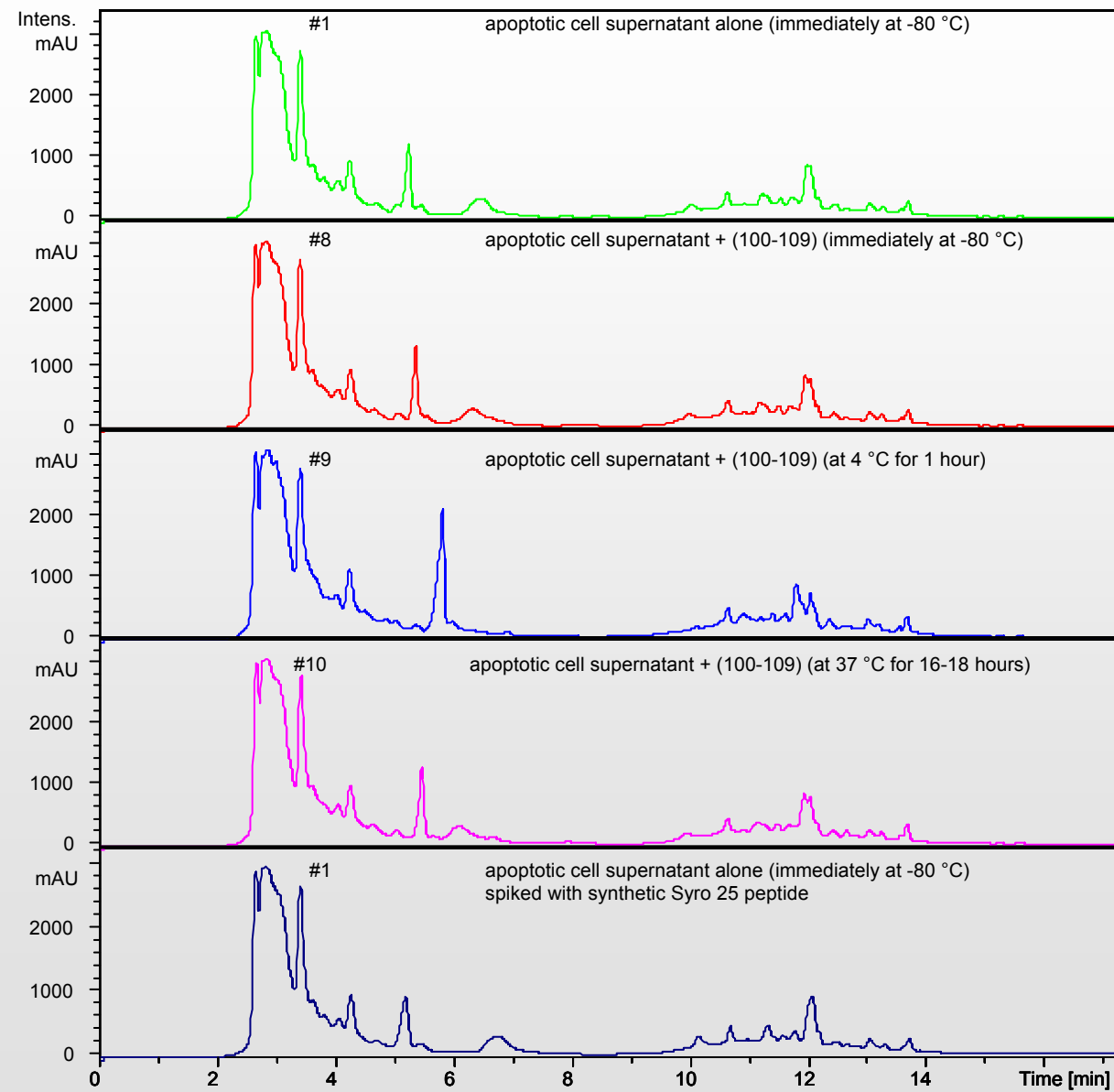
C-terminally labeled with FITC

MS/HPLC of apoptotic supernatants

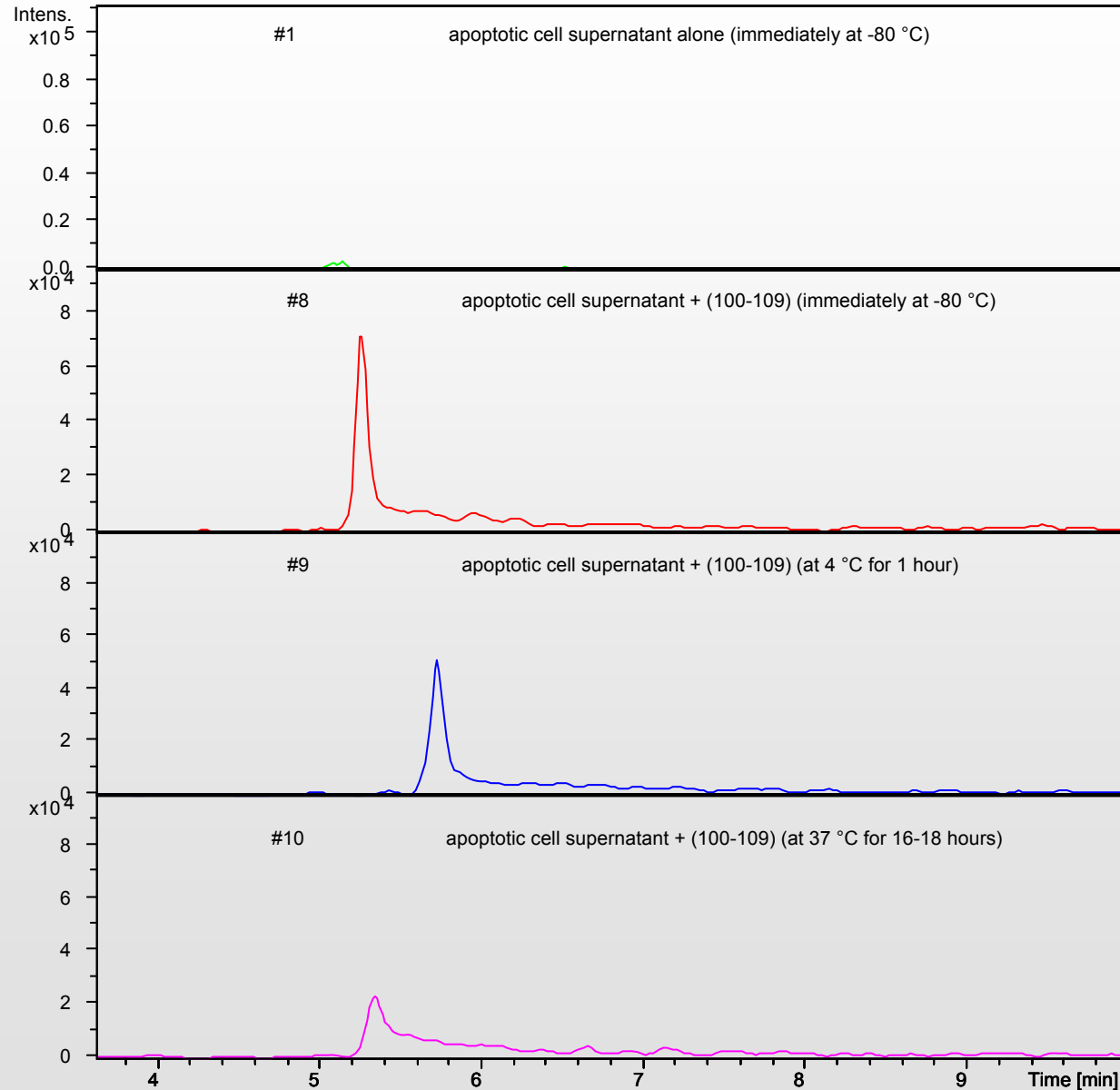
Syringe pump infusion Syro 25 (10 µg/ml) in 0.024% TFA, 40% ACN in water (v/v) at 4 µl/min flowrate
Positive ESI-MS/MS (m/z 604.5; $[M+2H]^{2+}$)
Quantifier: b_9^{2+} fragment ion at m/z 537.9

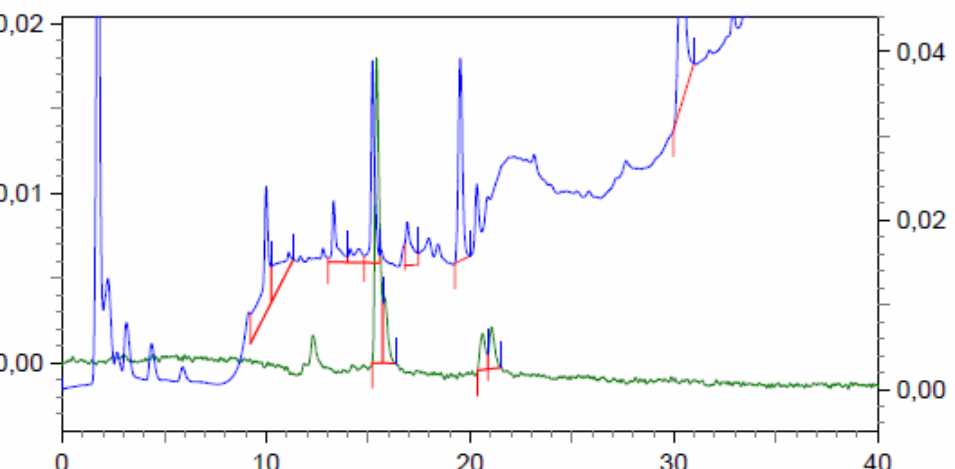
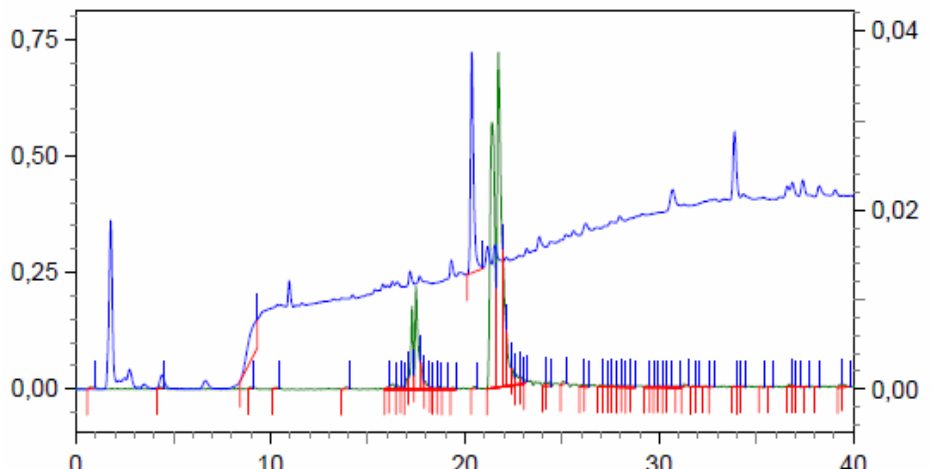
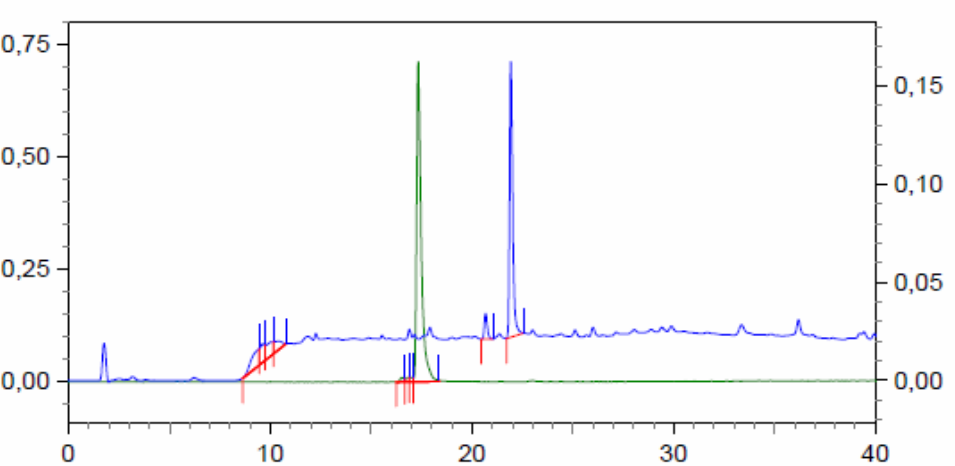
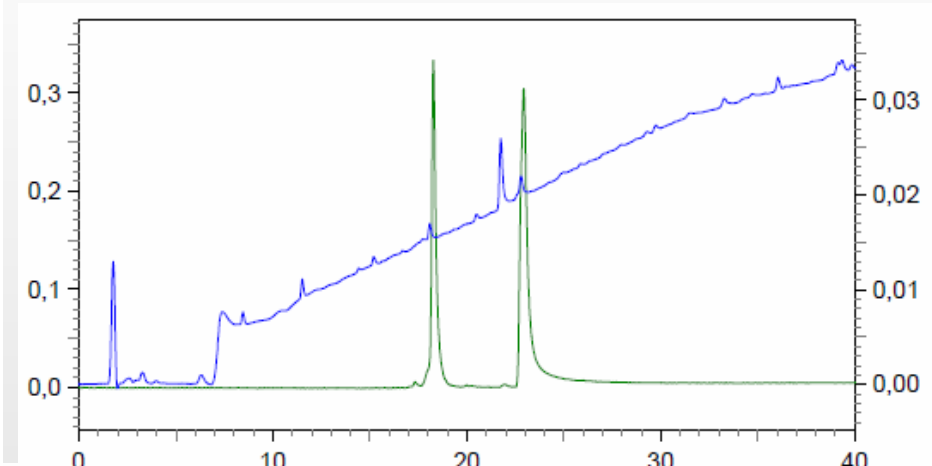
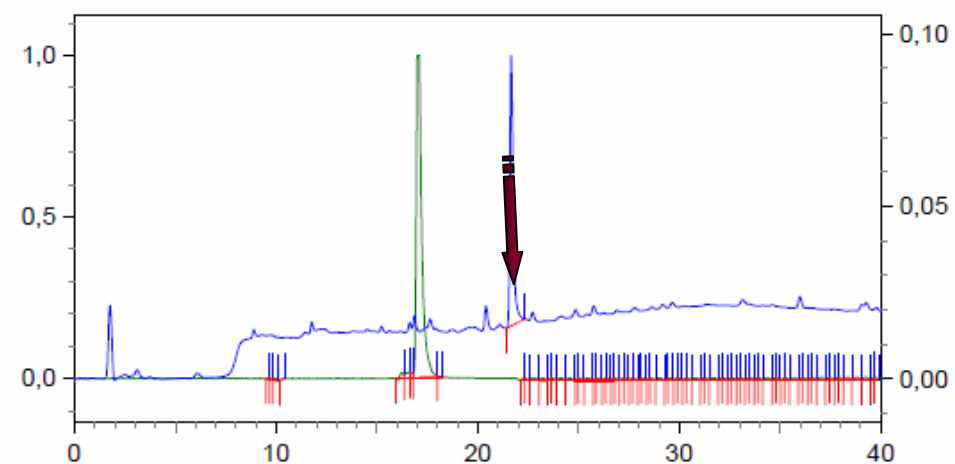
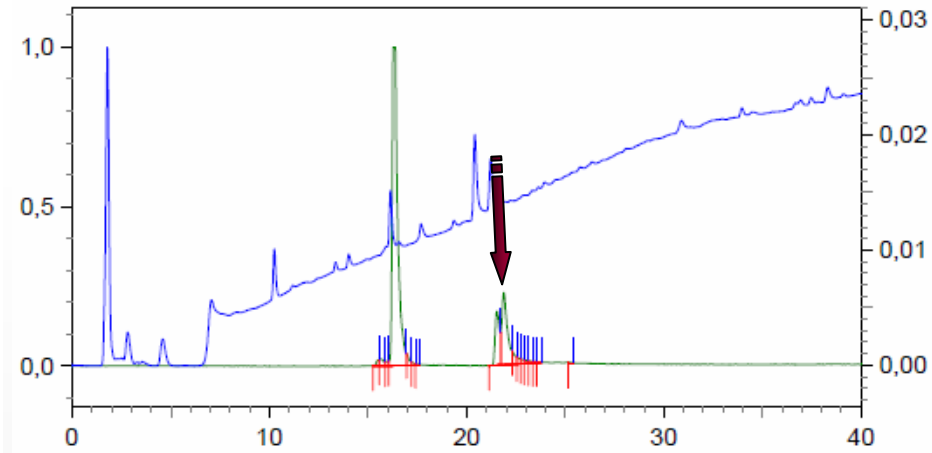


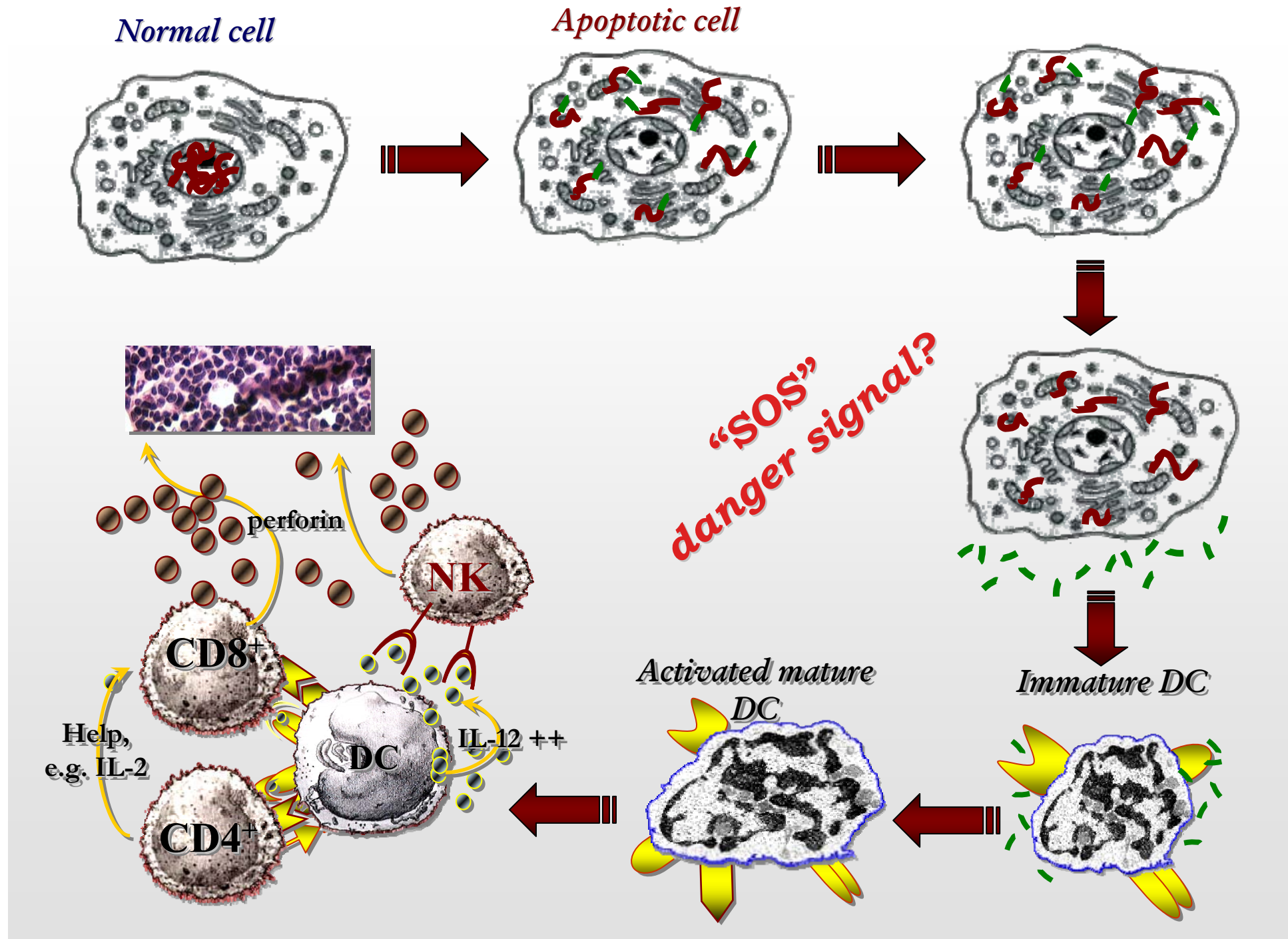
UV chromatograms of apoptotic supernatants (214 nm absorption)



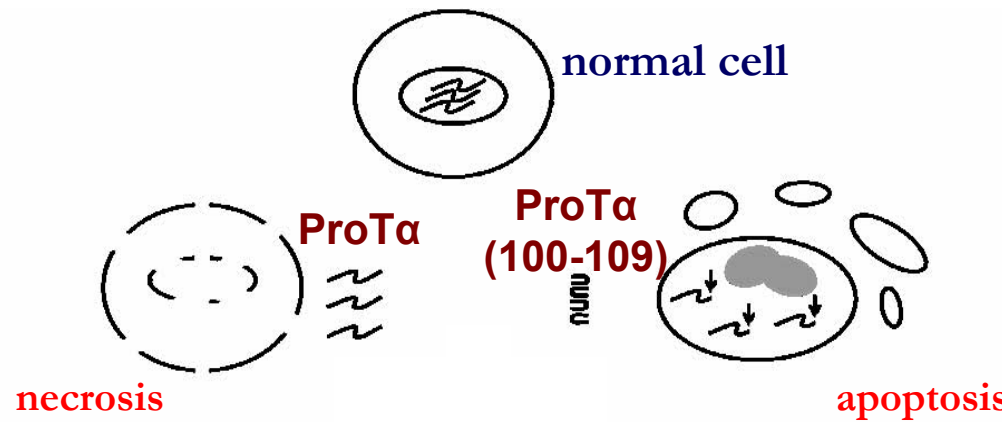
EIC (extracted ion chromatograms) + MS2 of apoptotic supernatants



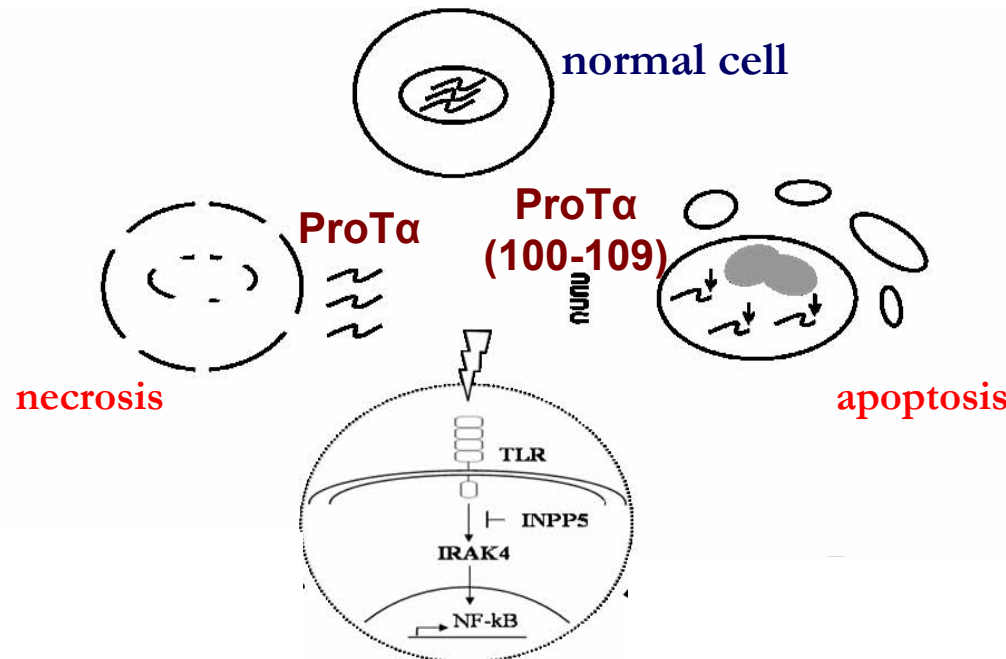




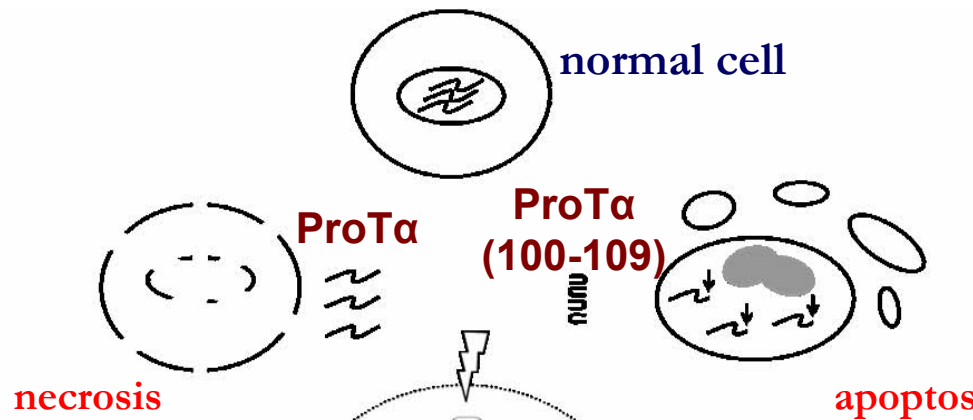
Intracellular role



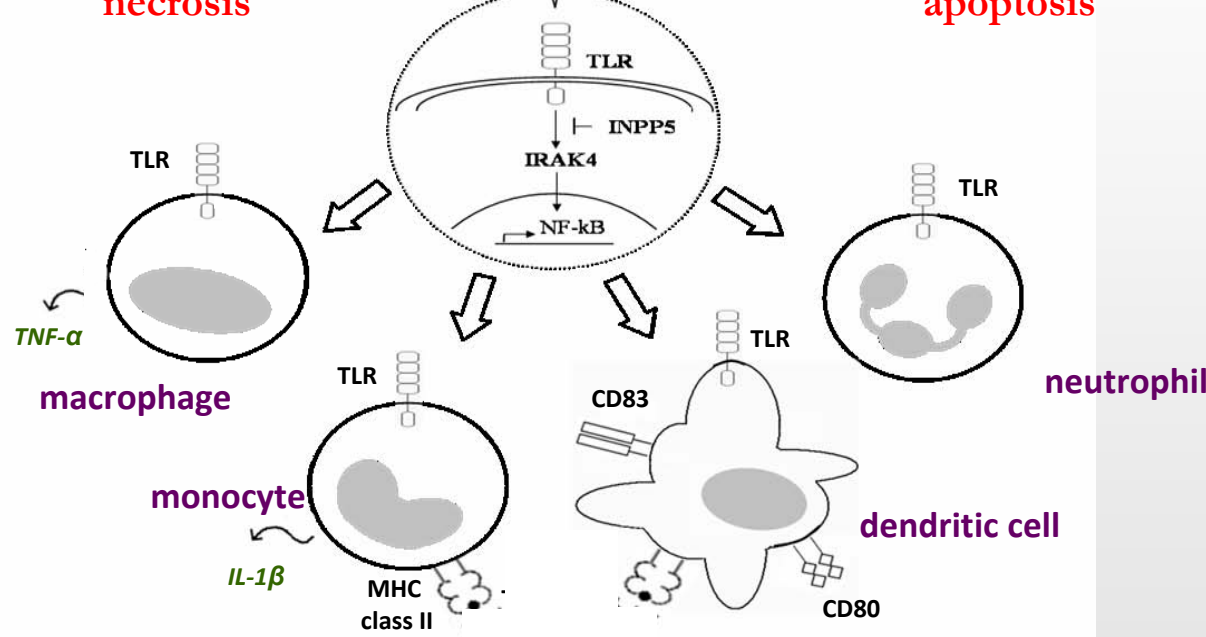
Intracellular role



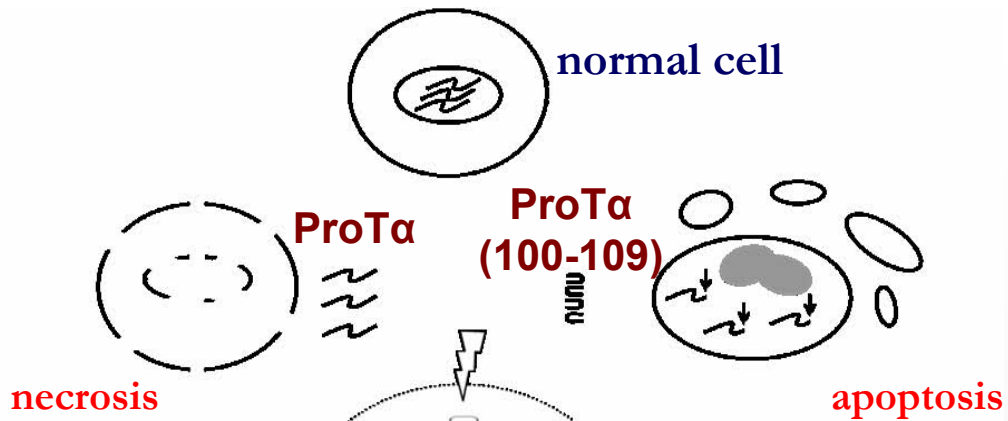
Intracellular role



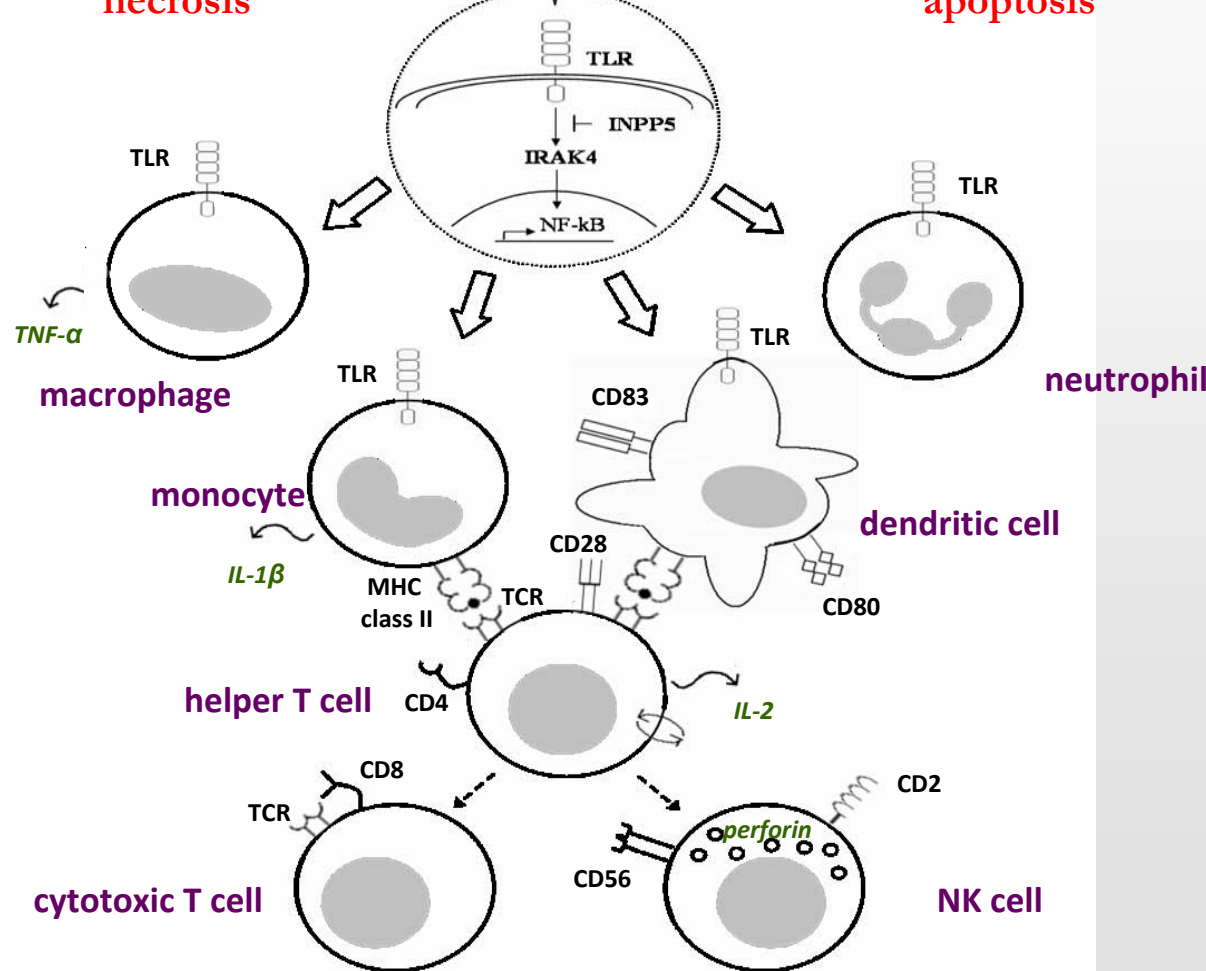
Immunological role



Intracellular role



Immunological role



Acknowledgements

Immunology Laboratory

- Dr. M. Skopeliti
- K. Ioannou
- P. Samara
- T. Katsila, MSc.
- H. Karahaliou
- E. Mavrothalassiti
- Z. Rizopoulou
- Prof. S. Hamodrakas
- Dr. V. Iconomidou
- Prof. C. Vorgias

Institute RRP «Demokritos»

- Dr. E. Livaniou
- Dr. P. Klimentzou

«St. Savas» Cancer Hospital

- Dr. J. Voutsas
- Dr. A. Ardavanis
- Dr. E. Papadaki

University of Tuebingen

- Prof. Dr. Dr. h. c. W. Voelter
- Prof. S. Stevanovic
- Prof. H-G. Rammensee
- Prof. G. Pawelec
- Ass. Prof. H. Kalbacher
- Dr. T. Flad (PANATecs)
- Dr. A. Beck (PANATecs)

«V.Babes» & «Cantacuzino» Institutes

- Dr. M. Neagu
- Prof. D. Radu

«Alexandras» General Hospital

- Prof. A. M. Dimopoulos
- Ass. Prof. A. Bamias
- Dr. M. Tsiatas

«Laikon» General Hospital

- Dr. M. Karafoulidou
- H. Gouloumis

Financial support

- ❖ IKY & DAAD (IKYDA Contracts No 61 & 131)
- ❖ GSRT (Bilateral cooperations 7285/02, 1488/06)
- ❖ SfP #982838 (2007-2010)
- ❖ Interdisciplinary Center for Greek Studies (2008-2010)
- ❖ Ministry of Education (2008-2010)
- ❖ Hellenic Foundation for European and American Studies (2009-2010)
- ❖ Stavros Niarchos Foundation, Athens
- ❖ University of Athens (Kapodistrias 2003, 2006, 2009)